



**E.M.C SA**

**ENERGY AND MINING CORPORATION SA**

***RAPPORT***

***DE***

***GESTION***

***2015***

# SOMMAIRE

## 1. Introduction

❖ Mot du PDG

❖ Résumé des Chiffres

## 2. Rapport Technique 2015 du Permis Dalafin

## 3. Détail des Comptes & Etats Financiers 2015

## 4. Perspectives 2016

## I. Introduction

### ❖ Mot du Président Directeur Général

Chers Associés, EMC/SA, ce grand projet que nous menons ensemble depuis **2007** est devenu majeur avec des expériences diverses tant le domaine minier que pétrolier.

Il est à noter que ces deux secteurs, ont connu des turbulences importantes durant l'année 2015 et qui se poursuivent encore en 2016, entraînant ainsi une baisse significative des investissements d'exploration voir même l'arrêt total pour certains projets. En effet la baisse du prix du baril n'encourage pas les investisseurs, les flux financiers importants mobilisés durant les années précédentes connaissent dès lors un rétrécissement stratégique de la part de toutes les compagnies juniors souvent plus dynamiques dans le financement de l'exploration.

Face à cette situation nous avons effectué des efforts importants dans la réduction des coûts de gestion. C'est ainsi que dans le cadre de la JV avec STRATEX, les charges ont été réduites de 50%, entraînant une baisse sur les encaissements prévus.

S'agissant de notre accord avec ORYX PETROLEUM, la réduction est passée à 40% avec les mêmes effets sur les prévisions.

Aussi pour le permis Dalafin qui est notre projet phare, nous arrivons au terme de la durée de validité en **Aout 2016** soit un total de **9** (neuf) ans durant lesquels d'importants prospects sont mises en évidence. Comme nous l'indique le rapport technique attaché, nous trouvons des minéralisations intéressantes sur les prospects de FARE Nord et Sud mais aussi à Baytilaye et à Médina Bafé. Ces différents indices méritent cependant des études complémentaires indispensables devant faire l'objet d'une demande d'extension de **3** (trois) ans. Le besoin de financement pour le bouclage des travaux techniques serait de **5 millions \$** environ. Stratex Internationale partenaire technico-financier et EMC/SA s'attèlent à rechercher de nouveaux partenaires.

Pour **EMC/SA**, l'option d'obtenir l'extension devra être accompagnée d'un projet d'ouverture de petite mine sur l'un des prospects du permis afin de pouvoir financer la poursuite de l'exploration. L'étude de faisabilité en cours vise un prospect d'une ressource d'une tonne (**1T**) environ et envisage l'entrée de partenaires techniques (équipementiers et foreurs) qui seront tous rémunérés sur les ressources tirées de la production. Cette éventualité de projet de petite mine est totalement en phase avec le code minier et l'étude de rentabilité sera soumise très bientôt au conseil d'administration et au partenaire technico-financier **STRATEX**.

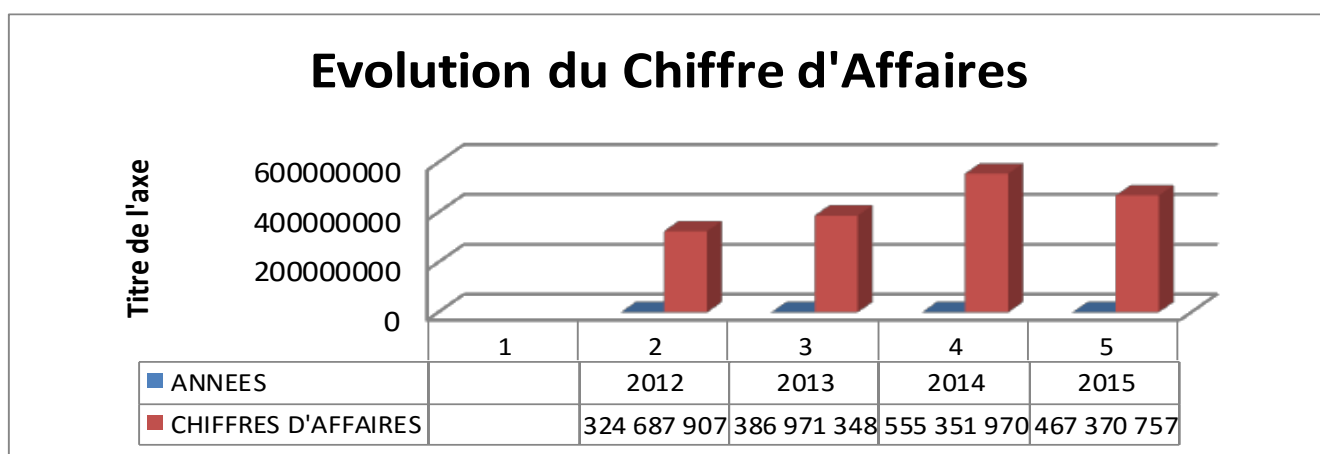
Le P.C.A

Mr Ousmane Ndiaye

❖ **Les Chiffres en Résumé Illustré**

**Tableau Evolutif du Chiffre d’Affaires 2012-2013-2014-2015**

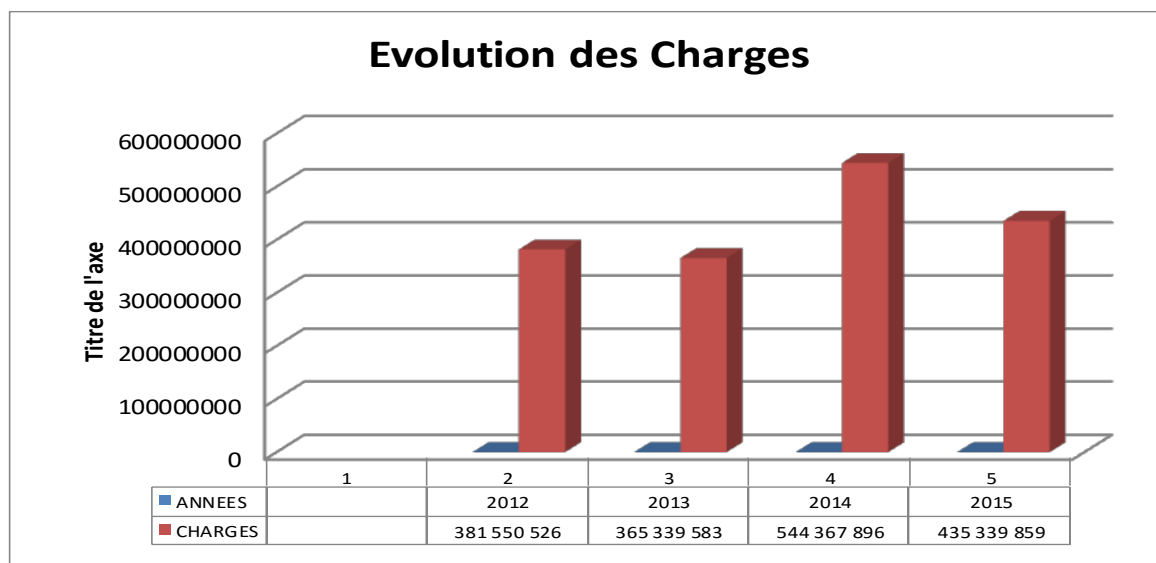
ANNEES	CHIFFRES D'AFFAIRES
2012	324 687 907
2013	386 971 348
2014	555 351 970
2015	467 370 757



Le Chiffre d’affaire connaît une croissance continue sur les 3 années précédentes d’une moyenne de 20% mais enregistre une baisse en 2015 comptes tenus de la crise dans le secteur de l’exploration minière et pétrolière.

**Tableau Evolutif des charges 2012-2013-2014-2015**

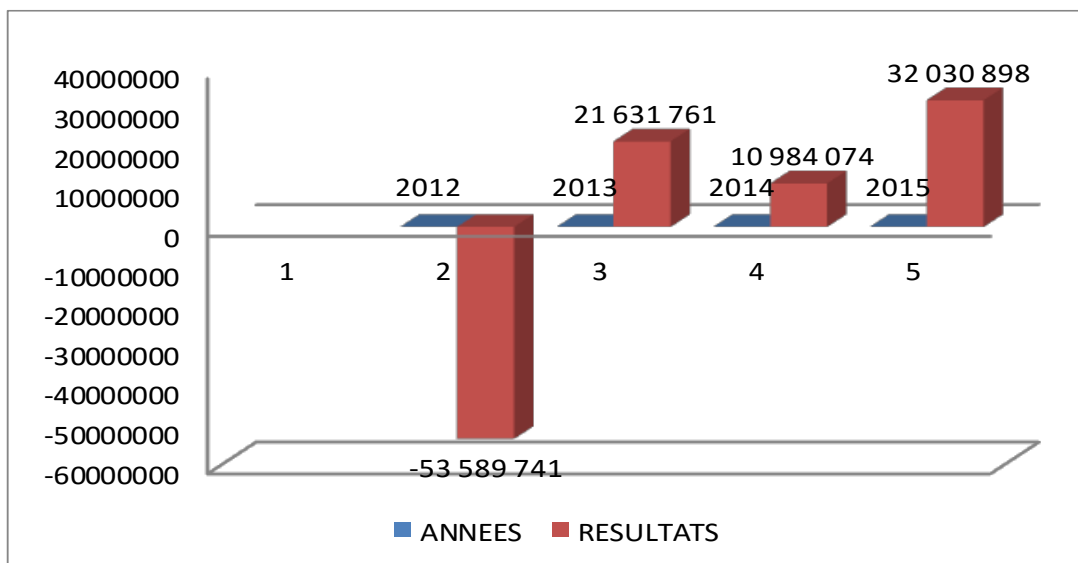
ANNEES	CHARGES
2012	381 550 526
2013	365 339 583
2014	544 367 896
2015	435 339 859



Les charges enregistrent par ailleurs une baisse consécutive aux réductions des coûts de **50%** pour ce qui concerne la JV avec STRATEX et **40%** pour ce qui concerne l'accord de représentation avec ORYX PETROLEUM

**Tableau Evolutif des résultats 2012-2013-2014-2015**

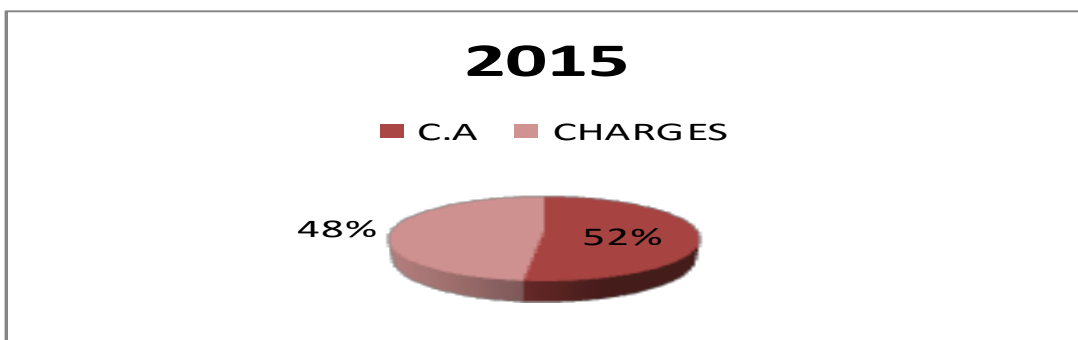
ANNEES	RESULTATS
2012	- 53 589 741
2013	+ 21 631 761
2014	+ 10 984 074
2015	+ 32 030 898



Le résultat positif pour cette année 2015 reconstruit significativement nos capitaux propres qui retrouvent le montant de **FCFA 242.155.758**.

## Répartition des Charges sur le Chiffre d'affaire 2015

POSTE	2015
C.A	467 370 757
CHARGES	435 339 859



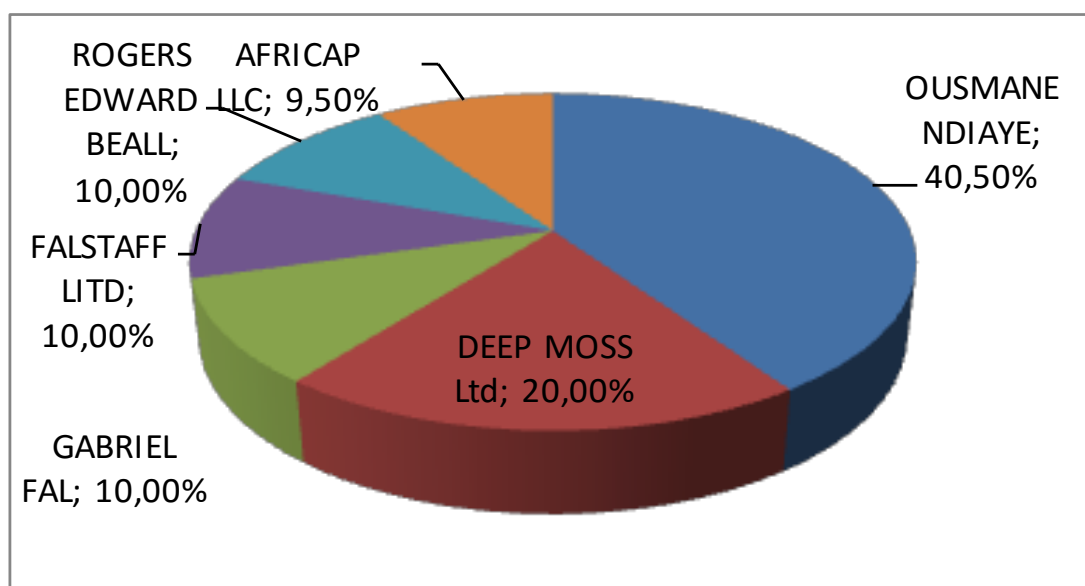
Le rapport est relativement égal entre le chiffre d'affaires et les charges sur l'année 2015.

## La situation des Apports en Capital (Recapitalisation 2010)

TABLEAU DES APPORTS RECAPITALISATION DE 250.000.000 FCFA				
NOMS	TAUX	Montant Apports	Acomptes Versés	SOLDE APPORT
<b>SOLDE CAPITAUX PROPRES 31 Déc. 2009</b>		<b>27 870 190</b>		
OUSMANE NDIAYE	40,50%	89 962 573	89 962 573	0
DEEP MOSS Ltd	20,00%	44 425 962	44 425 962	-
GABRIEL FAL	10,00%	22 212 981	11 120 000	11 092 981
FALSTAFF LITD	10,00%	22 212 981	22 731 151	-
ROGERS EDWARD BEALL	10,00%	22 212 981	22 212 981	0
AFRICAP LLC	9,50%	21 102 332	21 102 332	0
<b>TOTAL</b>	<b>100,00%</b>	<b>250 000 000</b>	<b>211 554 999</b>	<b>11 092 981</b>

Les apports en Capital pour la nouvelle recapitalisation autorisée par l'assemblée Générale extraordinaire de Septembre 2010 ont été entièrement libérés à l'exception de Mr Gabriel Fal.

Le solde de l'apport pour Mr Gabriel Fal affiche au débit le montant de FCFA 11.092.981 (Onze Millions quatre VINGT Douze Mille Neuf Cent Quatre Vingt Un Francs CFA).





## 2 – Le Rapport Technique

### Contenu

1	Localisation.....	10
2	Précédents travaux réalisés.....	13
2.1	Réinterprétation des données de la géophysique aéroportée de Fugro.....	13
2.2	Cartographie des affleurements (Outcrop mapping).....	15
2.3	Géochimie sol et termitière.....	15
2.3.2	La géochimie sol.....	15
2.3.3	La géochimie termitière.....	18
2.4	L'échantillonnage « Rock et Lag ».....	19
2.5	Les puits et tranchées.....	19
2.5.2	Les puits.....	19
2.5.3	Les tranchées.....	20
2.6	Géophysique aéroportée.....	21
2.7	Les sondages destructifs (RAB).....	21
2.8	Première phase de Forages RC et Carottage.....	<b>Erreur ! Signet non défini.</b>
2.8.2	Faré 23.....	
2.8.3	Baytilaye.....	30
2.8.4	Saroudia.....	32
2.9	<b>Deuxième phase de Sandage RC et Carottes.....</b>	<b>33</b>
2.9.1	<b>Le sondage carotté.....</b>	<b>34</b>
2.9.2	<b>Madina Bafe RC.....</b>	<b>36</b>
2.9	La géophysique au sol.....	38
2.10	<b>3<sup>e</sup> phase de forage RC et carotté.....</b>	<b>41</b>
3	Les travaux réalisés en 2015.....	51
3.1	<b>Madina Bafe.....</b>	<b>51</b>
3.1.1	<b>Cartographie litho-structurale et échantillonnage Rock et « lag ».....</b>	<b>51</b>
3.1.2	<b>Les tranchées.....</b>	<b>53</b>
3.2	<b>Fare.....</b>	<b>Erreur ! Signet non défini.</b>
4	Dépenses réalisées 2013- 2015.....	<b>Erreur ! Signet non défini.</b>
5	Budget prévisionnel 2016-2019.....	<b>Erreur ! Signet non défini.</b>
6	Les travaux réalisés en 2016.....	70
6.1	<b>Fare.....</b>	<b>70</b>
6.2	<b>Baytilaye.....</b>	<b>71</b>
7	Programmes.....	78
8	Conclusions et Perspectives.....	<b>Erreur ! Signet non défini.</b>
	ÉTATS FINANCIERS.....	89
	DÉTAIL DES COMPTES.....	101
	ANNEXE.....	109

## 1-Localisation

Le permis de Dalafin est situé au Sud-Est du Sénégal dans le département de Saraya région de Kédougou (**figure 1**). Suite à un premier renouvellement du permis en 2010 il couvrait une superficie de 630 Km<sup>2</sup>. Un deuxième renouvellement du permis était sollicité en août 2013, et la superficie est réduite à 472,5 Km<sup>2</sup> (**figure2**). La voie d'accès est la nationale 7 qui dessert les principales villes suivantes : Tambacounda Kédougou et Saraya. Le permis est limité par les points de coordonnées suivantes (**tableau 1**) dans le système WGS UTM Zone 28 Nord:

Tableau 1 : Coordonnées des points en WGS 84 UTM zone 28 N délimitant le permis DALAFIN

SURFACE (Km <sup>2</sup> )	POINTS	UTM_E_28N	UTM_N_28N
472,5 Km2	A	873676	1439664
	B	875649	1393695
	C	874884	1393600
	D	874979	1388143
	E	880340	1388143
	F	880340	1378091
	G	871570	1376711
	H	870600	1397170
	I	872821	1397265
	J	872416	1407186
	K	863839	1406876
	L	863763	1410329
	M	866063	1410365
	N	865691	1420844
	O	863335	1420741
	P	862996	1429612
	Q	866006	1429744
R	865421	1439664	

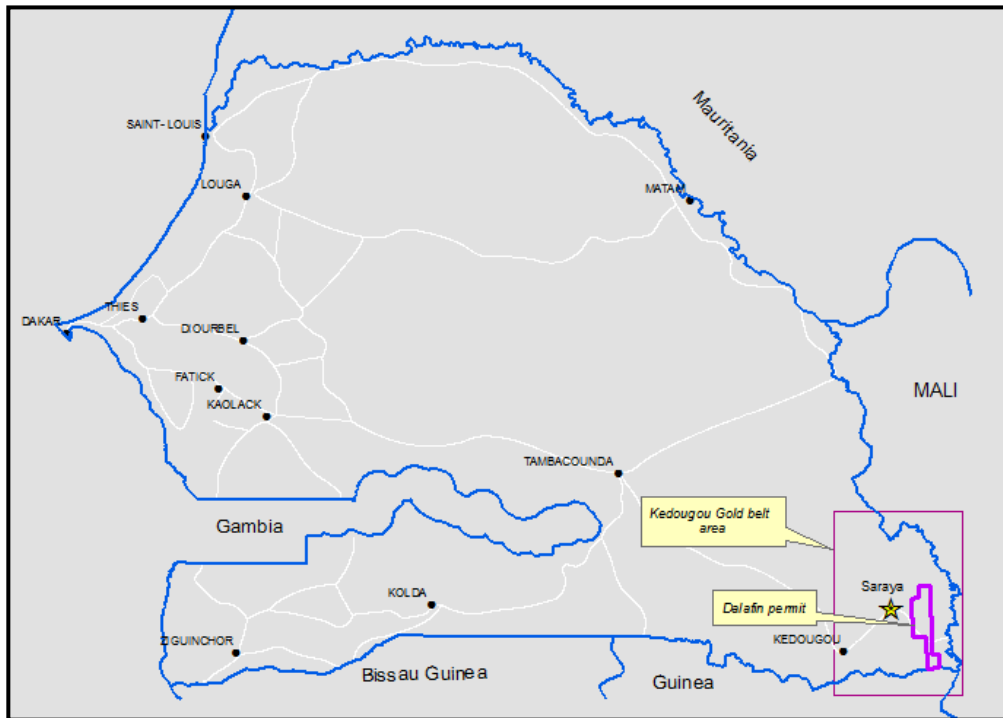


Figure 1 : Situation géographique du permis Dalafin

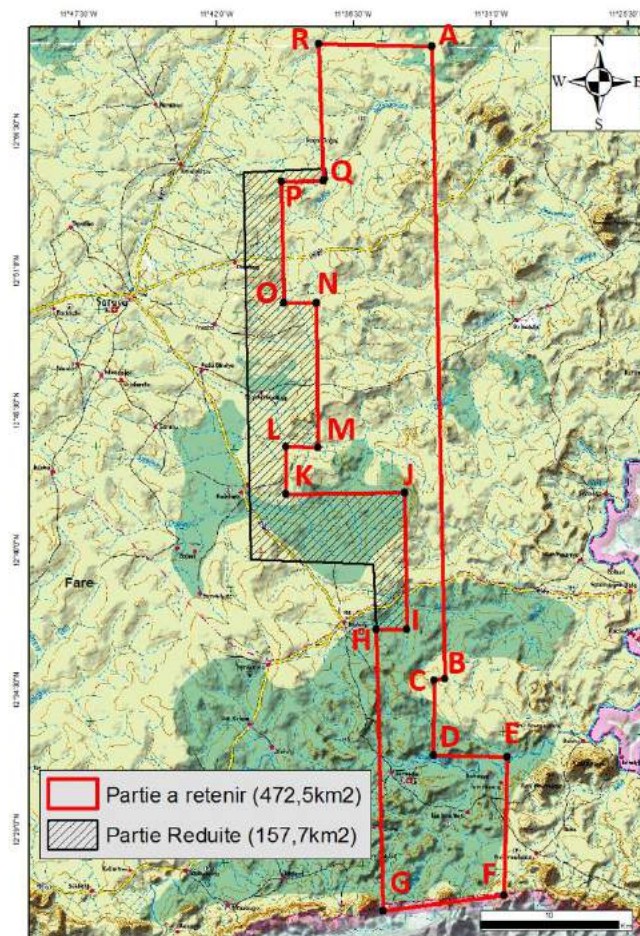


Figure 2 : Permis de Dalafin montrant la partie réduite en 2013

Sur le plan géologique, Dalafin appartient à la ceinture birimienne de Kédougou-Kenieba qui fait l'objet d'une grande activité minière. En effet, plusieurs compagnies d'échelle internationale : Randgold Ressources, Teranga Gold Operation, Oromin Exploration, IAMGOLD, Bassari Ressources sont établies dans la zone pour d'intenses activités d'exploration et d'exploitation d'or (**figure3**).

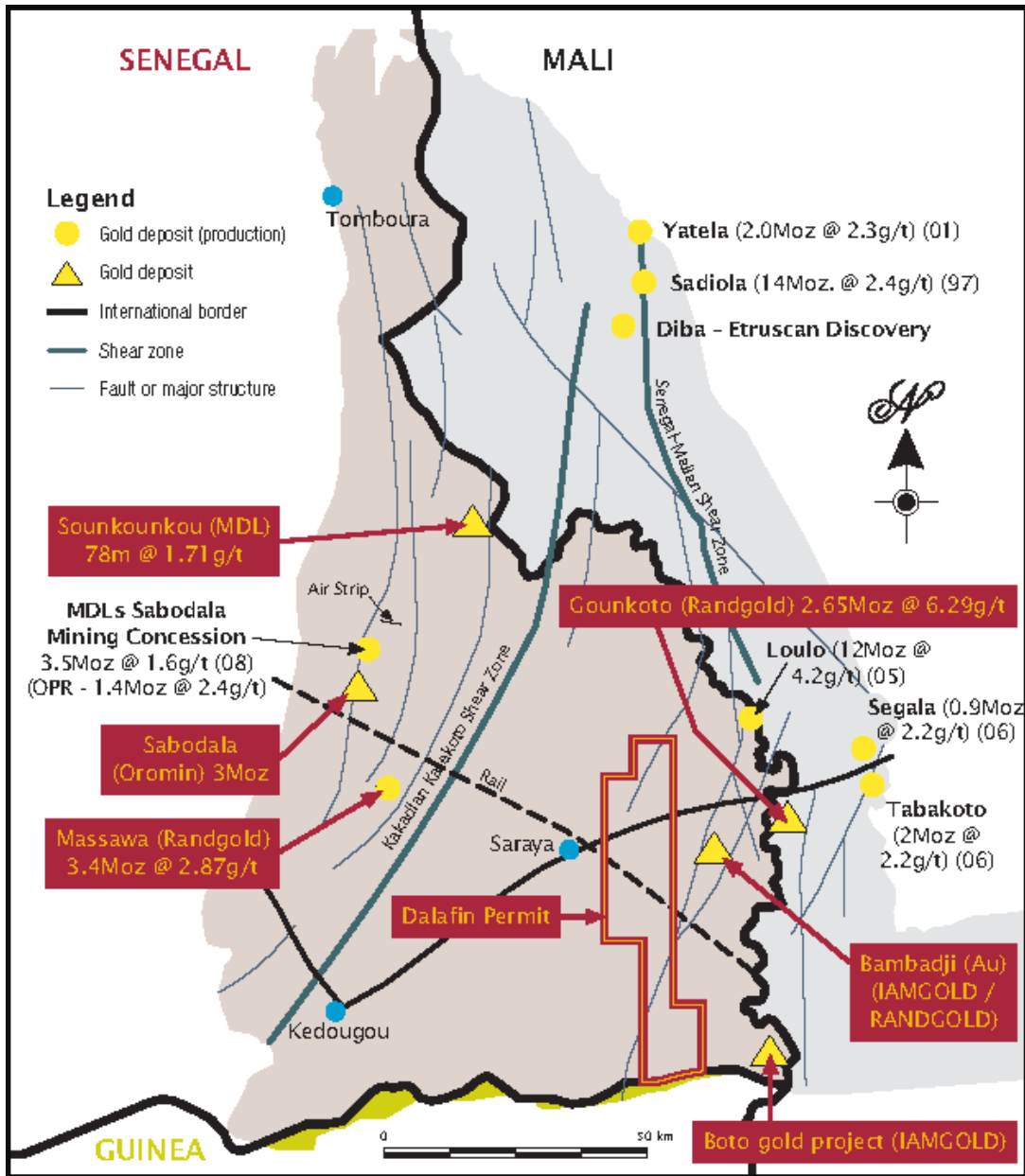


Figure 3 : Ceinture aurifère Kédougou-Kenieba

Une première phase d'exploration comprenant l'échantillonnage sol et termitière, la cartographie d'affleurements et l'échantillonnage rock et déblais provenant des sites d'orpaillages a été accomplie sur des zones cibles entre 2010 et 2012, ce qui a permis de prouver la présence d'une minéralisation autochtone.

Ensuite une seconde phase incluant le fonçage de puits et de tranchées ainsi que les sondages destructifs et carottés sur les anomalies initialement identifiées a été entamée.

### **3 Précédents travaux réalisés**

Les travaux réalisés pendant les années précédentes sont présentés dans les rapports antérieurs. Un sommaire est donné ci-après pour compléter la compréhension du lecteur.

#### **3.1 Réinterprétation des données de la géophysique aéroportée de Fugro**

L'interprétation des images satellitaires et de la géophysique aéroportée régionale (Fugro) a permis d'apporter une vue générale sur la géologie de Dalafin. Des roches sédimentaires (Siltstone et shale) associées à des roches volcaniques et volcanoclastiques forment l'essentiel des terrains. L'ensemble est recoupé par des granitoïdes de la série de la Falémé et du complexe granitique de Saraya.

La tectonique est dominée par des failles mineures et des zones de cisaillement orientées SW NE. On remarque aussi la présence de failles orientées NW SE. Des dykes mafiques (dolèrites) syntectoniques et tarditectoniques recourent les unités lithologiques citées ci-dessus.

Une réévaluation de la géologie régionale entrepris par Silvrex (devenu Stratex West Africa) est présentée en **Figure 4**.



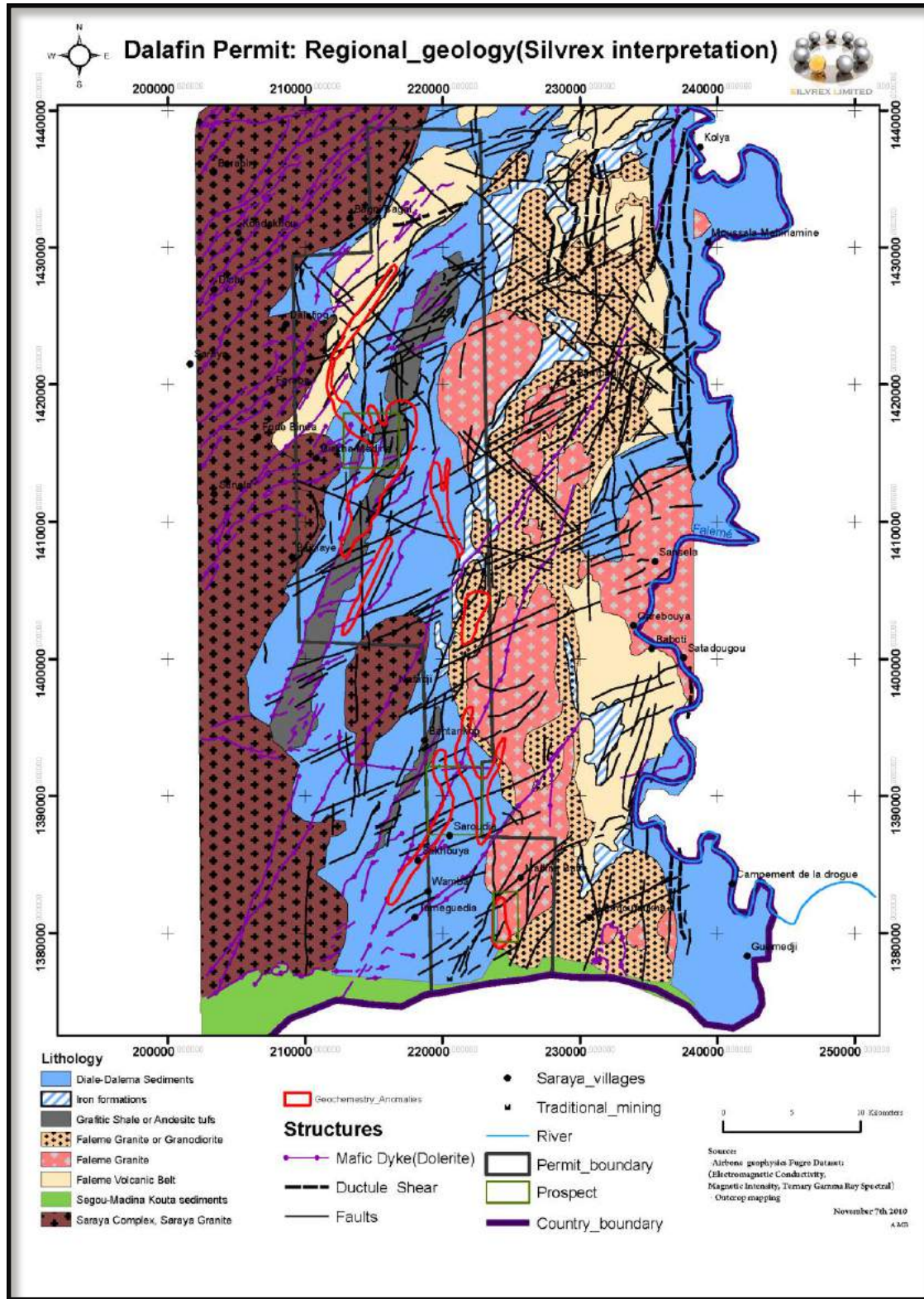


Figure 4 : Carte géologique du permis de Dalafin

## **3.2 Cartographie des affleurements (Outcrop mapping)**

La cartographie des affleurements dans trois zones du permis (nord, centre et sud) confirme les données issues de l'interprétation de la géophysique. Les faciès rencontrés sont essentiellement sédimentaires et volcano-sédimentaires constitués de siltstones de grauwackes de shales et de tufs. L'ensemble de ces roches sont métamorphisées dans le faciès schiste vert et sont le plus souvent schistosées N 30° à N 40°. On note aussi la présence de roches intrusives dominées par des granodiorites et des tonalites.

## **3.3 Géochimie sol et termitière**

### **3.3.2 La géochimie sol**

En première phase une grille régionale d'échantillonnage a été effectuée. Ensuite des grilles locales ont été effectuées dans des zones anormales.

#### **3.3.2.1 La grille régionale (figure 5)**

Cette grille a couvert l'ensemble du permis. Elle est de maille 1000m par 100m et a permis d'isoler plusieurs zones potentiellement minéralisées qui par la suite ont fait l'objet d'une géochimie locale.

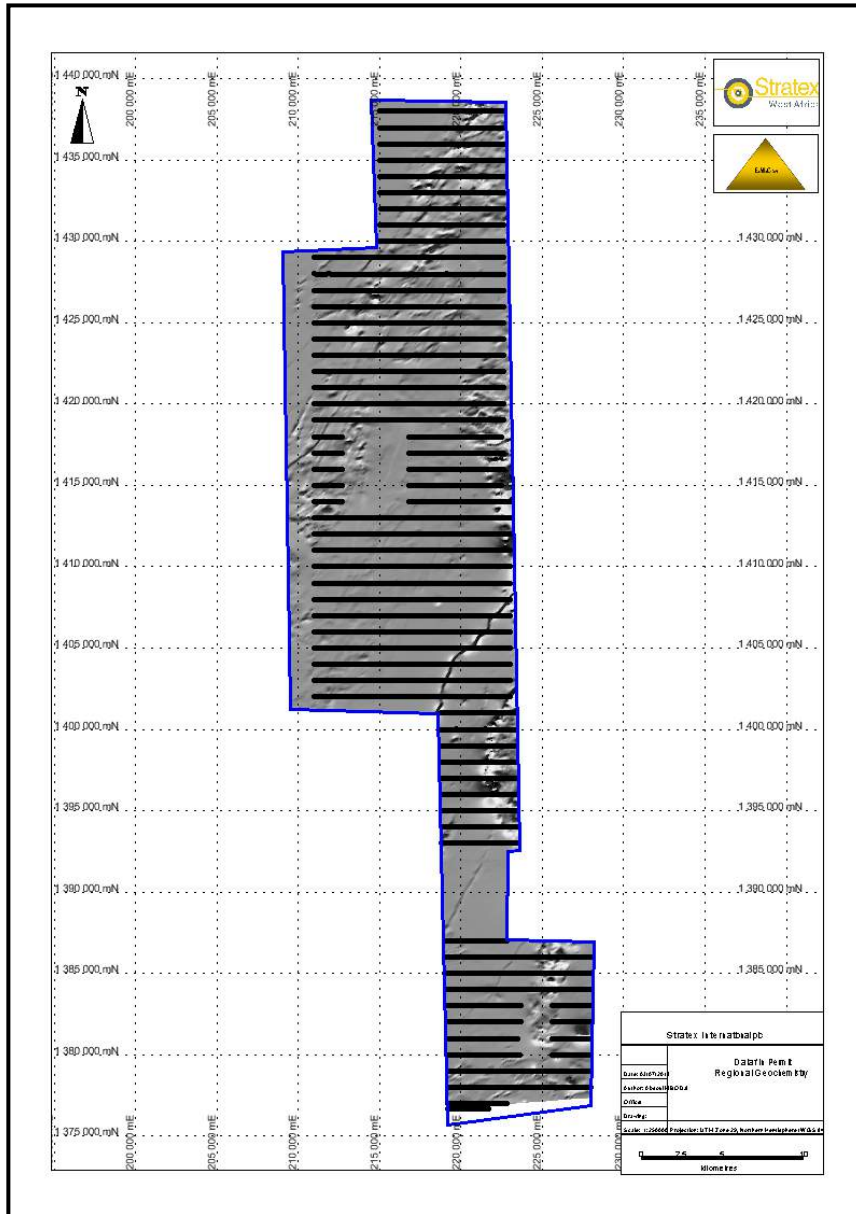


Figure 5. Grille géochimique régionale

### 3.3.2.2 Les grilles locales

La grille régionale et les travaux du PRISM ont permis de délimiter des zones d'intérêts sur les quelles des grilles plus détaillées ont été réalisées : **Figure 6**. Il s'agit de :

- **La grille sol de faré**

Elle est d'une maille 250mx50m avec 604 échantillons prélevés. L'ensemble des échantillons ont été analysés selon la méthode « **Aqua regia digestion** » qui est une digestion partielle de trois acides. Les résultats ont révélé la présence d'une anomalie longue 4 km, large de 100m et de direction.



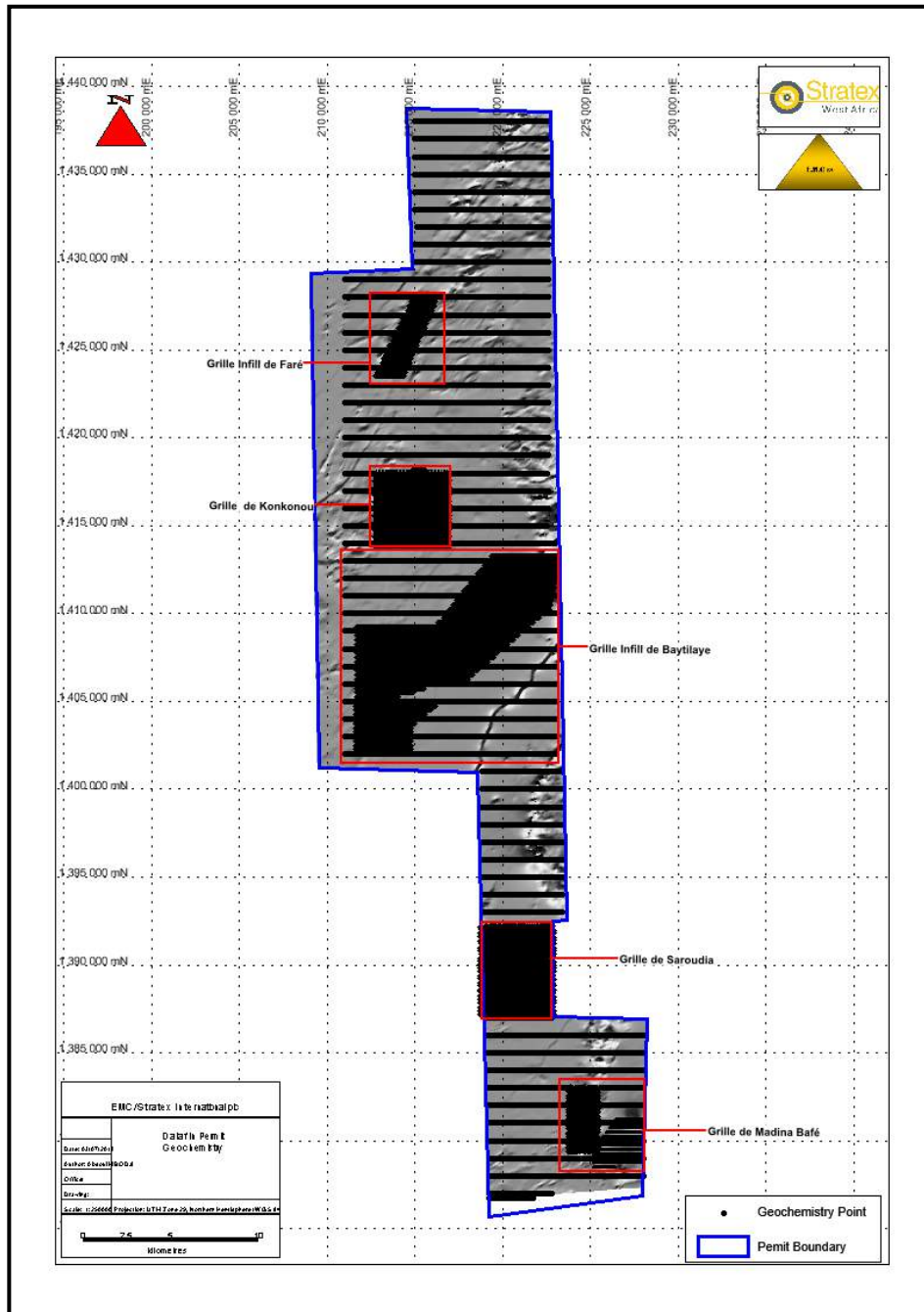


Figure 6 : les différentes grilles locales de géochimie

- **La grille de Konkonou**

C'est une grille est-ouest de quatre kilomètres de côté de maille 400X100 au centre de laquelle est insérée une petite grille de 200X50. Elle totalise 1008 échantillons qui sont analysés selon la méthode Aqua Regia Digestion. Dans ce prospect, plusieurs anomalies ont été mises en évidence mais la plus importante est longue de 2 km et suit une direction N40. Elle est caractérisée par des discontinuités qui s'expliqueraient par l'épaisseur de la cuirasse latéritique qui réduit l'ampleur de la réponse géochimique.

- **La grille de Baytilaye**

Elle a été réalisée pour mieux comprendre plusieurs anomalies détectées initialement par la géochimie régionale. Ainsi, 4923 échantillons sont prélevés sur une maille de 250X50. Dans ce secteur, trois zones d'intérêts ont été isolées : deux au Nord-Est et une au Sud-Ouest.

- **La grille de Madina Bafé sud-Est**

Elle a été définie pour confirmer une anomalie mise en évidence par la géochimie régionale. Elle est de maille 250mx50m et compte 542 échantillons. Après analyse des résultats, il a pu être constatés la présence d'une anomalie orientée E-W qui s'étend sur une longueur d'environ 2km.

### **3.3.3 La géochimie termitière**

Dans des zones où la fréquence des termitières l'a permis, ces derniers ont été échantillonnés.

- **La grille de Saroudia**

Cette grille a été réalisée pour confirmer une anomalie initialement décelée par les travaux du PRISM. C'est une grille de maille 200X50 avec un total de 2207 échantillons. L'ensemble des échantillons sont analysés selon la méthode « Aqua Regia Digestion ». Les résultats ont révélés plusieurs zones d'anomalies, cependant leurs relations spatio-temporelles restent difficiles à définir du fait de leur caractère diffus.

- **La grille de Madina Bafé**

Elle est de maille 200mx50m sur des lignes est-ouest. Comme Saroudia elle a été réalisée pour confirmer l'anomalie initialement détectée par les travaux du PRISM. A l'issue de l'analyse des échantillons, plusieurs zones anormales ont été détectés dont une très importante au centre de la grille.

- **Faré extension**

Une grille de géochimie sol de 250X50 a été exécutée au nord de faré pour suivre l'extension de l'anomalie de faré initialement mise en évidence (**Figure 7**). 823 échantillons sont prélevés et envoyés au laboratoire pour analyse selon la méthode « aqua regia » avec une limite de détection de 2ppb. Les résultats obtenus ont permis de prouver la continuité de l'anomalie de faré au nord et de définir une nouvelle zone forte anomalie géochimique au Nord-Est (**figure 7**)

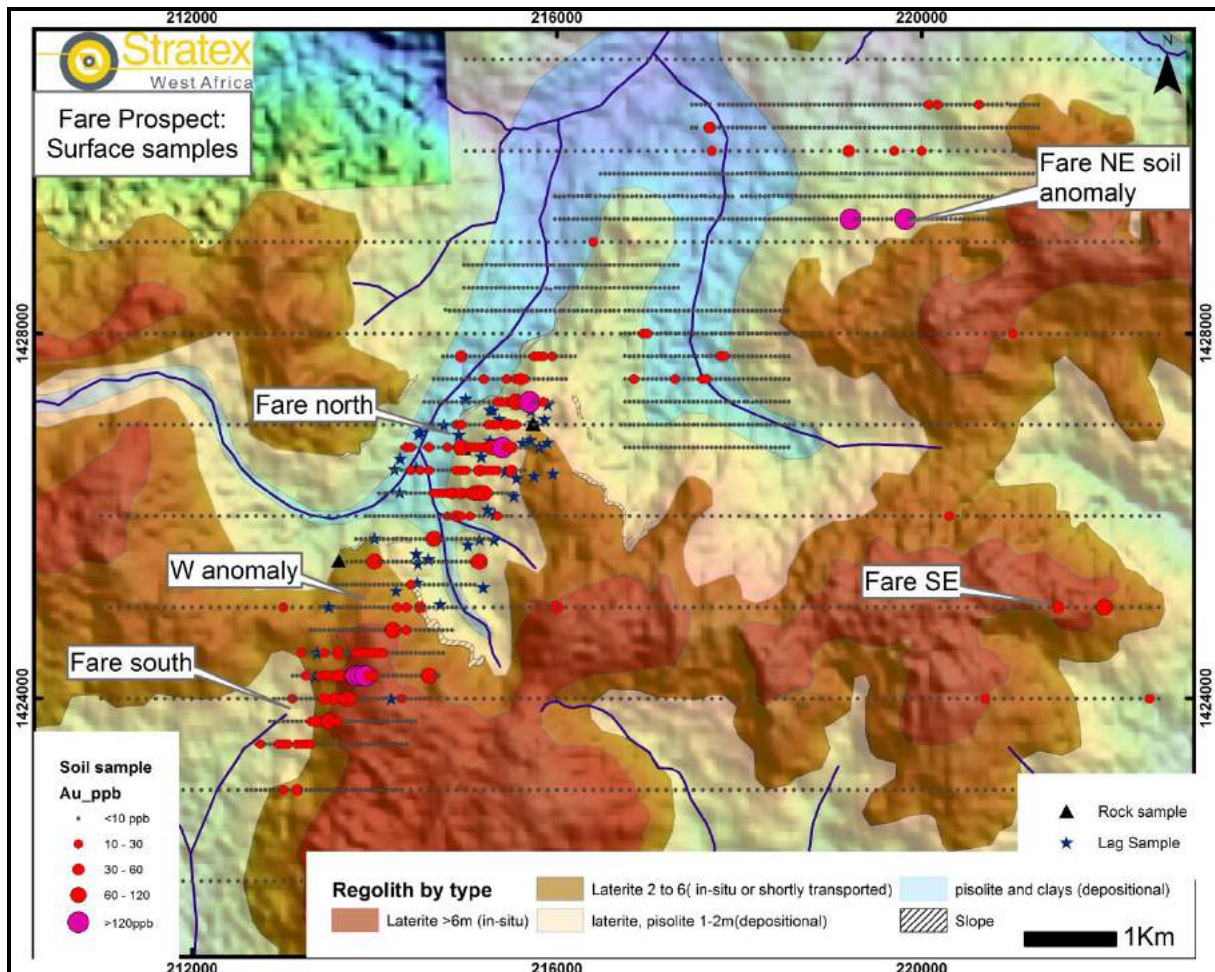


Figure 7 : Carte montrant les nouvelles lignes d'échantillonnage sol a faré nord.

### 3.4 L'échantillonnage « Rock et Lag »

Un échantillonnage « rock et lag » a été réalisé parallèlement à la cartographie. Il s'agit de prélever des échantillons sur des faciès qui semblent présenter un potentiel de minéralisation en or. Il a permis dans certaines zones la découverte de structures minéralisées qui ont fait l'objet de travaux plus poussés.

### 3.5 Les puits et tranchées

#### 3.5.2 Les puits

Pour suivre en profondeur la minéralisation révélée par les premières grilles de géochimie et comprendre l'origine de celle-ci ; un programme de puits a été réalisé.

La technique consiste à foncer des puits espacés de 20 mètres sur des lignes qui recoupent les anomalies. Sur chaque puits est prélevé par rainurage trois échantillons : un sur la latérite, un autre sur la « mottled zone » et un dernier sur la « saprolite » ou « saprock ».

Ces échantillons après analyse ont permis d'élucider le caractère autochtone ou allochtone de la minéralisation. Un levé géologique de la face nord de chaque puits est ensuite effectué.

La corrélation des logs géologiques obtenus à partir des différents puits a permis ainsi de comprendre la structure de la minéralisation et d'élucider les paramètres à tenir en compte pour les différentes campagnes de sondages.

### **3.5.3 Les tranchées**

Un programme de tranchées a été exécuté afin de suivre les structures mises en évidence lors de la cartographie. Ces tranchées ont été réalisées sur trois prospects : Madina Bafé, Saroudia et Baytilaye.

- **Madina Bafé**

L'échantillonnage d'une veine affleurant au nord du prospect de Madina Bafé a donné une valeur en or de 16,4 g/t. Ainsi un programme de tranchées a été initié pour étudier l'extension de la zone minéralisée.

Deux tranchées de longueurs identiques (24,5m) ont pu être creusées et échantillonnées: l'une au nord (MBT-001) et l'autre (MBT-002) au sud de la structure.

L'étude géologique de la première tranchée montre une granodiorite recoupée par un système de veines bréchifiées qui est large de 6 mètres. Ces veines sont orientées N320 et présentent un pendage variant entre 50 à 85°. La pyrite et la tourmaline sont observables dans le quartz qui est de type fumé. A côté de la veine majeure, de petites veines orientées dans la même direction sont visibles.

La géologie de la seconde tranchée est presque identique à celle de la première. On observe toujours une granodiorite recoupée par une structure dans laquelle s'est mise en place une brèche caractérisée par la présence de veinules ferrugineuses sous forme de « stockwercks ». Des veines de quartz de direction N 310 avec un pendage de 60°SW dans lesquelles on note la présence de sulfures et de la tourmaline sont associées à la brèche.

- **Baytilaye**

A Baytilaye quatre tranchées ont été effectuées pour recouper en profondeur les veines de quartz orientées suivant la direction birimienne (N30). Ces structures ont un pendage qui varie entre 50 et 70° avec un plongement vers l'Est.

- **Saroudia**

A Saroudia également quatre tranchées ont été réalisées pour recouper ces structures birimiennes. On y observe des veines de quartz fortement hématisées orientées N70 avec un plongement vers le Sud.

### **3.6 Géophysique aéroportée**

Une campagne de géophysique aéroportée a été réalisée sur l'ensemble du permis. Elle a permis de collecter des données magnétiques et radiométriques à l'échelle du permis qui ont permis une meilleure interprétation géologique. Le levé géophysique a été conduit par la compagnie Terrascan en Mai-Juin 2012 et a été réalisé sur des lignes de vol espacées de 100m à une altitude de 50m au-dessus de la terre.

### **3.7 Les sondages destructifs (RAB)**

En 2013 un programme de sondage RAB a été réalisé sur cinq prospects en vue de tester les anomalies délimitées préalablement par la géochimie de surface. Au total **33.408** m ont été forées au niveau des prospects suivants : Madina Bafé, Saroudia, Baytilaye, Konkonou, et Faré. L'échantillonnage s'est fait par composite de 2m et sont analysés par la méthode « fire assay ». Les meilleurs résultats sont obtenus au niveau du prospect de Faré, de Baytilaye et de Madina Bafe. Le tableau suivant (**tableau 2**) montre les meilleures interceptions issues de la campagne de sondage destructif « RAB » avec une coupure de 0.1g/t.

**Tableau 2 : les meilleures interceptions issues de la campagne RAB de 2013**

HoleID	From	To	Interval	Average g/t	Intercepts	Comments	Prospect
DFRB-01039	0	17	17.00	0.51	17m @ 0.508g/t	open ended	Baytilaye
DFRB-01041	16	22	6.00	2.57	6m @ 2.568g/t	open ended	Baytilaye
DFRB-01044	0	10	10.00	1.37	10m @ 1.371g/t		Baytilaye
DFRB-01120	8	14	6.00	1.16	6m @ 1.16g/t		Baytilaye
DFRB-01135	4	10	6.00	0.69	6m@0.694g:t		Baytilaye
FARB-00079	4	14	10.00	2.29	10m @2.290g/t		Faré
FARB-00082	12	18	6.00	0.54	6m @0.538g/t		Faré
FARB-00085	20	26	6.00	1.61	6m @1.606g/t		Faré
FARB-00106	6	15	9.00	2.87	9m @2.869g/t	open ended	Faré
FARB-00107	0	28	28.00	0.49	28m @0.491g/t		Faré
FARB-00108	0	29	29.00	0.32	29m @0.324g/t		Faré
FARB-00109	0	35	35.00	1.19	35m @1.187g/t	open ended	Faré
FARB-00110	0	35	35.00	0.84	35m @0.840g/t	open ended	Faré
FARB-00111	0	32	32.00	2.54	32m @2.536g/t	Open ended	Faré
FARB-00112	0	20	20.00	0.48	20m @0.480g/t		Faré
FARB-00139	30	35	5.00	1.37	5m @1.374g/t	open ended	Faré
FARB-00163	6	14	8.00	1.13	8m @1.126g/t		Faré
DFRB-00090	12	28	16.00	0.80	16m@0.801g/t		Madina Bafé
DFRB-00205	14	18	4.00	4.71	4m@4.708g/t	Open Ended	Madina Bafé
DFRB-00205	22	29	7.00	0.33	7m@0.332g/t		Madina Bafé
DFRB-00243	0	7	7.00	2.94	7m@2.9395g/t	Open Ended	Madina Bafé
DFRB-00245	8	14	6.00	0.43	6m@0.426g/t		Madina Bafé
DFRB-00293	18	26	8.00	2.82	8m@2.8155g/t	Open Ended	Madina Bafé
DFRB-00309	16	24	8.00	0.20	8m@0.20g/t		Madina Bafé
DFRB-00341	18	24	6.00	0.67	6m@0.67g/t		Madina Bafé



### 3.8 Première phase de Forages RC et Carottage

Afin de vérifier les résultats encourageant de la géochimie et du RAB, un programme de sondage RC et DDH percutant a été effectuée sur les pics des anomalies pour vérifier leur enracinement en profondeur. Un total de 57 trous d'environ 4883.55m, ont été forés entre Novembre 2013 et s'est terminée fin Décembre 2013.

Le programme couvrait 3 prospects : Faré, Baytilaye et Saroudia et avait pour objectif de tester la minéralisation aurifère déjà intersectée par les forages RAB /AC sur ces cibles. Ainsi, à Faré 13 trous DD et 35 trous RC ont été forés pour un total de 3937,35m, à Baytilaye 5 trous DD pour un métrage combinée de 566,2 m et à Saroudia 4 trous RC pour un total de 380m. Les taux de récupération varient de 30 % à 100 % avec la faible récupération survenant dans les horizons saprolitiques altérés plus près de la surface. Là où la récupération est pauvre et la carotte n'est pas suffisamment long pour permettre un échantillonnage métrique ou à intervalles lithologiques, l'échantillonnage « balise à balise » a été exécuté afin de minimiser les biais de pertes dans la carotte suivante où la récupération est bonne. Cela a introduit une composite d'échantillonnage de 1,5 m à 2 ou 3 m alors qu'en réalité la longueur de base était sensiblement moins de 1m. Toutes les carottes ont été coupées et divisées en deux moitiés le long de la marque de l'orientation et la moitié inférieure (ou moitié droite si la marque de l'orientation est vers le bas) a été échantillonnée pour analyse.

Deux machines de forage diamant et une machine de forage RC ont été utilisés pour l'ensemble du programme. Tous les échantillons, y compris les insertions de QAQC ont été analysés au laboratoire de Bureau Veritas en Côte d'Ivoire. Jusqu'à présent le contrôle de la qualité de la performance du laboratoire et de l'analyse de l'AU a été satisfaisante.

#### 3.8.2 Faré

Des forages ont été effectués dans deux zones de ce prospect, connues sous les noms de Faré Sud et Faré Nord. Ces deux endroits sont séparés par une distance d'approximativement 2.4km dans un sens nord-est. La position des trous et les détails des métrages sont donnés respectivement sur la **figure 8** et dans le **tableau 03** ci-après.



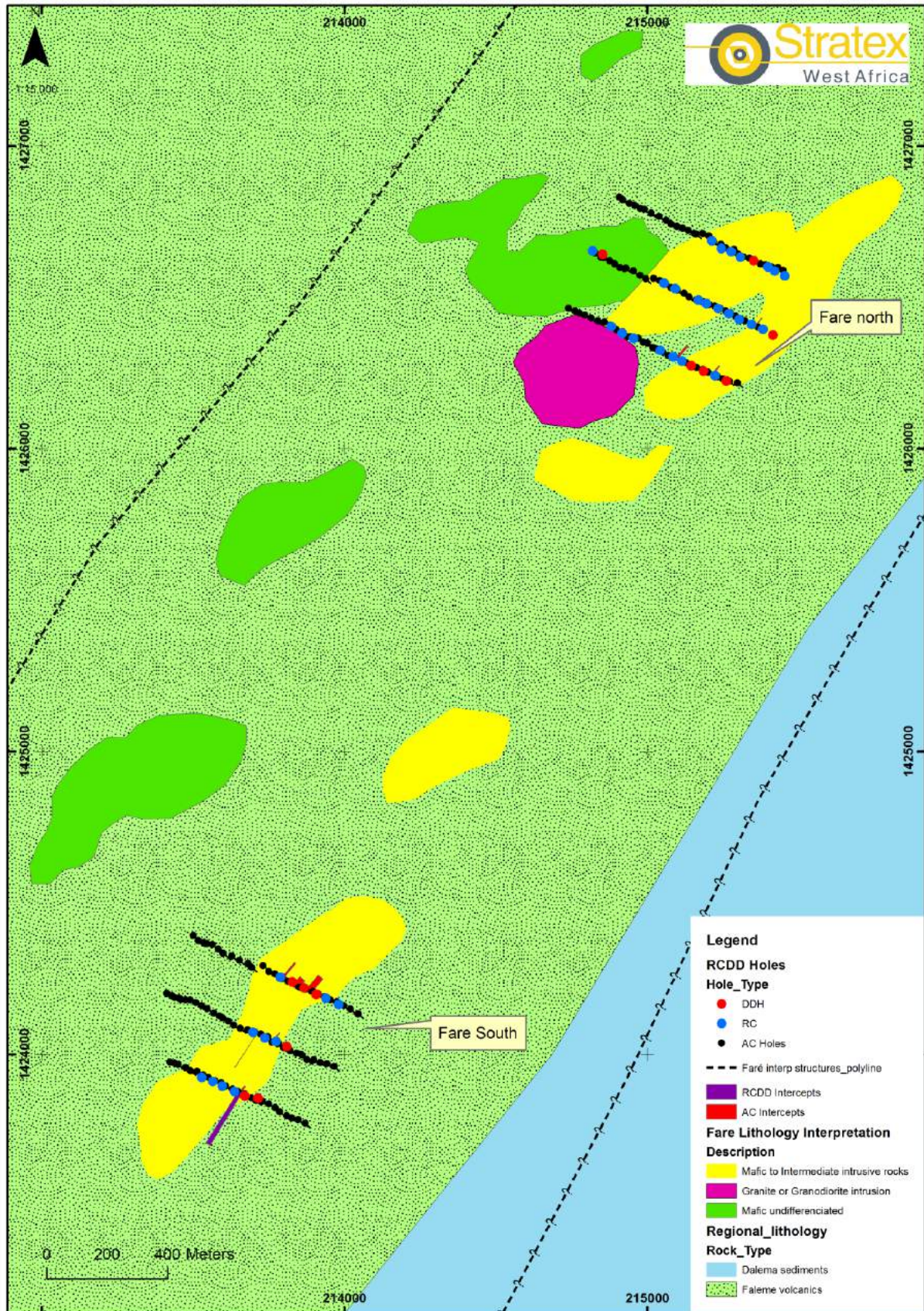


Figure 8: Carte de localisation des trous de forages à Faré



**Tableau 3 : Trous de Forage DD & RC : Faré**

Trous de Forage DD & RC : Faré						
Zone	ID du trou	Type	Profondeur (m)	RL_m	Azimuth	Dip
Fare Sud	FADD-00001	DDH	94.75	193	115	-50
	FADD-00002	DDH	91.1	193	295	-50
	FADD-00003	DDH	98.6	187	295	-50
	FADD-00004	DDH	100.1	194	295	-50
	FADD-00005	DDH	120.6	190	295	-50
	FADD-00006	DDH	118.1	196	295	-50
	FADD-00013	DDH	93.6	192	295	-50
Fare Nord	FADD-00007	DDH	100.1	185	295	-50
	FADD-00008	DDH	99.6	181	295	-50
	FADD-00009	DDH	100	178	295	-50
	FADD-00010	DDH	100.1	158	295	-50
	FADD-00011	DDH	100.1	177	295	-50
	FADD-00012	DDH	101.6	174	295	-50
<b>Total DD</b>		<b>13</b>	<b>1318.35</b>			
Fare Sud	FARC-00001	RC	80	188	295	-50
	FARC-00002	RC	68	194	295	-50
	FARC-00003	RC	78	187	295	-50
	FARC-00004	RC	80	194	295	-50
	FARC-00005	RC	61	188	295	-50
	FARC-00006	RC	62	181	295	-50
	FARC-00007	RC	80	192	295	-50
	FARC-00008	RC	80	188	295	-50
	FARC-00009	RC	80	191	295	-50
	FARC-00010	RC	80	189	295	-50
	FARC-00035	RC	80	194	295	-50
Fare Nord	FARC-00011	RC	80	177	295	-50
	FARC-00012	RC	80	175	295	-50
	FARC-00013	RC	60	161	295	-50
	FARC-00014	RC	80	169	295	-50
	FARC-00015	RC	80	171	295	-50
	FARC-00016	RC	80	171	295	-50
	FARC-00017	RC	54	164	295	-50
	FARC-00018	RC	60	159	295	-50
	FARC-00019	RC	60	155	295	-50
	FARC-00020	RC	80	168	295	-50
	FARC-00021	RC	60	174	295	-50
	FARC-00022	RC	80	173	295	-50
	FARC-00023	RC	60	173	295	-50
	FARC-00024	RC	80	176	295	-50
	FARC-00025	RC	72	176	295	-50
	FARC-00026	RC	80	179	295	-50
	FARC-00027	RC	78	169	295	-50
	FARC-00028	RC	80	171	295	-50
	FARC-00029	RC	80	173	295	-50
	FARC-00030	RC	86	174	295	-50
FARC-00031	RC	80	175	295	-50	
FARC-00032	RC	80	174	295	-50	
FARC-00033	RC	80	180	295	-50	
FARC-00034	RC	80	182	295	-50	
<b>Total RC</b>		<b>35</b>	<b>2619</b>			
<b>Total RC &amp; DD</b>		<b>48</b>	<b>3937.35</b>			

A Faré Sud 3 lignes ont été forées avec le plus grand nombre de sondages carottés sur la ligne 4, tandis que les 2 autres lignes sont nanties de 1 et de 2 trous respectivement pour la ligne 5 et ligne 6. Trois lignes ont été forées également à Faré Nord. Les trous de diamant étaient initialement à orientés à 115 degrés N sur la ligne 4, mais après étude de la lithologie récupérée et des diverses roches, l'orientation des forages a été modifiée pour être dans la direction opposée, 295 degrés N. Cela était nécessaire, car l'étude des carottes du forage FADD-00001 démontraient que ce forage était plus ou moins parallèle à la structure principale. Tous les trous suivants sur la ligne 4 ont été forés avec un azimut de 295 degrés N. Au début des lignes 5 et 6, un trou de diamant a été percé afin de vérifier l'exactitude de l'azimut de N 295 degrés avant de commencer le forage RC. Le même exercice de vérification de l'azimut optimal avec un trou DD a été mené à Faré Nord sur les lignes 1, 2 et 3. L'échantillonnage a été effectué sur la base de 1 mètre mais tenant compte des limites lithologiques. Tous les échantillons dont les CRM, les blancs et les doublons ont été analysés et tous les résultats ont été retournés du labo à la fin du mois de janvier 2014. D'après les résultats retournés par le laboratoire, des intersections très encourageantes ont été signalées sur certains trous à Faré Sud et Faré Nord. Voir le **tableau 04** pour les interceptes considérés significatives et les figures **9, 10 et 11** pour des plans et sections avec interceptions de Faré Sud et Faré Nord.

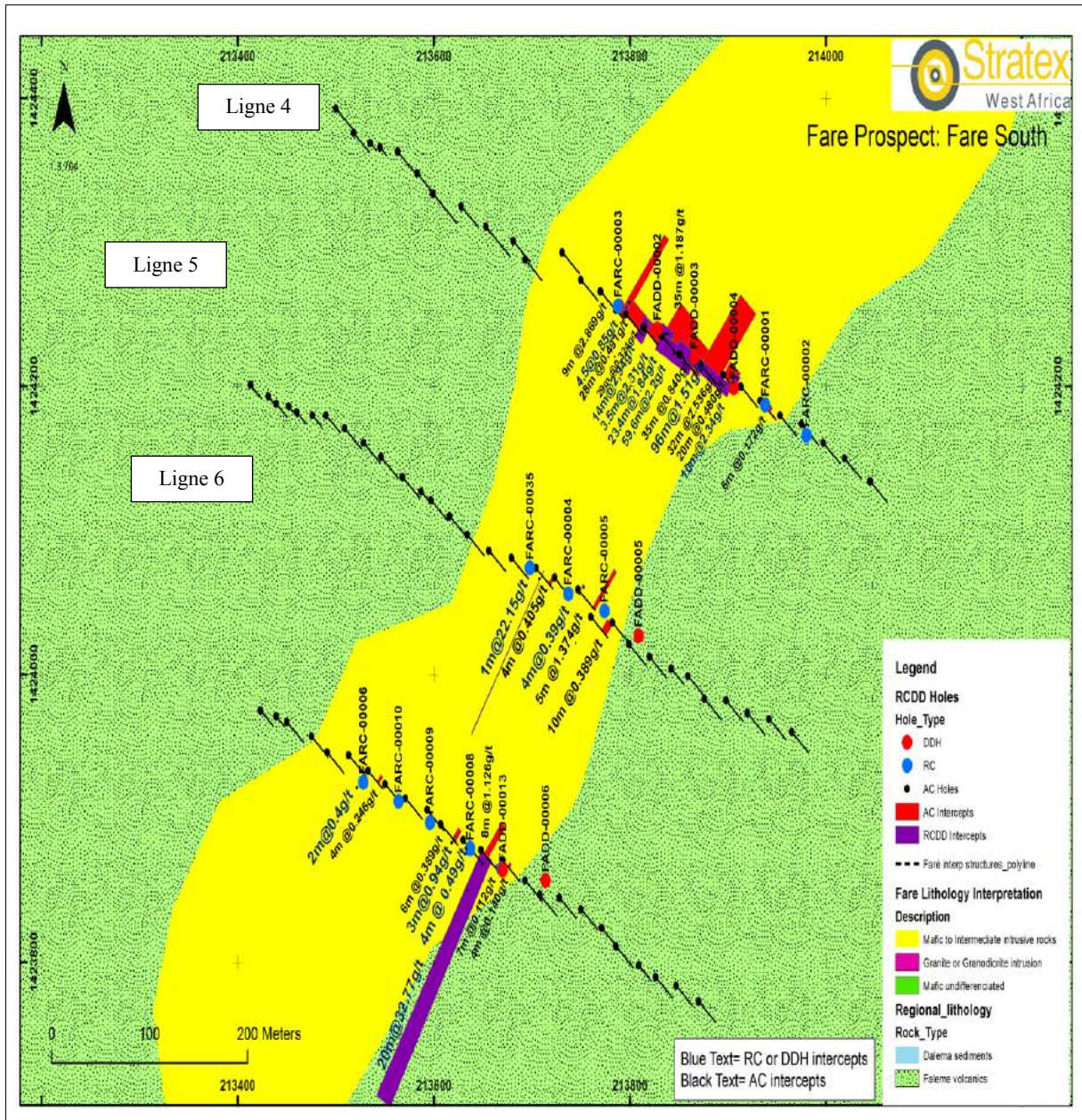


Figure 9 : localisation des trous et leurs Interceptés à Faré South

**Tableau 4 : tableau récapitulatif des meilleures interceptions de Fare**

Faré: Meilleures interceptes avec une teneur de coupure de 0.3g/t						
ID du trou	de (m)	à (m)	Intervalle (m)	Moyenne g/t	Intercepte	Comprenant à Haute teneur
FADD-00001*	8.60	13.10	4.50	0.85	4.5m @0.85g/t	
FADD-00001*	73.00	92.00	19.00	2.19	19m @ 2.2g/t	5.5m @ 5.9g/t dès 77.6m
FADD-00002	11.10	25.10	14.00	2.94	14m@2,94g/t	3m @ 10.47g/t dès 20.1m
FADD-00003*	0.00	59.60	59.60	2.20	56.60m @2.2g/t	18m @4.27g/t dès 39.10m
FADD-00003*	80.10	83.60	3.50	2.31	3.5m@2.31g/t	
FADD-00004	4.10	100.10	96.00	1.51	96m@1.51g/t	10m @ 5.07g/t dès 78.10m
FADD-00005	101.60	105.60	4.00	0.39	4m@0.39g/t	
FADD-00007	14.10	21.10	7.00	1.31	7m@1.31g/t	
FADD-00008	32.56	34.60	2.04	1.37	2.04m@1.37g/t	
FADD-00008	78.10	80.10	2.00	0.48	2m@0.48g/t	
FADD-00011	17.00	21.50	4.50	0.41	4.5m@0.41g/t	
FADD-00012	96.60	100.60	4.00	0.35	4m@0.35g/t	
FADD-00013	17.60	24.60	7.00	1.64	7m@1.64g/t	
FARC-00001*	50.00	60.00	10.00	2.34	10m@2.34g/t	5m @ 3.95g/t dès 54m
FARC-00004	46.00	47.00	1.00	22.15	1m@22.15g/t	
FARC-00006	3.00	5.00	2.00	0.40	2m@0.4g/t	
<b>FARC-00007**</b>	19.00	26.00	7.00	86.39	7m @ 86.39g/t	1m @ 229.51g/t dès 19m
FARC-00007	56.00	60.00	4.00	0.49	4m @ 0.49g/t	
FARC-00008	26.00	29.00	3.00	0.94	3m@0.94g/t	
FARC-00019	25.00	27.00	2.00	1.81	2m@1.81g/t	
FARC-00020	66.00	68.00	2.00	0.41	2m@0.41g/t	
FARC-00021	7.00	9.00	2.00	1.64	2m@1.64g/t	
FARC-00025	50.00	53.00	3.00	0.60	3m@0.6g/t	
FARC-00031	13.00	23.00	10.00	0.51	10m@0.51g/t	
FARC-00032	20.00	22.00	2.00	0.72	2m@0.72g/t	
FARC-00034	12.00	16.00	4.00	0.53	4m@0.53g/t	
FARC-00034	18.00	23.00	5.00	0.39	5m@0.39g/t	
FARC-00034	56.00	58.00	2.00	0.47	2m@0.47g/t	

Les forages carottés à Fare Sud exhibent les meilleures interceptes surtout les trous situés sur la ligne 4. Jusqu'à présent le « logging » des carottes a déterminé 3 types de lithologies composée de diorite, de porphyres et métasédiments. Il semble qu'il y ait une relation complexe intrusive et de brèches qui peuvent être la clé de la minéralisation en or, mais jusqu'à présent cette relation n'est pas complètement comprise. Les unités intrusives sont décrites comme diorite et différents types de porphyres. La diorite a été fortement bréchifiée et aussi a fait l'objet d'intenses activités d'albitisation et de chloritisation tandis que les porphyres (feldspar P., albite hornblende P., feldspar biotite quartz P) recoupent pour la plupart la diorite. La relation entre la diorite et les porphyres suggère que ces dernières ont joué un rôle en fournissant la source de chaleur pour la minéralisation. Cependant, à ce stade les informations disponibles ne permettent pas confirmer cette hypothèse.



Ainsi, quelques carottes ont été sélectionnées pour des descriptions pétrographiques et minéralogiques qui aideront à comprendre davantage le contrôle de la minéralisation. Les résultats de l'analyse des lames mince sont décrits dans la section 3.2

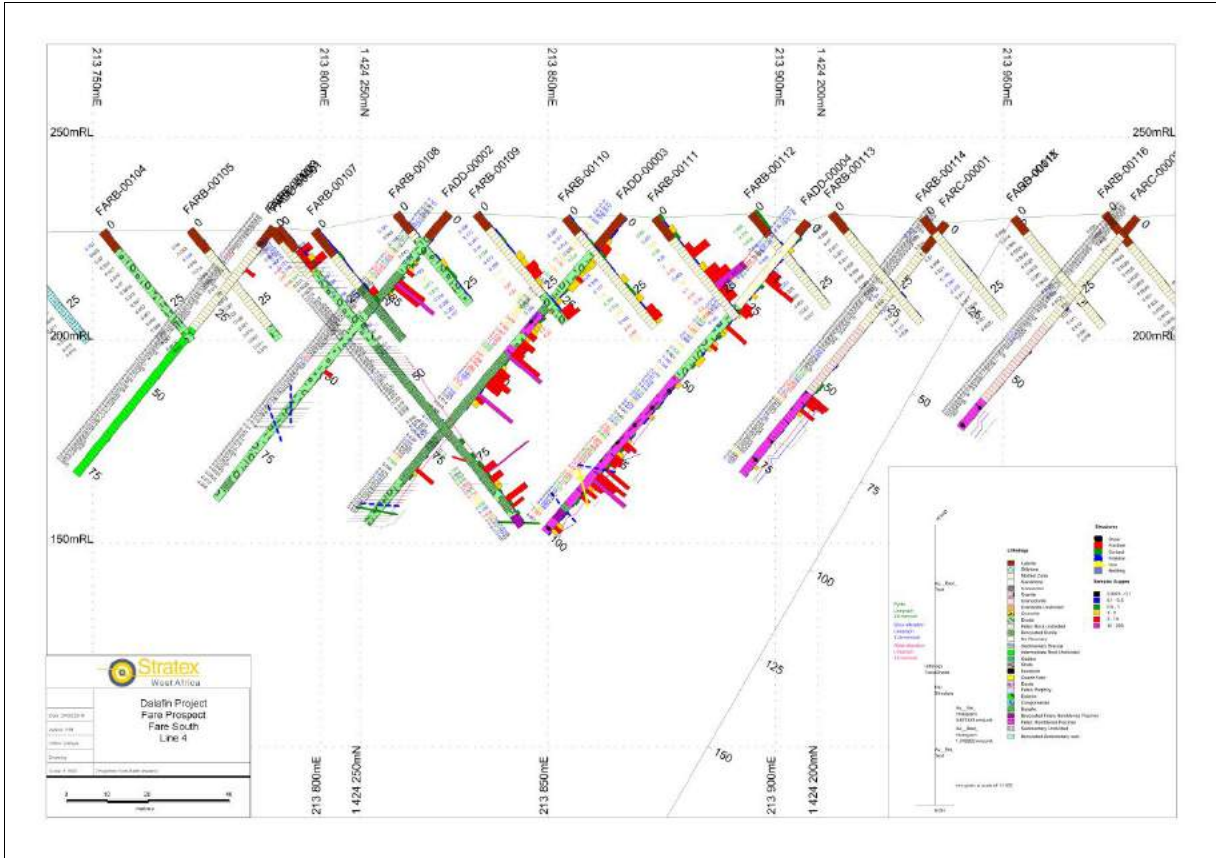


Figure 10 : section en 2D de la ligne 4 de Faré South

A Fare Nord, la lithologie rencontrée est surtout la diorite qui empiète les séquences volcano-sédimentaires. Au moins 2 différents types de porphyres contenant plus ou moins feldspath ou hornblende ont également été identifiés mais l'événement de bréchification identifié à Fare Sud n'a pas été mis en évidence. Il est à remarquer que les largeurs de la minéralisation et l'intensité de l'altération enregistrée ont été moins élevés comparés à Faré Sud. La pyrite est le sulfure le plus dominant rencontré dans la roche altérée aussi bien à Fare Sud qu'à Faré Nord.

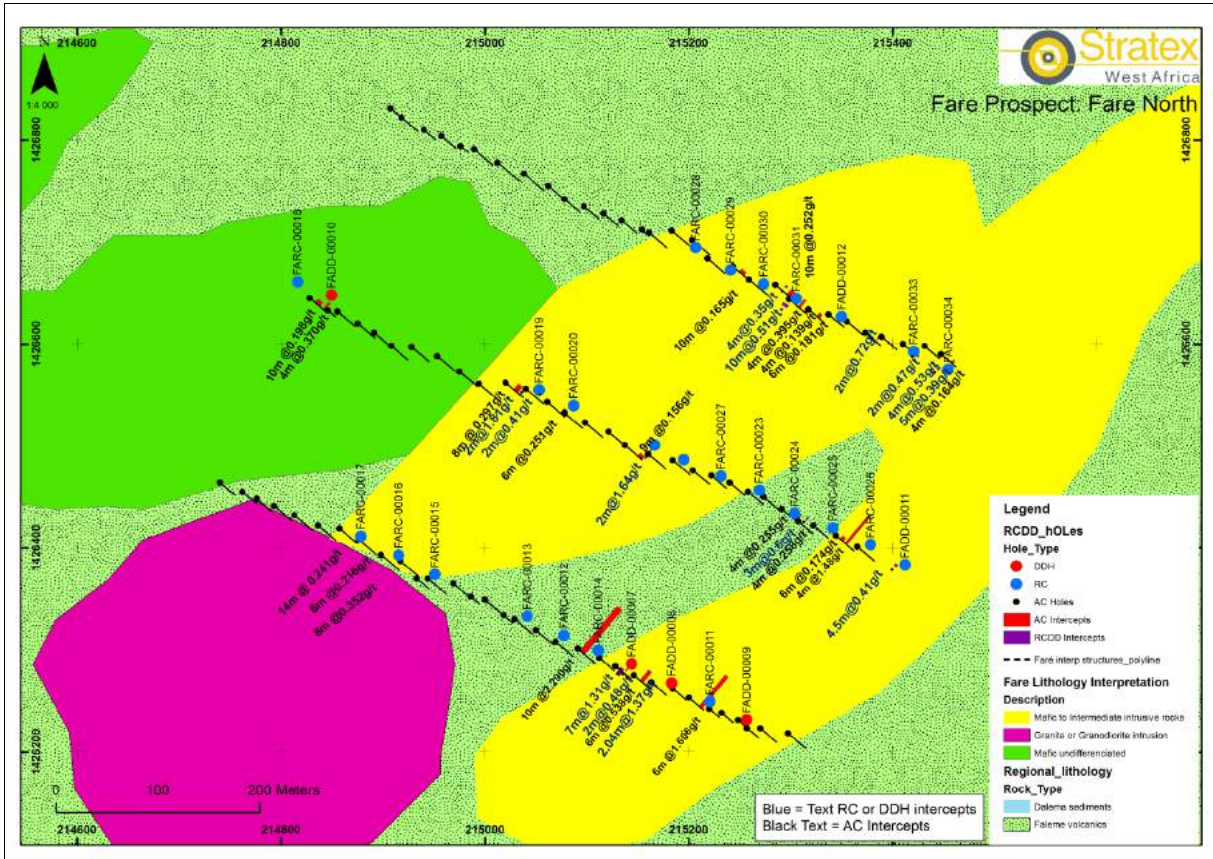


Figure 11 : localisation des trous carottés et leurs intercepts à Faré North.

### 3.8.3 Baytilaye

Cinq forages carottés ont été effectués à Baytilaye pour une longueur totale de 566.2m. Trois lignes où les intersections RAB avaient rencontré des zones sensibles de minéralisation Au ont été testée (**figure 12**). Le premier trou carotté été orienté 120 degrés N et a été étudié de près. Suite à des mesures structurales, l'orientation a été renversée et les quatre trous suivants ont été orientés 300 degrés N.



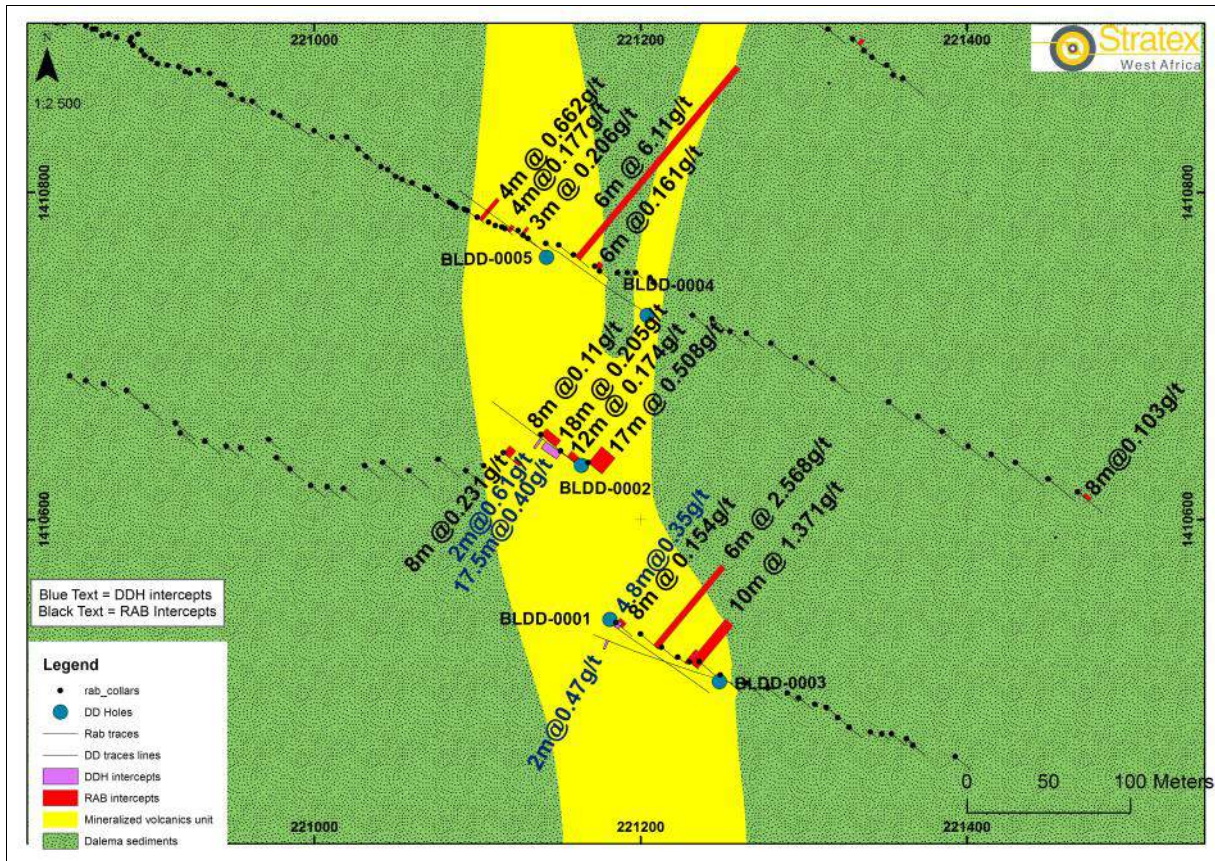


Figure 12 : localisation des trous carottés et leurs interceptes à Baytilaye.

Toutes les carottes ont été coupées en deux et envoyées pour analyse chez Bureau Veritas en Côte d'Ivoire. Les résultats ont été reçus en Janvier 2014. Quelques résultats encourageants à teneurs basses ont été identifiés. Avec une teneur de coupure de 0.3g/t et un "intercept" minimum de 3 m, les meilleures interceptes à Baytilaye sont:

**BLDD-00001: 4.8m@0.35g/t** dès 11.3m: utilisant une teneur de coupure de 0.1g/t cette intercepte se place dans un intervalle de 13.2m de largeur avec une teneur moyenne de 0.2g/t dès 6.6m.

**BLDD-00002: 17.5m@0.40g/t** dès 22.10m : utilisant une teneur de coupure de 0.1g/t cette intercepte se place dans un intervalle de 44.5m de largeur avec une teneur moyenne de 0.3g/t dès 10m.

**BLDD-00003: 2m@0.47g/t** dès 124.3m: ici encore avec une coupure plus basse, cette intercepte s'étend sur 13m de largeur avec une teneur moyenne de 0.21g/t.

La compréhension de la lithologie de Baytilaye est actuellement difficile, mais les descriptions des carottes des cinq trous indiquent que la plupart des roches sont d'origine volcanique avec une matrice vitreuse dans laquelle des indices fines et grossiers de quartz bleuâtres sont plus ou moins évidents dans une roche qui a été désignée comme rhyolite (**figure 13**).

Là où les minerais de plagioclase prédominent, la roche est désignée dacite et là où des cristaux fins ou grossier de feldspath sont mélangés dans une texture phanéritique avec plus ou moins de Ferromagnésiens, les roches sont désignées porphyres feldspathiques ou diorite. Ces unités sont affectées par une silicification intense avec pyrite, arsénopyrite et chalcoppyrite.

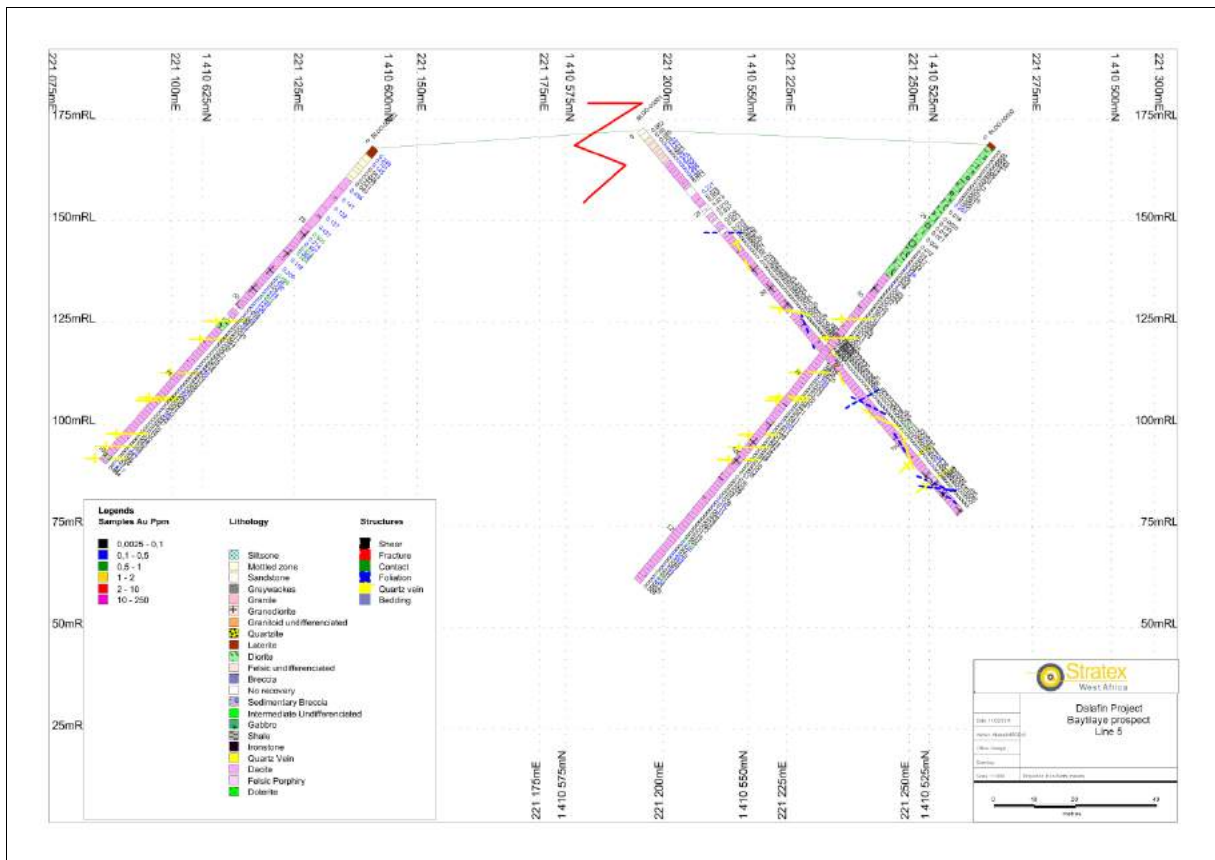


Figure 13 : section en 2D de la ligne 5 de Baytilaye.

### 3.8.4 Saroudia

Quatre trous RC ont été forés à Saroudia pour suivre la minéralisation à teneur basse découverte par les RAB. Une longueur totale de 380m a été forée: trois trous atteignaient 100m de profondeur et le quatrième 80m (**figure14**). Les trous étaient orientés à 300



degrés N et à une inclinaison de 50 degrés de l'horizontal le long des deux lignes RAB précédentes.

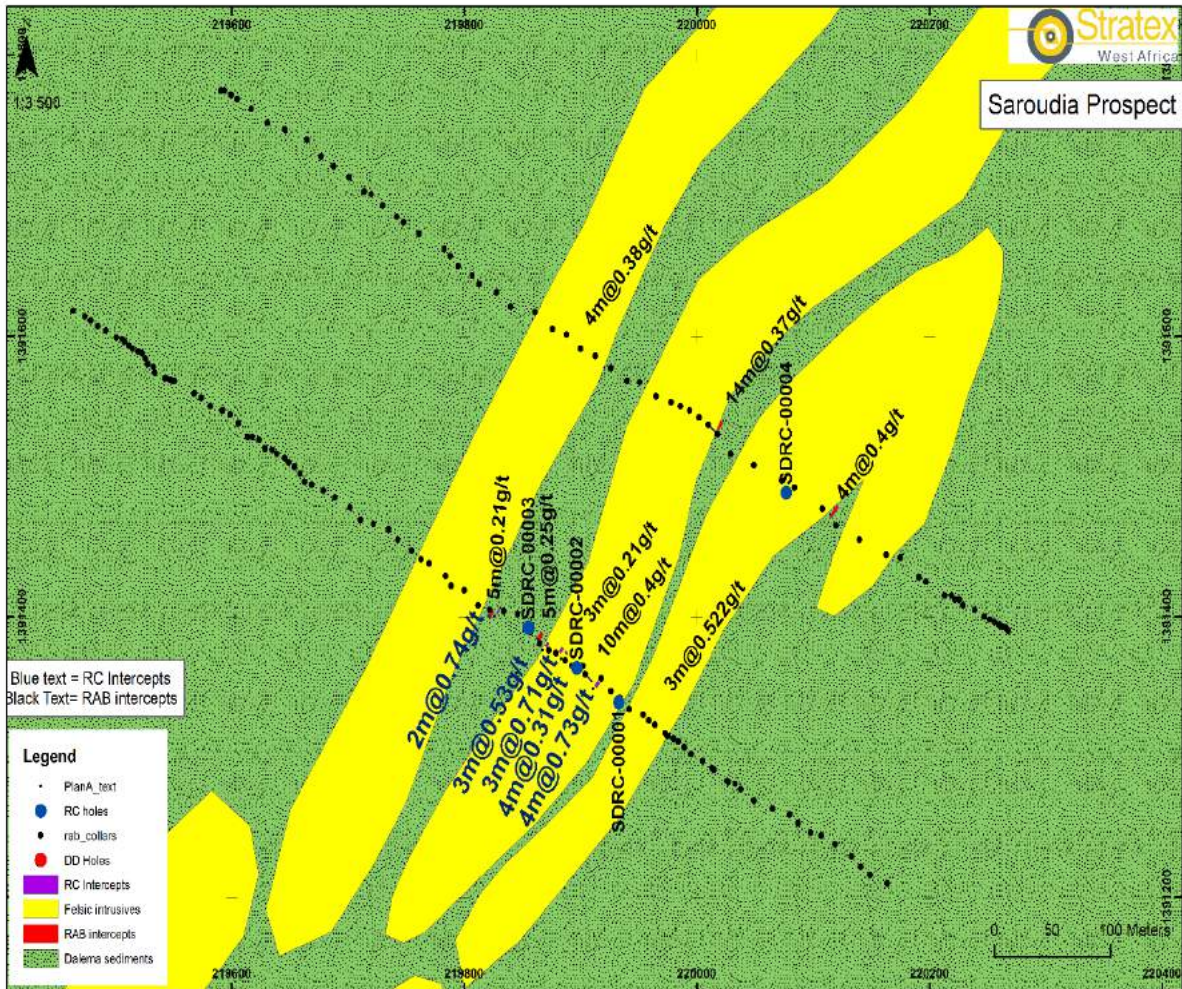


Figure 14 : localisation des trous carottés et leurs intercepts à Saroudia.

Les résultats jusqu'à présent ne sont pas des plus encourageants, ayant rapporté des teneurs basses sur des intervalles courts.

### 2.9 Deuxième phase de Sandage RC et Carottes

Au courant de l'année 2014 (du 27/03/2014 au 28/05/2014), une importante campagne de forage a été exécutée dans le prospect de Madina Bafe situé à l'extrême sud du permis de Dalafin. En effet 12 trous de sondage carottés ont été forés pour confirmer les zones minéralisées mises en évidence par la campagne précédente de sondages destructifs « RAB ». Parallèlement, un sondage destructif RC a été initié en vue de tester les anomalies révélées par la géochimie de surface et qui jusque-là n'avaient fait l'objet d'une investigation plus poussée.

## 2.9.1 Le sondage carotté

Douze trous de sondage carotté ont été foré à Madina Bafe soit un métrage total 1164m. Les détails de localisation des trous sont présentés sur le **tableau 5** et sur la **figure 15**.

**Tableau 5 : Localisation des trous carottés de Madina bafe**

HoleID	Hole type	RL	AZIMUTH	DIP	TOTDEPTH
MBDD-001	DDH	200.869	130	50	100
MBDD-002	DDH	203.213	130	50	100
MBDD-003	DDH	210.147	130	50	100
MBDD-004	DDH	206.392	130	50	100.8
MBDD-005	DDH	202.074	130	50	100.5
MBDD-006	DDH	199.715	130	50	100
MBDD-007	DDH	206.183	130	50	101
MBDD-008	DDH	196.653	130	50	109
MBDD-009	DDH	186.693	90	50	103
MBDD-010	DDH	188.72	90	50	100
MBDD-011	DDH	183.747	90	50	99.5
MBDD-012	DDH	206.429	90	50	51

Les carottes sont coupées échantillonnées puis envoyés au laboratoire pour analyse. Les résultats obtenues ont montré une minéralisation significative au sud-est du prospect avec le trou MBDD-002 qui a retourné **9.6 m à 16.08g/t**. les meilleures résultats sont consignés sur le **tableau 6**.

**Tableau 6: les meilleures interceptions du sondage carotté de Madina Bafe**

HoleID	From	To	Total meterage	Average g/t	Intercept
MBDD-001	13.40	14.91	1.50	0.50	1.5m@0.5g/t
MBDD-001	76.90	78.4	1.50	0.54	1.5m@0.53g/t
MBDD-002	7.60	9.6	2.00	1.21	2m@1.21g/t
MBDD-002	15.10	24.7	9.60	16.08	9.6m@16.08g/t
MBDD-002	27.90	29.6	1.70	0.30	1.7m@0.3g/t
MBDD-002	34.60	36.1	1.50	2.84	1.5m@2.84g/t
MBDD-004	82.80	83.8	1.00	0.34	1m@0.34g/t
MBDD-006	7.50	9	1.50	0.38	1.5m@0.38g/t
MBDD-006	48.00	52.5	4.50	0.26	4.5m@0.26
MBDD-007	43.50	45	1.50	0.53	1.5m@0.53g/t
MBDD-007	63.70	67.5	3.80	1.42	3.8m@1.42g/t
MBDD-008	18.00	19.5	1.50	0.48	1.5m@0.48g/t
MBDD-009	89.00	90.5	1.50	0.34	1.5m@0.34g/t
MBDD-010	42.00	43.5	1.50	0.46	1.5m@0.46g/t

A Madina Bafe, la minéralisation est portée par de veines de quartz à tourmaline riche en sulfures. Ces veines sont retrouvées au sein des granodiorites ou dans des meta-sédiments à granulométrie fine allant des argiles au siltites.



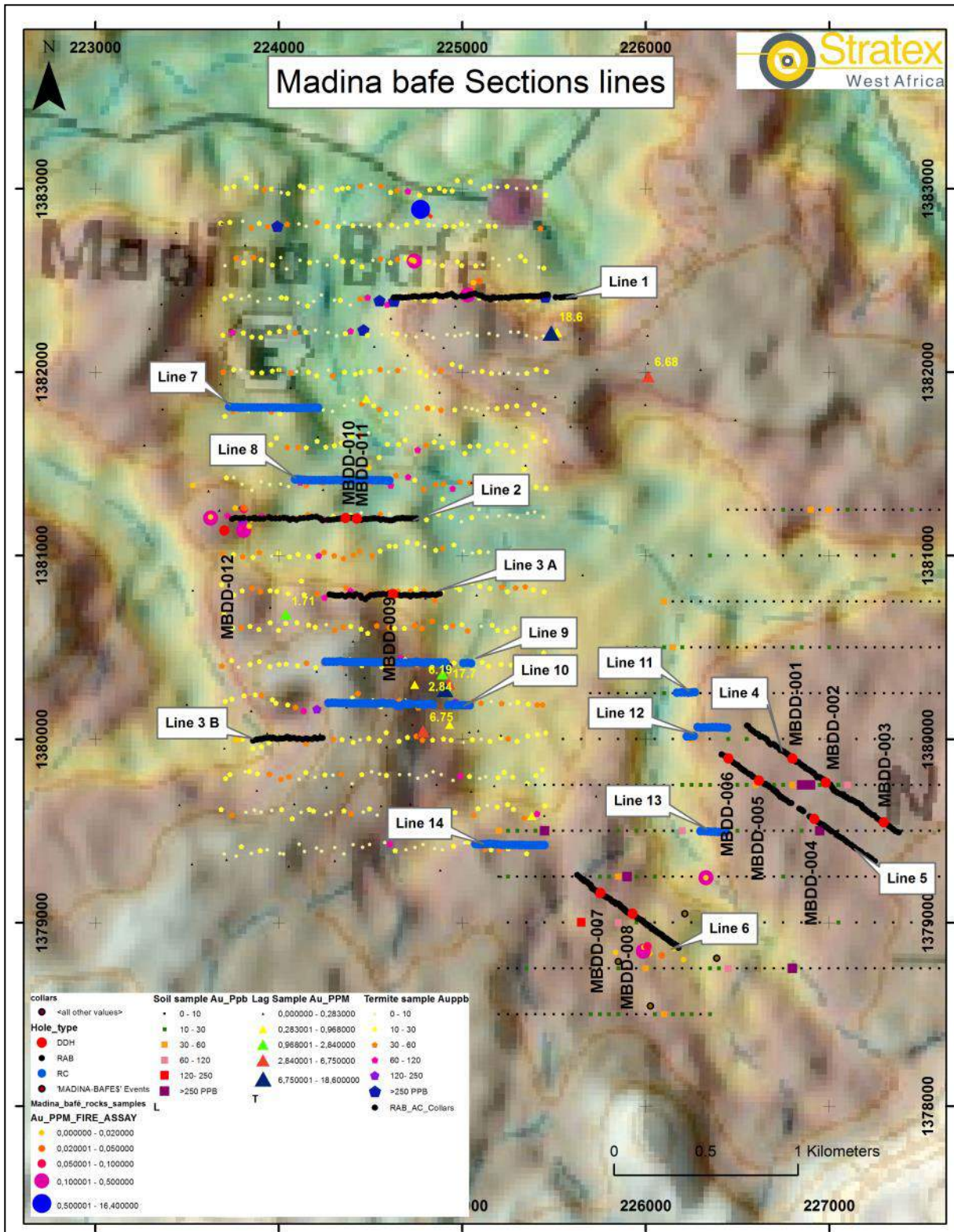


Figure 15: Carte de localisation des forages de Madina Bafe

## 2.9.2 Madina Bafe RC

8 lignes de sondage RC soit 6755m de avec des trous de profondeur moyenne de 40m ont été réalisé a Madina baffé durant la campagne. L’objectif était de suivre les anomalies révélées par la géochimie de surface en vue de définir de nouvelles cibles pour des investigations plus approfondies. L’échantillonnage a été effectué par quartage pour l’obtention d’échantillons homogènes et représentatifs. Au total 7299 échantillons QAQC inclus ont été expédiés au laboratoire. Dès l’obtention des résultats, les interceptions sont calculées en se basant sur une coupure de 0.3 ppm. Il ressort que les meilleures teneurs sont obtenues sur la ligne 10 avec MBRC-117 qui a retourné 15m à 6.10g/t 9 (**tableau 7, figure 16 et 17**).

L’étude lithologique des « cuttings » a montré que les facies sont essentiellement constitués de granodiorites et de metasediments formés essentiellement de « siltstones » de tufs et de shale. Ici, la minéralisation est portée par une roche felsique silicifiée avec des veinules de quartz.

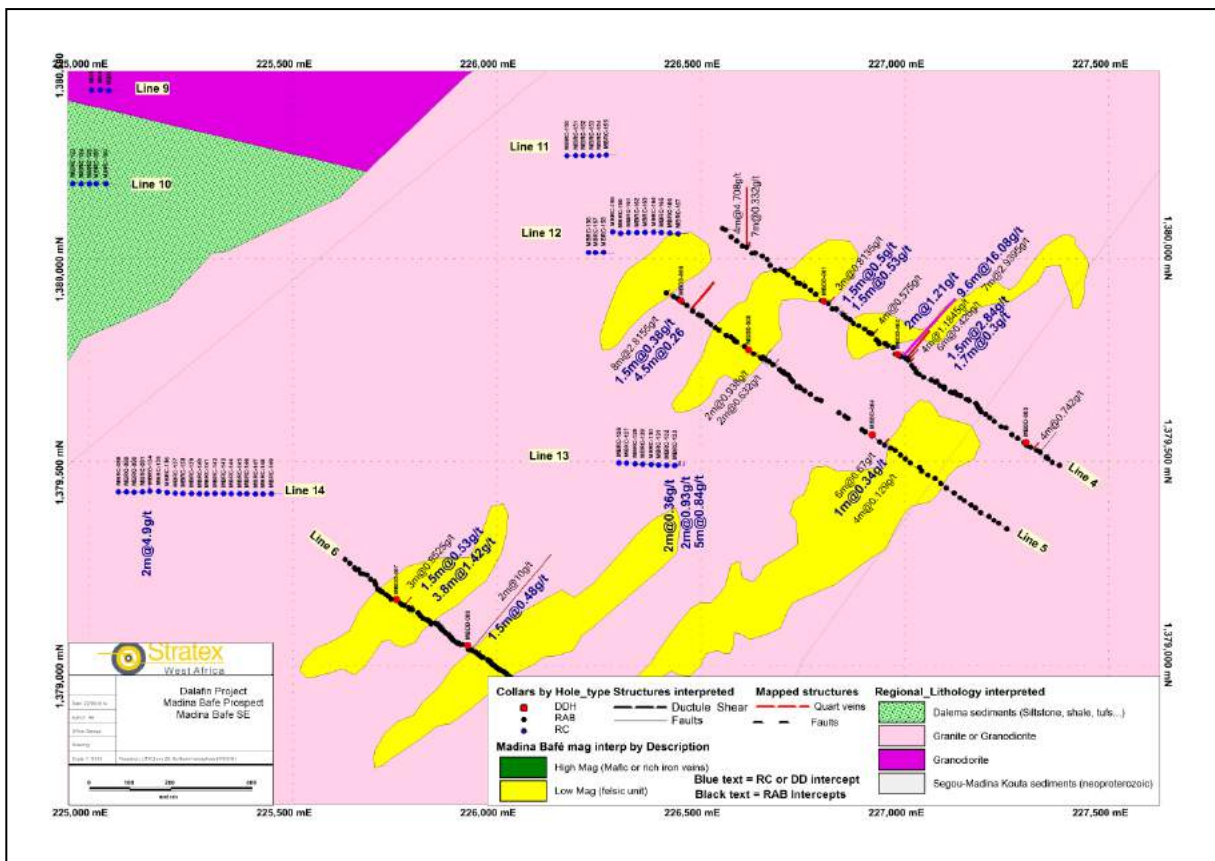


Figure 16: Carte montrant la localisation des trous avec interceptions a Madina Bafe SE



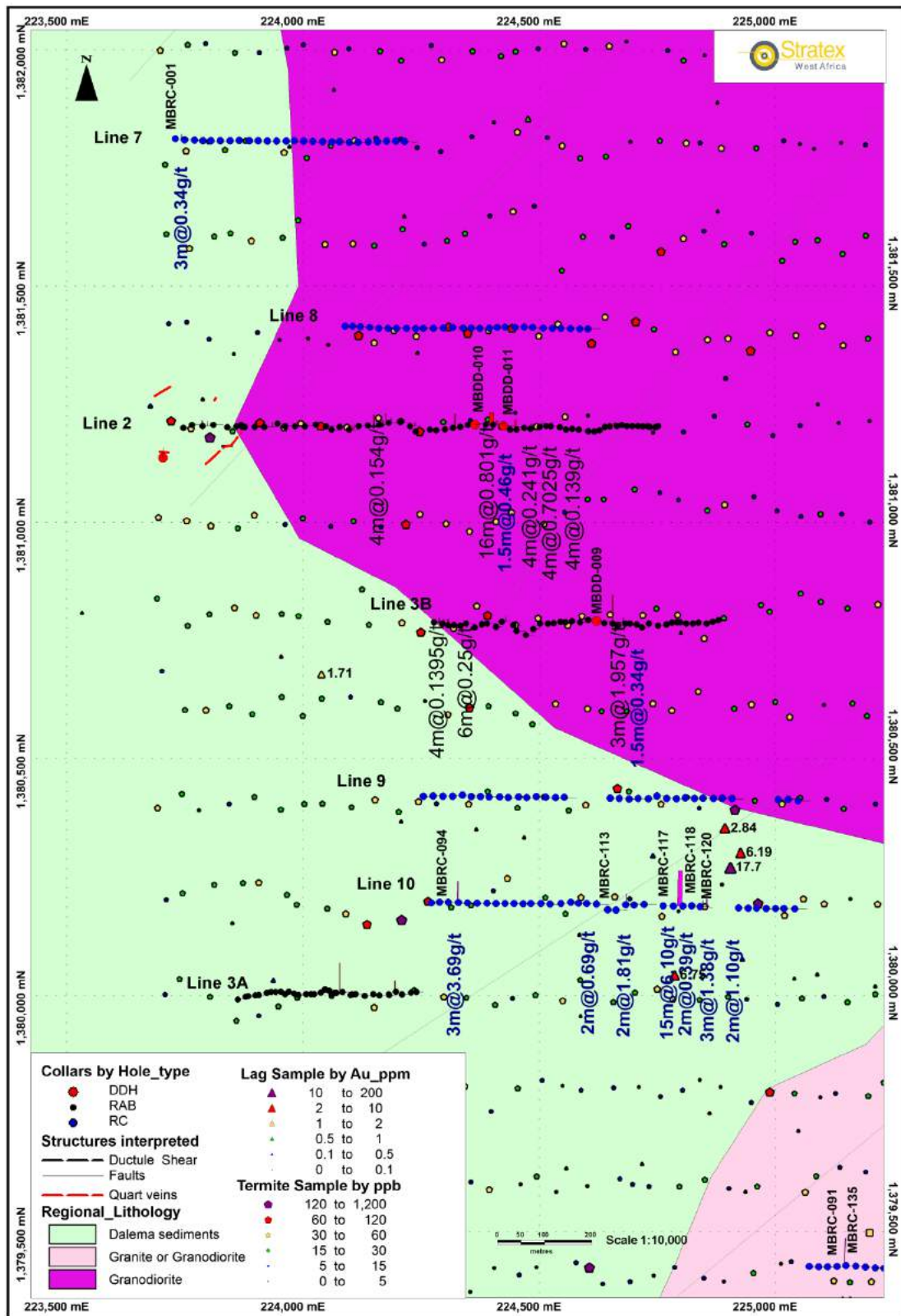


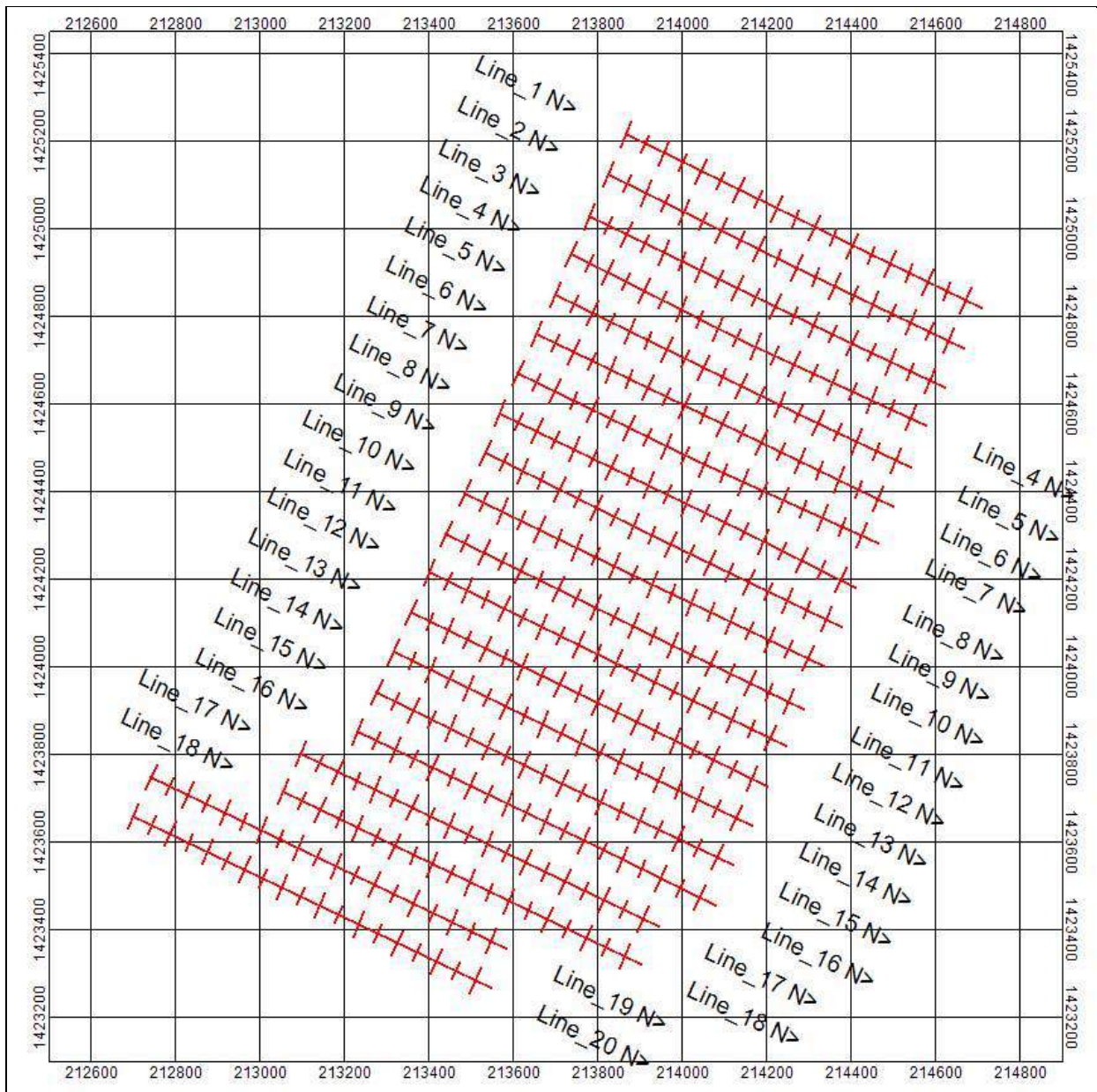
Figure 17: Carte montrant la localisation des trous avec les interceptions a Madina bafe W

**Tableau 7 : les interceptions de Madina Bafe RC**

HoleID	From	To	Total meterage	Average g/t	Intercept
MBRC-001	20.00	23	3.00	0.34	3m@0.34g/t
MBRC-091	22.00	24	2.00	4.90	2m@4.9g/t
MBRC-094	29.00	32	3.00	3.69	3m@3.69g/t
MBRC-109	30.00	32	2.00	0.69	2m@0.69g/t
MBRC-113	2.00	4	2.00	1.81	2m@1.81g/t
MBRC-117	14.00	29	15.00	6.10	15m@6.10g/t
MBRC-118	28.00	30	2.00	0.39	2m@0.39g/t
MBRC-120	7.00	9	2.00	1.10	2m@1.10
MBRC-120	19.00	22	3.00	1.38	3m@1.38g/t
MBRC-133	13.00	15	2.00	0.36	2m@0.36g/t
MBRC-133	19.00	22	3.00	0.93	2m@0.93g/t
MBRC-133	32.00	37	5.00	0.84	5m@0.84g/t

### 3.9 La géophysique au sol

Un programme de géophysique sol consistant à mesurer la chargeabilité et la résistivité en vue de définir respectivement la distribution des sulfures et des structures dans la zone a été exécuté sur le prospect de Fare sud. La méthode utilisée est le pole-dipôle amélioré (« HIRIP »). Cette technique fournit des sections de résistivité fidèle à une profondeur d'environ 200 m (avec électrode a = espacement de 20 m et une longueur de profil de 940m (**figure 18**)). La configuration pôle-dipôle est très sensible aux variations de résistivité latérales et des structures sub-verticales. La pertinence de cette configuration a fait ses preuves dans les conditions de terrain extrêmes de l'Afrique.



**Figure 18 : Carte montrant les lignes de levés de la géophysique sol**

Le traitement des données a été fait avec le logiciel 2D ZondRes2D. Pour la présentation finale, les sections traitées HIRIP et les données GPS (UTM WGS84 données dans la zone 29N coordonnées) ont été importées dans le système Geosoft Oasis. Pour le maillage des sections de résistivité et chargeabilité, la méthode « minimum curvature » avec une taille de cellule de 10 m a été utilisée. Toutes les sections modèle résistivité et chargeabilité utilisent la même échelle de couleur.



Les sections de chargeabilité HIRIP montrent des anomalies de chargeabilité clairement définies. Les anomalies de chargeabilité marquées sur les sections sont géophysiquement interprétées et celles significatives ( $> 6,43$  mV / V) sont étiquetées. La résistivité a permis de définir différentes structures interprétées comme étant des zones de cisaillement (**figure 19**).

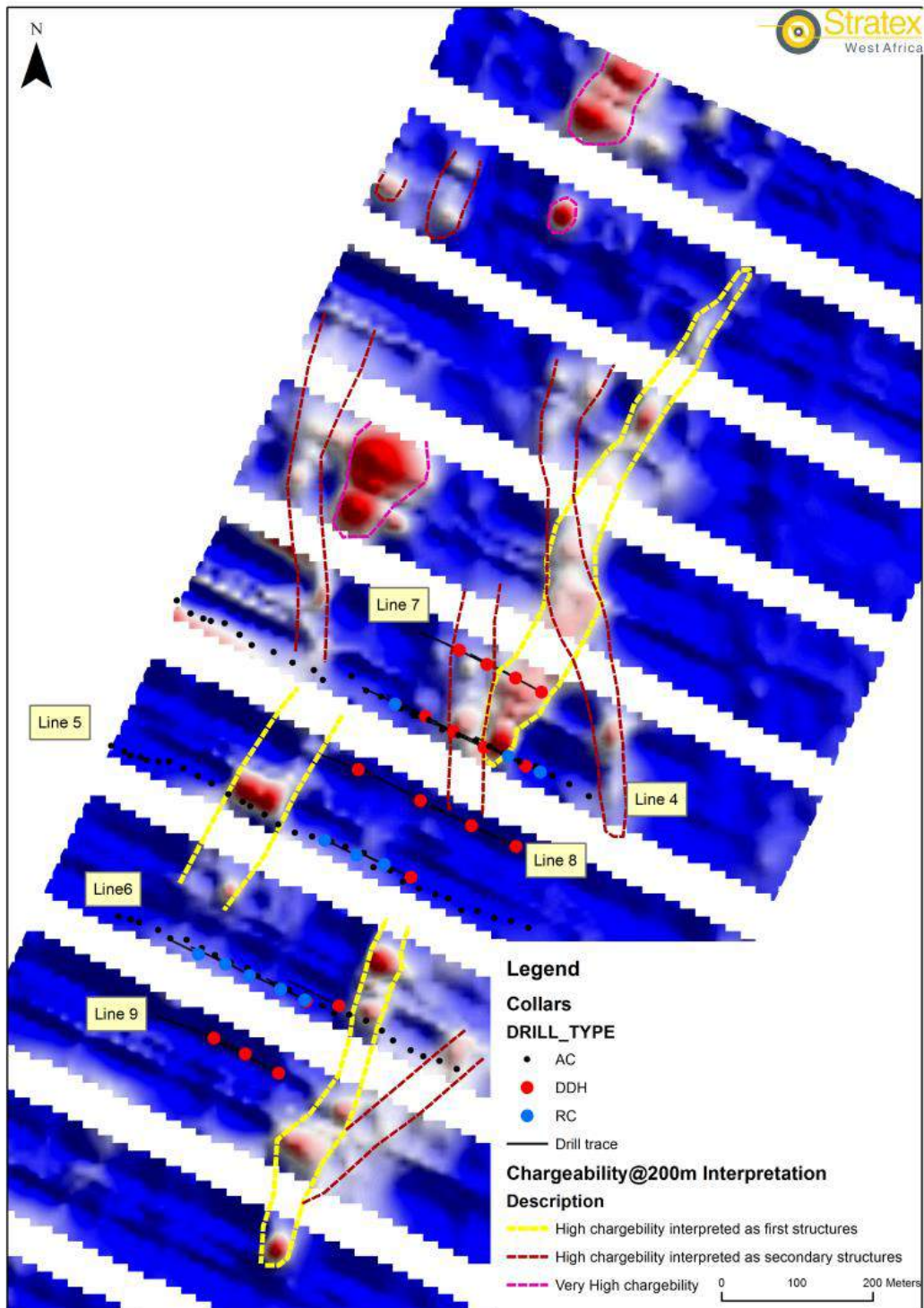


Figure 19 : l'interprétation de la chargeabilité a 200m d'élévation



### 2.10 3<sup>e</sup> phase de forage RC et carotté

Les précédentes campagnes de forages avaient révélés une zone de minéralisation à Faré sud. Cette minéralisation était recoupée sur deux lignes distantes de 400m au niveau des horizons supérieurs (Saprolite). Ainsi, il était difficile voire impossible de déterminer les évènements géologiques ayant conduit à la précipitation de l'or dans la zone. Pour lever cette difficulté et définir les extensions de la zone minéralisée, des forages supplémentaires ont été réalisés entre début juin 2014 et fin décembre 2014. Un total 3308 m de forages carottés et 3571m de RC ont été forés à Faré sud (**tableau 8 figure 20**).

**Tableau 8 : Tableau récapitulatif des trous de forage de Faré**

Sondage	FARE		Periode		Commentaire
	Trous(N°)	Metres(m)	Du	Au	
DDH	16	3308	22/02/2014	09/12/2014	Avec deux trous RCDD pour un total:534m
RC	44	3571	15/11 2014	18/12/2014	
<b>TOTAL</b>	<b>60</b>	<b>6879</b>			

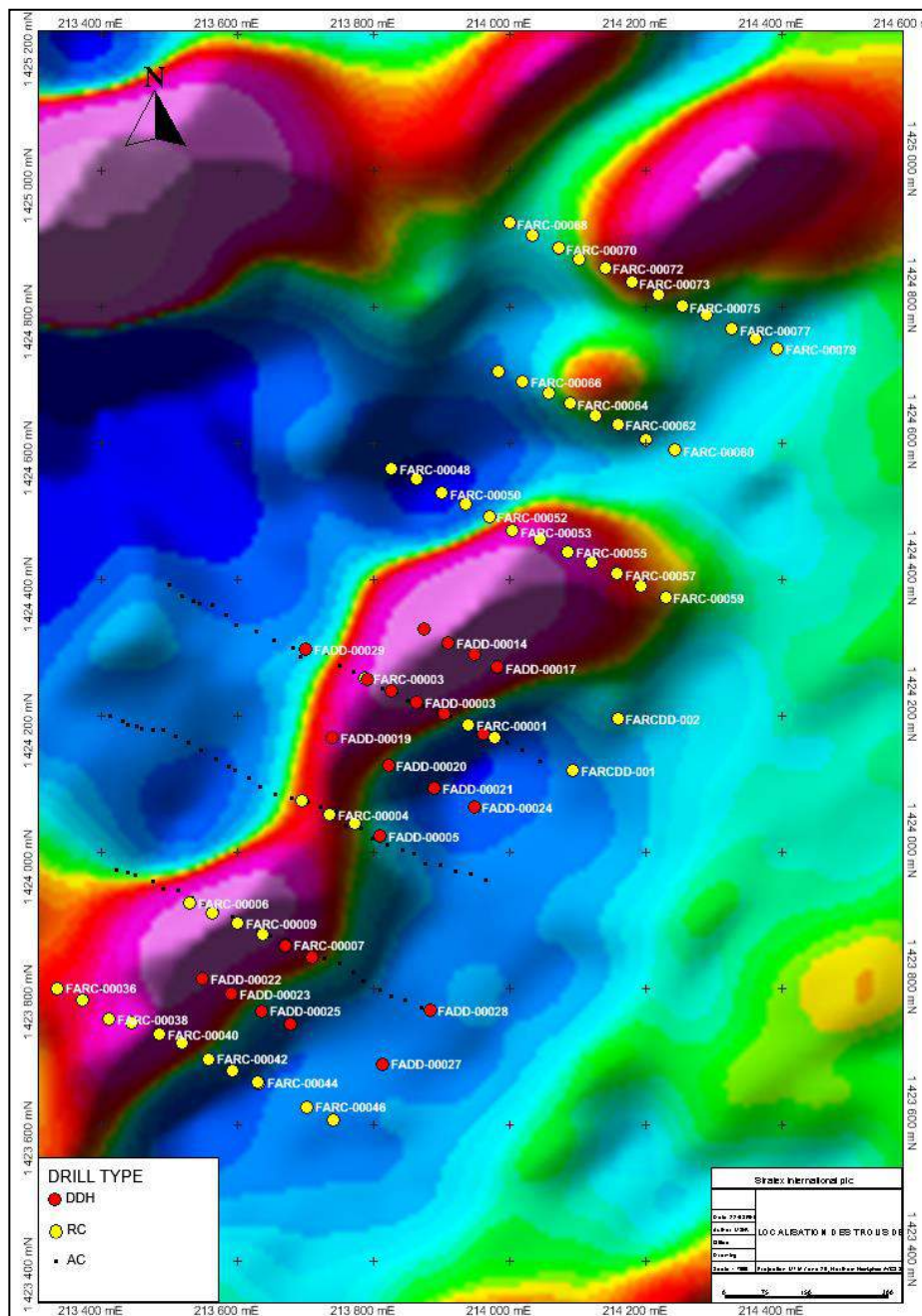


Figure 20 : Localisation des trous forés à Faré sud

Les carottes sont coupées, échantillonnées puis les échantillons sont expédiés au laboratoire pour analyse selon la méthode « Fire assay ». Les résultats obtenus montrent une extension intéressante de la minéralisation vers le sud (**figure 21**). Le **tableau 9** récapitule les meilleurs résultats obtenus sur cette campagne à Faré sud.

**Tableau 9 : Tableau récapitulatif des meilleures interceptions a Faré Sud**

HoleID	From	To	Interval (m)	Average g/t	Intercept
FADD-00014	23.2	27.7	4.5	0.92	4.5m@0.92g/t
FADD-00014	32.2	33.7	1.5	0.48	1.5m@0.48g/t
FADD-00016	78.1	80.1	2	1.76	2m@1.76g/t
FADD-00016	129.1	130.1	1	15.99	1m@15.99g/t
FADD-00016	134.1	136.1	2	0.82	2m@0.82g/t
FADD-00016	141.1	144.1	3	1.18	2m@1.18g/t
FADD-00016	170.1	175.25	5.15	2.92	5.15m@2.92g/t
FADD-00016	191.1	202.1	11	4.31	11m@4.31g/t
FADD-00016	217.1	219.1	2	1.95	2m@1.95g/t
FADD-00020	23.5	37	13.5	1.02	13.5m@1.02g/t
FADD-00020	44	46	2	1.22	2m@1.22g/t
FADD-00021	93.4	112.9	19.5	1.08	19.5m@1.08g/t
FADD-00021	139.87	142.14	2.27	0.75	2.27m@0.75g/t
FADD-00021	146.32	150.6	4.28	1.02	4.28m@1.02g/t
FADD-00022	136.3	141.28	4.98	0.61	4.98m@0.61g/t
FADD-00023	6	29.5	23.5	1.61	23.5m@1.41g/t
FADD-00024	234	242.5	8.5	0.74	8.5m@0.74g/t
FADD-00025	18	30	12	7.09	12m@7.09g/t
FADD-00026	57,1	60,7	3,6	0,67	3.6@0.66g/t
FADD-00026	63,7	68,5	4,8	1,07	4.8@1.06g/t
FADD-00026	140,5	145	4,5	0,62	4.5@0.61g/t
FADD-00029	252	253	1	1,64	1m@1.64g/t
FADD-00029	281	283	2	0,65	2m@0.65g/t
FARC-00043	20	26	5	0,33	5m@0.332g/t
FARC-00044	23	26	3	1,04	3m@1.039g/t
FARC-00044	72	77	5	0,78	5m@0.78g/t
FARC-00052	30	32	2	1,26	2@1.26g/t
FARC-00052	37	38	1	0,98	1m@0.98g/t
FARC-00053	29	30	1	1,36	1m@1.36g/t
FARC-00053	42	43	1	4,39	1m@4.39g/t
FARC-00053	50	53	3	0,69	3m@0.69g/t
FARC-00053	70	71	1	1,16	1m@1.16g/t
FARC-00055	33	35	2	0,56	2m@0.56g/t
FARC-00056	69	73	4	0,51	4m@0.51g/t
FARC-00063	30	37	7	0,71	7m@0.70g/t
FARC-00063	43	47	4	0,50	4m@0.5g/t
FARC-00076	14	16	2	0,62	2m@0.62g/t
FARC-00076	59	61	2	1,07	2m@1.07g/t

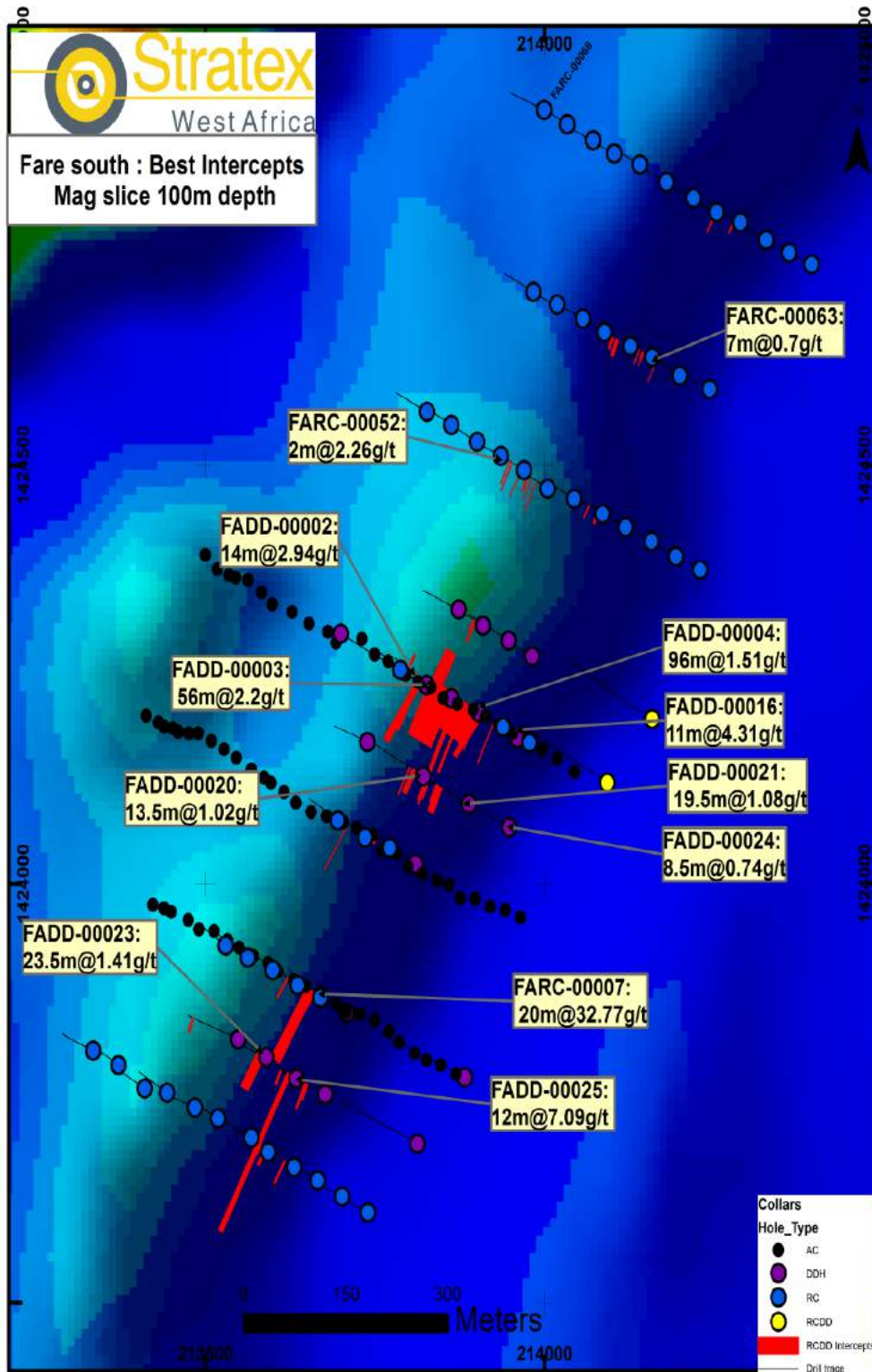


Figure 21: Carte montrant les meilleures interceptions obtenues à Faré sud



L'étude litho-structurale effectuée sur les carottes a démontré que les zones minéralisées correspondent à des zones de cisaillements qui recoupent les unités lithologiques constituées par des roches volcano-sédimentaires recoupées par des intrusions intermédiaires felsiques formées essentiellement de diorites et des porphyres (**figures 22, 23 et 24**). Les zones de cisaillement se caractérisent par la présence de brèches, d'une schistosité apparente ou d'une foliation nette.

- Les volcano-sédiments (**photo 1**)

Plusieurs types de sédiments sont rencontrés dans les trous de forage à Faré Sud. Les plus importants sont ceux décrits comme étant tufs felsiques à carbonate (figure). Ces types de lithologies sont le plus souvent rencontrés au niveau des lignes de forage 8 et 9. Sur les carottes, la roche se caractérise par des lits clairs et sombres qui s'alternent. L'observation d'un spécimen au microscope a montré que la roche est constituée essentiellement de très fins grains clastiques, généralement <0,1 mm de diamètre, qui ont été complètement remplacés par du carbonate, et de l'épidote granulaire en amas. La distribution du carbonate dans la roche et la présence d'épidote suggèrent une carbonatation complète de plagioclases primaires. Les petites reliques d'oxyde de fer colorées observées semblent avoir été de petites paillettes de biotite dispersées partout dans la roche.

Le carbonate inter granulaire clair est légèrement plus grossier que celle ayant remplacé les minéraux d'origine.

Les couches les plus sombres sont difficiles à discerner dans la roche. Cependant, la présence de minuscules grains d'hématite dans les couches les plus sombres suggère, en plus de feldspath d'origine, la présence de constituants mafiques.

Aux endroits où les sédiments sont altérés pour donner un aspect brun rougeâtre ils se composent généralement de fragments de brèches volcaniques et bréchiques.



**Photo 1 : Sédiments fins (Siltstone) :**

- **Les brèches volcaniques (photo 2)**

Dans la zone de saprolite en particulier au niveau de la ligne de forage 4, la différenciation entre les brèches volcaniques et diorite bréchique s'est avérée extrêmement difficile, en particulier en raison de l'aspect très semblable de fragments présents dans chaque faciès. Les brèches volcaniques s'identifient à un faciès polymictique à fragments sub-anguleux dont la taille varie de moins de 1cm à 15 cm. La roche est très mal triée. Des fragments rouge-brun à grains fins sont fréquents et leur angularité augmente généralement avec la taille. Sont également présents de fins fragments sub-arrondi gris de taille <1 a cm et des fragments sub-arrondis a arrondis fins de couleurs noir. Ces derniers sont éventuellement de xénocristaux de biotite. Généralement la matrice est de couleur grise a noirâtre, constituée de sable a grains moyen a grossier. Les espaces intergranulaires sont remplies par de la silice cristalline fine, du carbonate et de sulfures disséminés à grain fin. Au sein de cette lithologie, se rencontrent parfois des enclaves de porphyres altérées, ou de la microdiorite à grains très fins.

Des veinules de biotite large de 1 mm à 2 cm sont communes dans les brèches. Dans certains endroits il y'a des plis ouverts à petite échelle, illustrées par litage. Au niveau des zones de cisaillements les brèches sont bréchifiées ou foliées.



**Photo 2 : Brèches volcaniques**

- **Les porphyres (photo 3)**

Ce sont des roches intermédiaires à felsiques de texture porphyrique. Deux types ont été identifiés :

La première reconnue comme étant une diorite porphyrique. Elle est rencontrée principalement sur la section de forage 4 au niveau FADD-00004 et FADD-00016.



**Photo 3 : La diorite porphyrique**

L'observation d'un spécimen au microscope montre :

Que la roche est constituée d'abondants phénocristaux automorphe à subautomorphe de plagioclase mesurant jusqu'à 3 mm de longueur, qui sont légèrement sericitisées et aussi, dans une moindre mesure, remplacés par de très fins grains de carbonate. Il y'a des petits flocons de biotite verts, en partie remplacés par de la chlorite qui sont inclus dans les feldspaths.



Des enclaves de ce qui semble être une autre variété de roche ignée riche en carbonate, à grain moyen de plagioclase obscurcies par de la chlorite dispersée, de la biotite et une abondance de l'hématite à grain fin qui de façon similaire à la matrice donne une couleur rouge profond à l'échelle macroscopique sont observés. Les enclaves peuvent représenter les reliques de roche encaissante assimilée. La matrice est constituée de cristaux anastomosés de plagioclase xénomorphes avec de la biotite verte dispersée, de chlorite et de phénocristaux d'amphibole de taille allant jusqu'à 1mm. Du carbonate à grain fin et des minéraux accessoires (sphène et apatite) se rencontrent aussi dans la matrice. La diorite porphyrique est recoupée par des veines de carbonate-pyrite qui contiennent aussi de petites quantités de quartz, albite, biotite et chlorite.

Une autre unité porphyrique moins commune a été rencontrée et défini aussi comme étant une diorite après observation au microscope. Elle est interceptée à 77m au niveau du trou FADD-00020. Elle diffère de la première par l'abondance des minéraux mafiques porphyriques.

Il s'agit de phénocristaux de hornblende et de magnétite de taille allant jusqu'à 3mm dans une matrice de feldspath affichant une altération chlorite-épidote.

- La diorite (**photo 4**)

Elle est rencontrée sur toutes les lignes de section de Faré sud. Les contacts entre elle et les autres lithologies sont généralement de contacts intrusifs verticaux, qui sont couramment cisailés ou bréchifiés.



**Photo 4 : Diorite avec magnétite**



Plusieurs types d'altération ont été observés. Les plus communes sont le carbonate, la silice et les feldspaths. Ces altérations peuvent se retrouver sous forme de veines ou envahissantes dans la roches. Au niveau des zones minéralisées, ce sont surtout la silice et le carbonate qui se retrouvent associées a de la pyrite disséminée et parfois a de la magnétite ou la tourmaline.

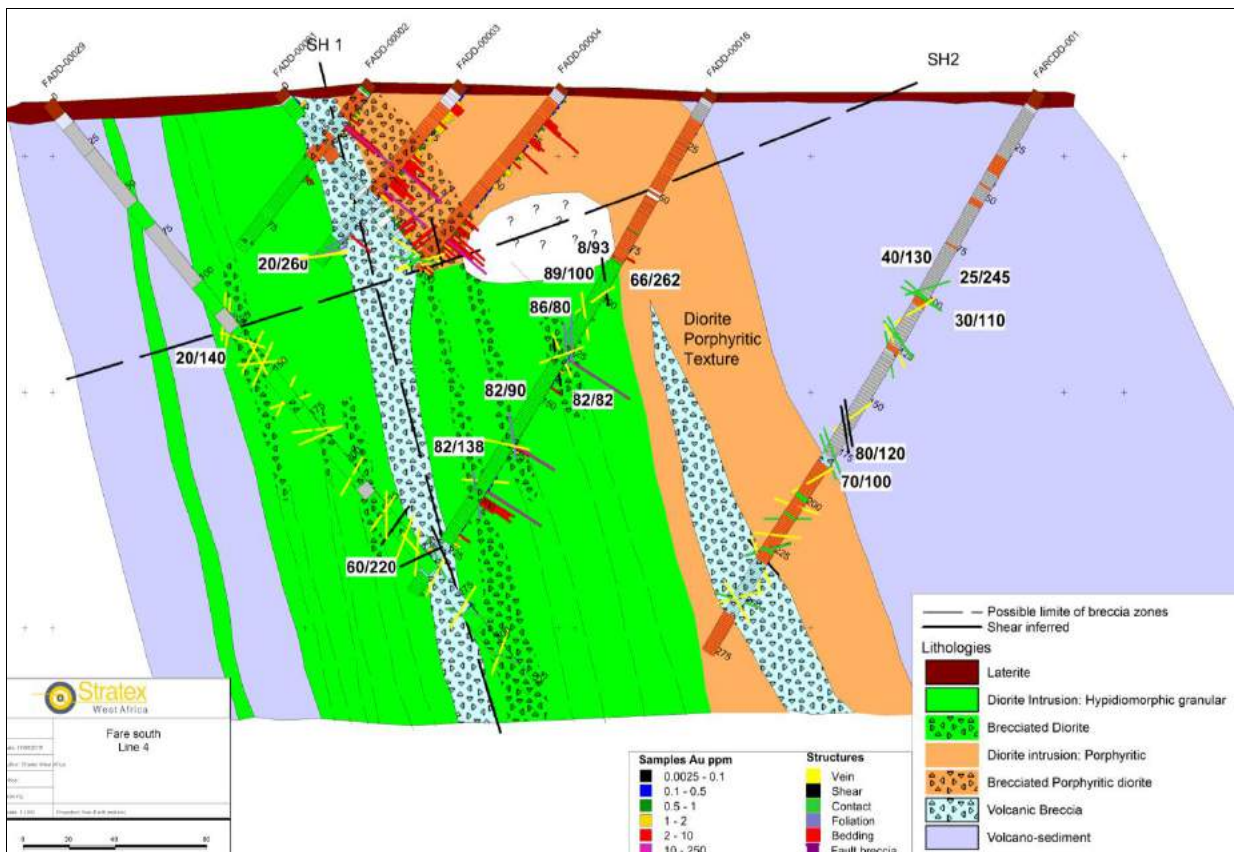


Figure 22 : Section model de la ligne de forage 4 de Fare sud.

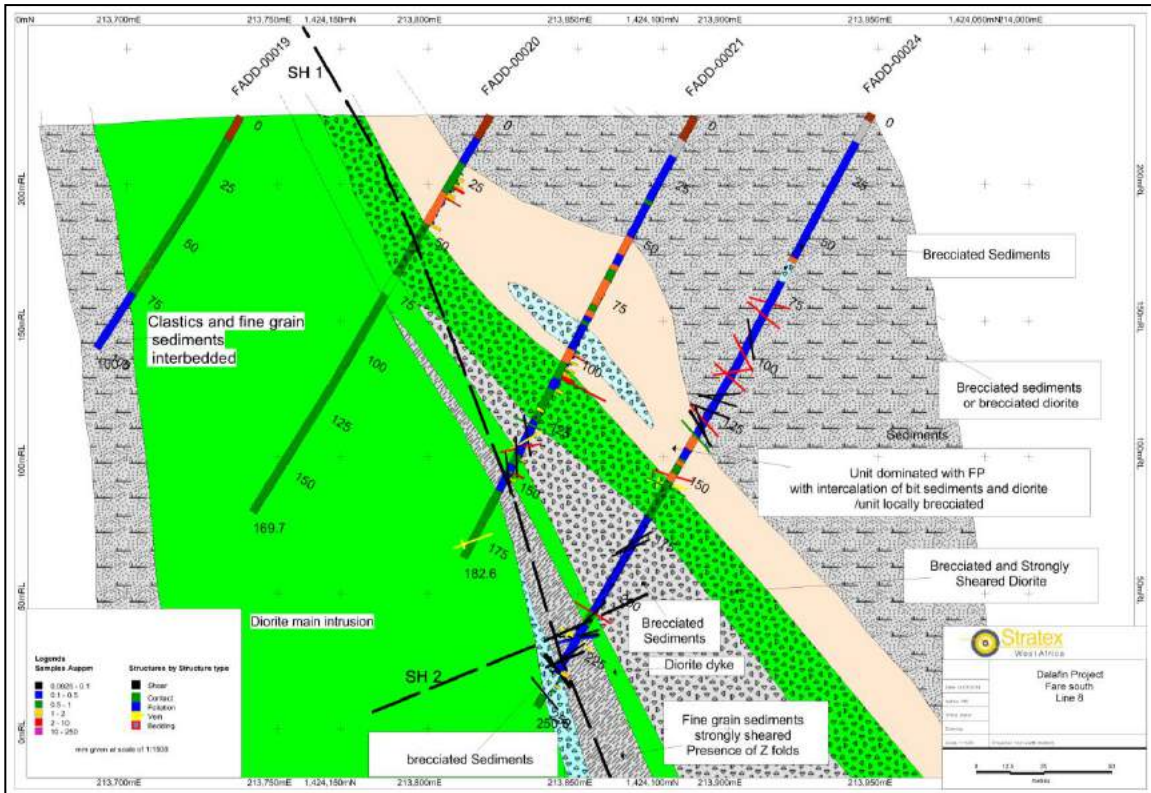


Figure 23 : Section model de la ligne 8 de Fare sud

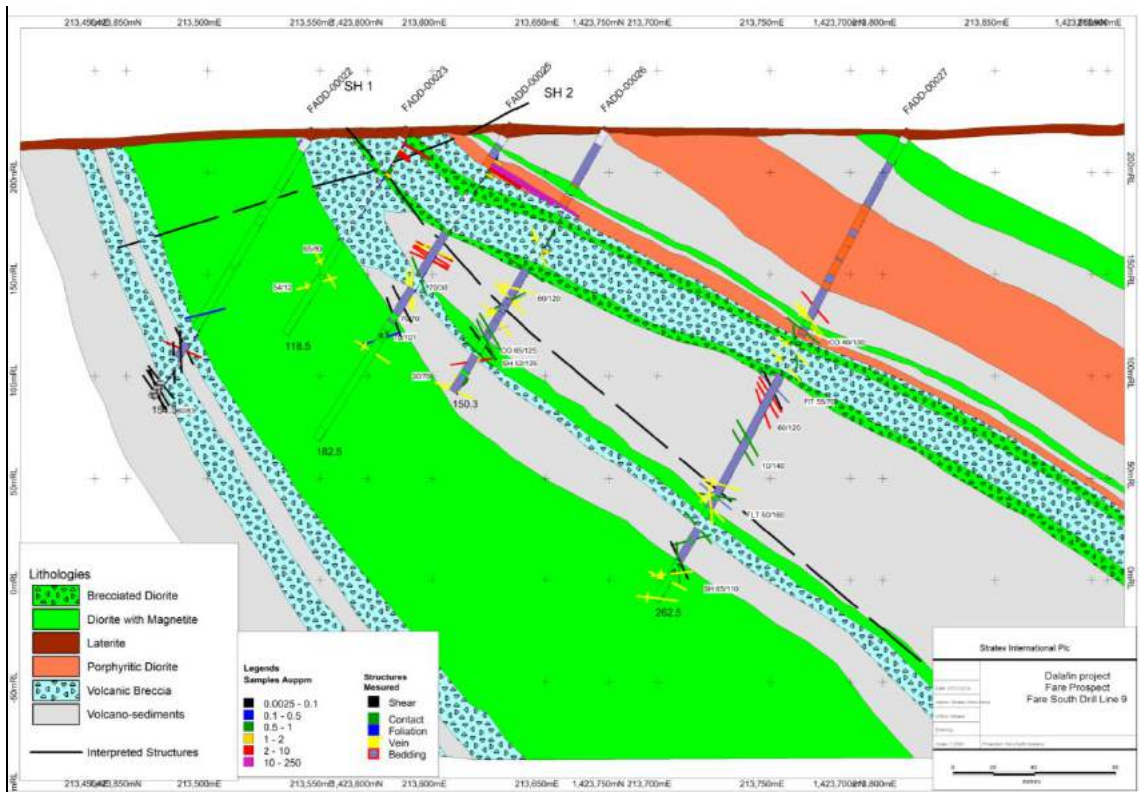


Figure 24 : Section model de la ligne 9 de Fare sud

## 4 Les travaux réalisés en 2015

### 3.1 Madina Bafe

#### 3.1.1 Cartographie litho-structurale et échantillonnage Rock et « lag »

Une cartographie litho-structurale a été réalisée au début de l'année 2015 sur deux cibles (Madina Bafe SE et Madina bafe West) dans le prospect de Madina bafe avec pour objectif de suivre l'extension horizontale des veines de quartz-tourmaline interceptées par les forages précédemment réalisés. Parallèlement, un échantillonnage d'affleurements et « lag » (débris de quartz) a été conduit pour aider à mieux comprendre l'origine et la structure de la minéralisation.

Il ressort que Madina bafe SE est dominé sur le plan régolithe par des alluvions et de colluvions qui représentent environ 53.5% de la superficie couverte. Des plateaux formés de cuirasses latéritiques très épais (en moyenne 6m d'épaisseur) occupent le reste de la zone. Les unités géologiques rencontrées très souvent en régime érosionnel sont essentiellement de granites de granodiorites. Des volcano-sédiments constitués de siltstones et de shales sont aussi rencontrés. Une importante quantité de débris de quartz-tourmalines est observée dans les partie NE et SW de la zone (**figure 25**). Ils semblent provenir du démentiellement d'une ou plusieurs veines parallèles de direction NE-SW.



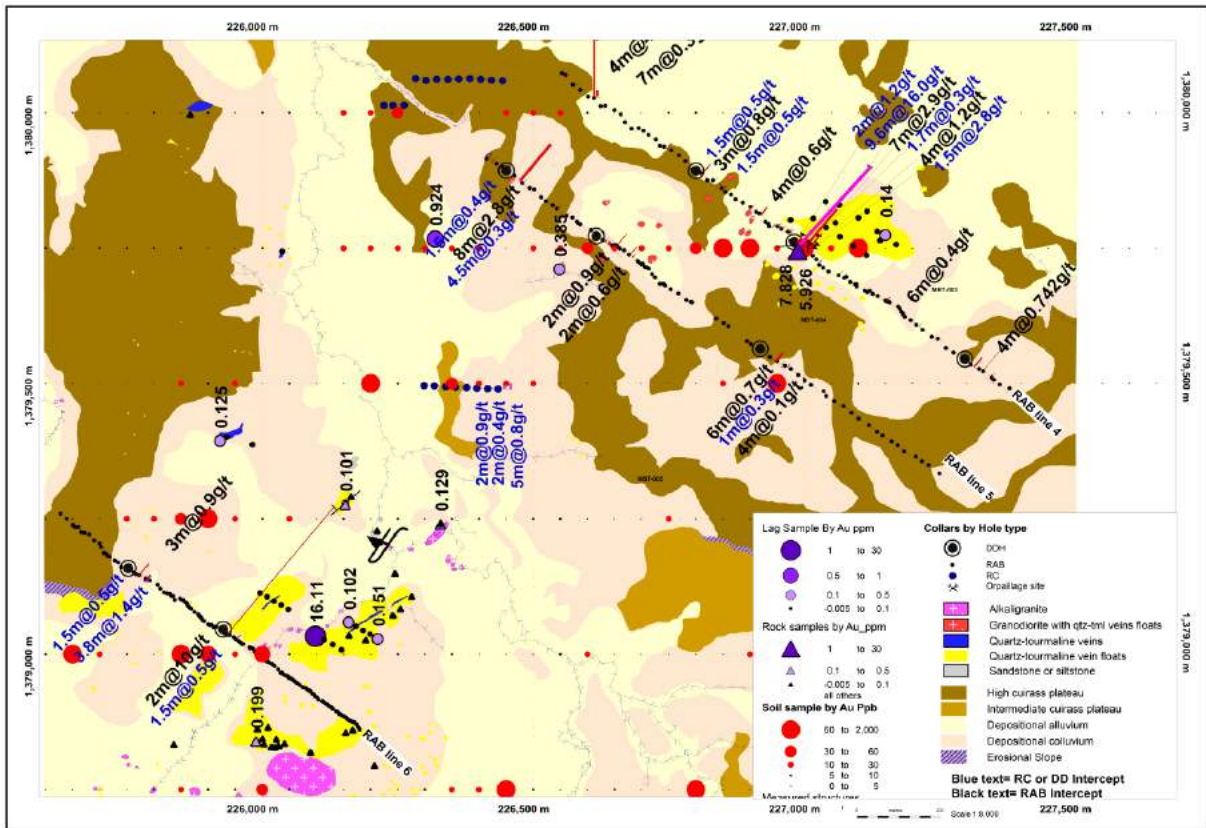


Figure 25 : Carte montrant la régolithe et les échantillons rock et « lag » et leurs résultats dans la zone de Madina Bafe SE

A Madina Bafe West, de très hauts plateaux latéritiques dominent les terrains suivis par des colluvions qui occupent les pieds de collines et des alluvions qui recouvrent les plaines alluviales. Environ 1% de la zone est représentée par des affleurements en régime érosionnel. Il s'agit principalement de granites et de granodiorites et dans une moindre mesure de volcano-sédiments (figure 26). Les terrasses alluviales sont sujettes d'une importante activité d'orpillage ou la population villageoise extrait de l'or par sédimentation.



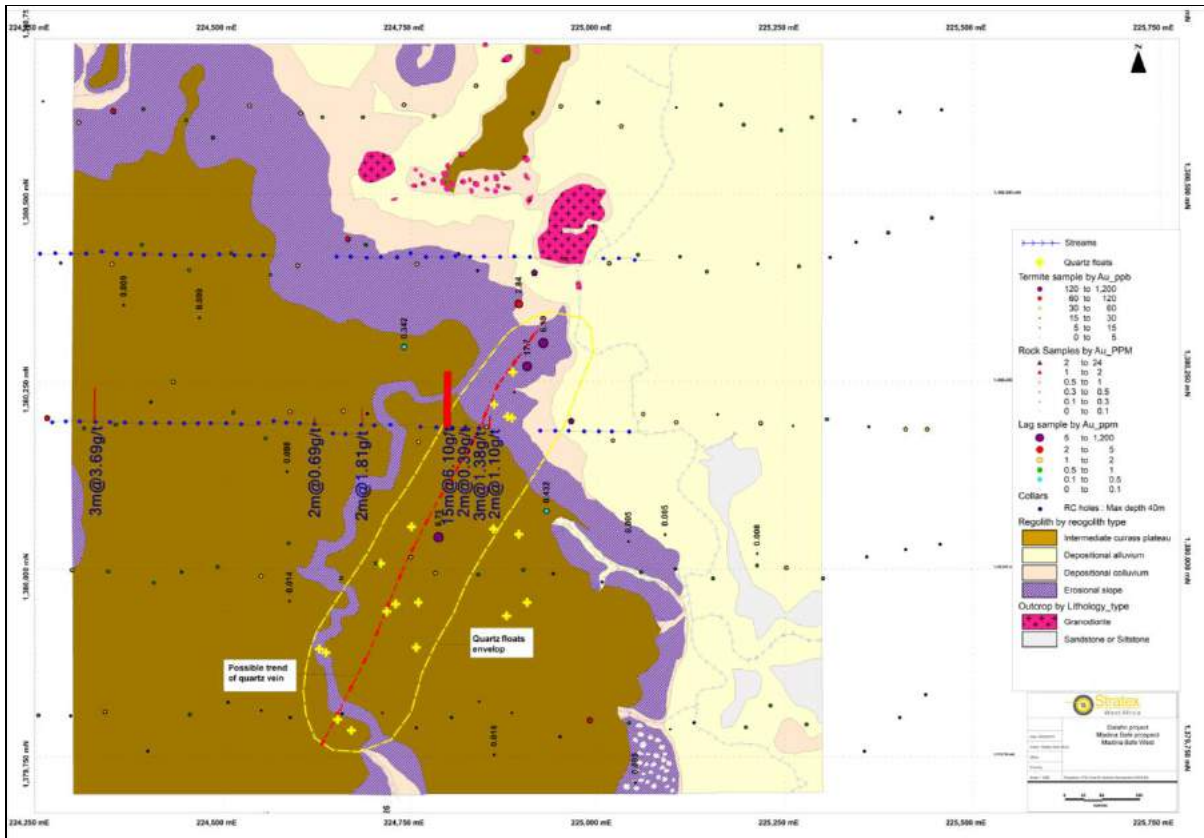


Figure 26 : Carte montrant la régolithe de la zone de Madina Bafe W

Au total 16 échantillons « rock » et 38 échantillons « lag » ont été prélevés essentiellement sur des veines et de débris de veines et sont analysés selon la méthode « fire-assay » au laboratoire bureau Veritas Abidjan. Les résultats ont montrés de fortes teneurs en or dans les veines de quartz au NE et SW de la cible de Madina Bafe SE (**figure 25**).

### 3.1.2 Les tranchées

Un programme de tranchée a été exécuté dans le prospect de Madina Bafe dans ses parties sud-est et ouest avec comme objectif d'exposer les facies sous-jacentes à la régolithe épaisse précédemment cartographiée afin d'en déterminer l'attitude des structures minéralisées les traversant pour une meilleure planification ultérieure des sondages. Ainsi, 4 tranchées totalisant 1050m de longueur ont été excavées a Madina bafe SE. A Madina bafe West, 3 tranchées étaient initialement planifiées, cependant, avec l'hivernage qui commençait et les pannes récurrentes de l'excavateur, une seule longue de 101m a pu être réalisée.

### 3.1.2.1 Madina Bafe South SE

- **Description des travaux réalisés**

Dans cette partie du prospect, 4 tranchées de longueurs variables, orientées N 130 sont réalisées. Elles recoupent une ligne de base longue 1.2 km et sont réparties à des intervalles irréguliers. L'échantillonnage s'est fait d'une part en effectuant un rainurage horizontal sur des intervalles de 1m ou 2m selon les caractéristiques de la roche (présence d'altération et de ou de veines), et d'autre part en prélevant de façon sélective du matériau sur les veines de quartz. Ainsi deux type d'échantillons sont obtenus : les échantillons horizontaux (« channel samples ») et les échantillons sélectifs. L'objectif du second échantillonnage est de déterminer la nature et la structure du réseau de veines minéralisées. Au niveau de la tranchée MBT-006, en raison de la présence d'un granite massif, certaines parties n'ont pas fait l'objet d'un échantillonnage. Au total 649 échantillons ont été prélevés et sont analysés au laboratoire Bureau Veritas selon la méthode « fire assay » avec limite de détection de 5ppb. Le **tableau 10** donne la localisation des tranchées et le nombre d'échantillons prélevés sur chacune d'elles. Le calcul des intercepts s'est basé uniquement sur les résultats des échantillons horizontaux en utilisant une coupure de 0.1g/t avec dilution de 1m ou 2 selon l'intervalle d'échantillonnage utilisé.

**Tableau 10** : Récapitulatif des tranchées de Madina Bafe SE

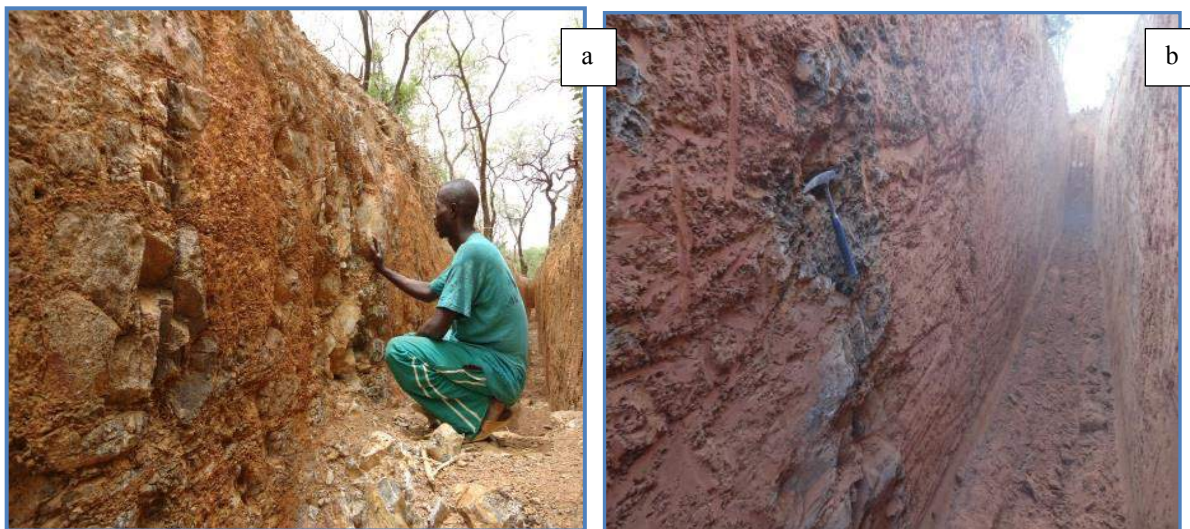
Trench ID	UTM_E	UTM_N	UTM_RL	Azimut	longueur	Nombre d'échantillons	Commentaires
MBT-003	227198	1379700	176	130	235	208	Échantillonnée à intervalles réguliers d'1m
MBT-004	226817	1379756	170	130	214	116	Échantillonnée à intervalles réguliers de 2m
MBT-005	226417	1379550	194	130	323	220	Échantillonnée à intervalles d'1m ou de 2m
MBT-006	225951	1379160	173	130	280	105	Pas totalement échantillonnée en raison de la présence du granite

Un levé géologique complet a été effectué pour chaque tranchée. La section suivante décrira la géologie de chacune d'elle et les résultats obtenus.

- **Résultats obtenus et discussions**

- **MBT-003**

Dans cette tranchée, la roche rencontrée est une granodiorite recoupée par un réseau de veines bréchifiées de composition quartz, tourmaline et des reliques de granodiorite (**photo 5b**). Elles sont de direction N 70 avec des pendages variables mais généralement fortes comprises entre 75 et 85 degrés et sont à leur tour recoupées par des veines en feuillets de quartz-tourmaline avec 50% de quartz et 50% de tourmaline, et des veines essentiellement composée de tourmaline (+90%). Une déformation cassante tardive qui se matérialise par la présence de failles normales et quelques failles inverses qui recoupent les veines de quartz tourmaline est observée. La distribution des fractures et des veines semble indiquée la présence de deux phases de déformation : une première phase en régime de compression de direction WSW-ENE mettant en place les veines de quartz tourmaline et une deuxième phase en régime d'extension de direction NNW-SSE. La chronologie de mise en place des veines reste difficile à déterminer, cependant tout semble indiqué que les veines de quartz-tourmaline et de tourmaline sont les dernières mises en place.



**Photo 5 a : Veine majeure (centrale) dans MBT-003; 5b : Veine à Quartz tourmaline dans la tranchée MBT-003.**

Les meilleurs résultats d'analyse obtenus sur la tranchée MBT-003 sont consignés sur les tableaux **11 et 12**. Ils montrent que la minéralisation n'est pas uniformément répartie aux niveaux des veines. Les fortes teneurs se rencontrent au niveau des veines dans lesquelles la fréquence des veines en feuillets tardives est élevée. Ces dernières sont réparties dans un couloir long de 45m (**Voir carte figure 27 et 28**).

**Tableau 11: Intercepts obtenus sur la tranchée MBT-003**

TrenchID	From	To	Interval	Average_g_t	Intercept	Commentaires
MBT-003	37.00	38.0	1.00	0.39	1m@0.39g/t	Granodiorite recoupée par des veines de quartz tourmalines
MBT-003	41.00	42	1.00	0.58	1m@0.58g/t	Granodiorite recoupée par des veines de quartz tourmalines
MBT-003	114.00	115.20	1.20	1.14	1.2m@1.14g/t	Veine de quartz tourmaline bréchifiée recoupée par des veines en feuillets de quartz-tourmalines et tourmalines

**Tableau 12: Meilleurs résultats obtenus sur les échantillons sélectifs de la tranchée MBT-003**

Trench_ID	SampleID	Vein width	Legth (m) from	Au(fire) _ppm	Description	Strike	Dip
MBT-003	TMB-0183	0.15	55.55	<b>0.303</b>	Veine de quartz tourmaline bréchifiée recoupée par des veines en feuillets de quartz-tourmalines et tourmalines		
MBT-003	TMB-0191	0.4	107	<b>0.221</b>	Veine de quartz tourmaline bréchifiée recoupée par des veines en feuillets de quartz-tourmalines et tourmalines		
MBT-003	TMB-0196	0.5	110	<b>0.258</b>	Veine de quartz tourmaline bréchifiée recoupée par des veines en feuillets de quartz-tourmalines et tourmalines		
MBT-003	TMB-0213	0.3	124.3	<b>0.626</b>	Veine de quartz tourmaline bréchifiée recoupée par des veines en feuillets de quartz-tourmalines et tourmalines		
MBT-003	TMB-0217	0.5	125.7	<b>0.28</b>	Veine de quartz tourmaline bréchifiée recoupée par des veines en feuillets de quartz-tourmalines et tourmalines		
MBT-003	TMB-0219	0.05	127.1	<b>0.7</b>	Veine de quartz tourmaline bréchifiée recoupée par des veines en feuillets de quartz-tourmalines et tourmalines		
MBT-003	TMB-0220	0.2	128.1	<b>0.802</b>	Veine de quartz tourmaline bréchifiée recoupée par des veines en feuillets de quartz-tourmalines et tourmalines		
MBT-003	TMB-0227	0.2	133.6	<b>0.347</b>	Veine de quartz tourmaline bréchifiée recoupée par des veines en feuillets de quartz-tourmalines et tourmalines	249	74
MBT-003	TMB-0246	0.15	146.05	<b>1.214</b>	Veine de quartz tourmaline bréchifiée recoupée par des veines en feuillets de quartz-tourmalines et tourmalines		
MBT-003	TMB-0247	0.2	147.3	<b>0.217</b>	Veine de quartz tourmaline bréchifiée recoupée par des veines en feuillets de quartz-tourmalines et tourmalines		
MBT-003	TMB-0251	0.2	151.9	<b>0.609</b>	Veine de quartz tourmaline bréchifiée recoupée par des veines en feuillets de quartz-tourmalines et tourmalines	252	75
MBT-003	TMB-0253	0.2	156.8	<b>0.349</b>	Veine de quartz tourmaline bréchifiée recoupée par des veines en feuillets de quartz-tourmalines et tourmalines		



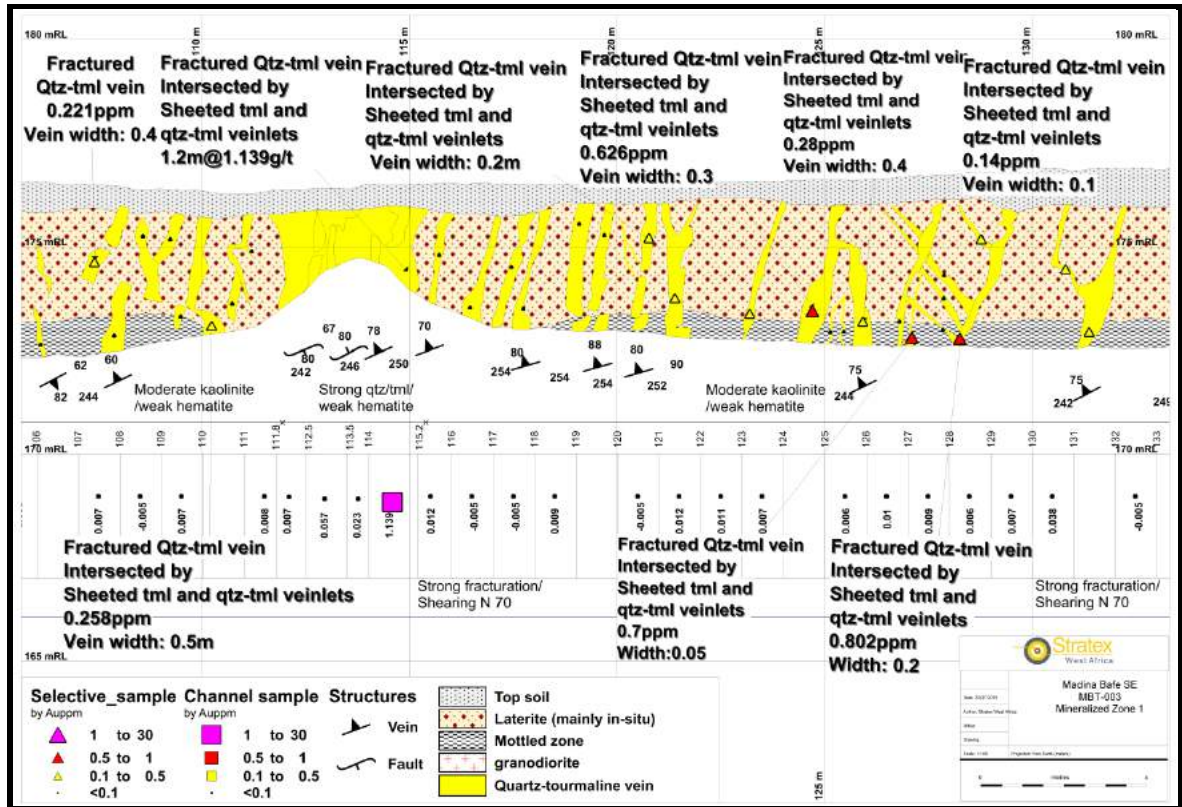


Figure 27 : Zone minéralisée de la tranchée de la tranchée MBT-003 : 1<sup>er</sup> partie

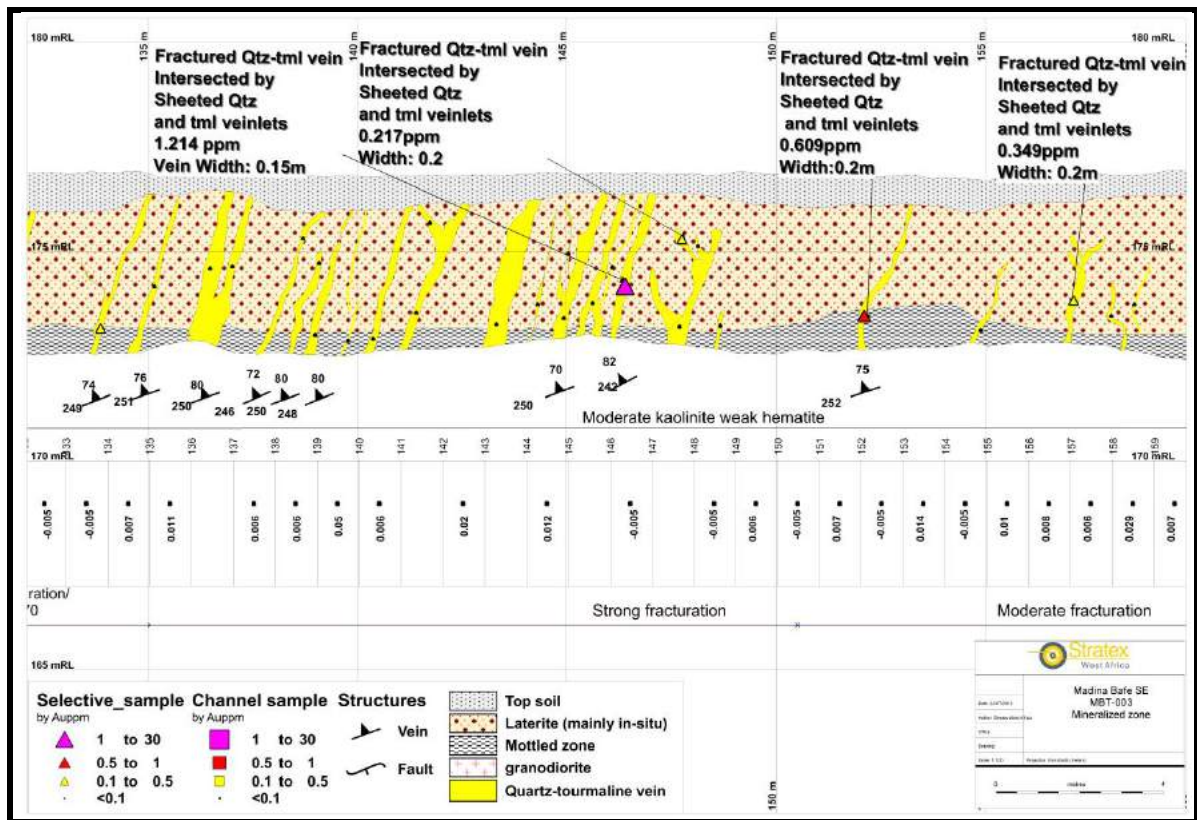


Figure 28 : Zone minéralisée de la tranchée de la tranchée MBT-003 : 2eme partie

## MBT-004

Elle était programme pour étudier la continuité de la structure minéralisée entre la tranchée MBT-003 et la tranchée MBT-005, cependant avec le recouvrement latéritique très épais la roche sous-jacente n'a pas pu être atteinte. Dans cette tranchée est observée une latérite transportée qui est associée à des blocs de quartz-tourmaline, le tout reposant au niveau de certains endroits sur une mince couche d'argiles bariolées « mottled zone » (**photo 6b**). La taille des flots de quartz indique que leur source n'est pas éloignée. Ici l'échantillonnage a été réalisé par intervalle de deux mètres. Les résultats obtenus ont permis de calculer les interceptions suivantes en se basant sur une coupure de 0.1g/t (**tableau 13 et figure 29,30 et 31**).



Photo 6 a : vue ensemble de la tranchée MBT-004; 6b : photo montrant la latérite blocs de quartz dans MBT-004; 6c : MBT-004 après remblaiement

Tableau 13 : Intercepts obtenus sur la tranchée MBT-004

TrenchID	From	To	Interval	Average_g_t	Intercept	Commentaires
MBT-004	32.00	40	8.00	0.2525	8m@0.25g/t	Paleochannels remplis par de la des gravillons latéritiques et de blocs de quartz-tourmaline
MBT-004	44.00	46	2.00	0.13	2m@0.13g/t	Paleochannels remplis par de la des gravillons latéritiques et de blocs de quartz-tourmaline
MBT-004	96.00	98	2.00	0.15	2m@0.15g/t	Paleochannels remplis par de la des gravillons latéritiques et de blocs de quartz-tourmaline
MBT-004	104.00	114	10.00	0.217	10m@0.22g/t	Mélange gravillons latéritiques et de blocs de quartz-tourmaline faiblement transportés
MBT-004	120.00	126	6.00	0.254	6m@0.25g/t	Mélange gravillons latéritiques et de blocs de quartz-tourmaline faiblement transportés

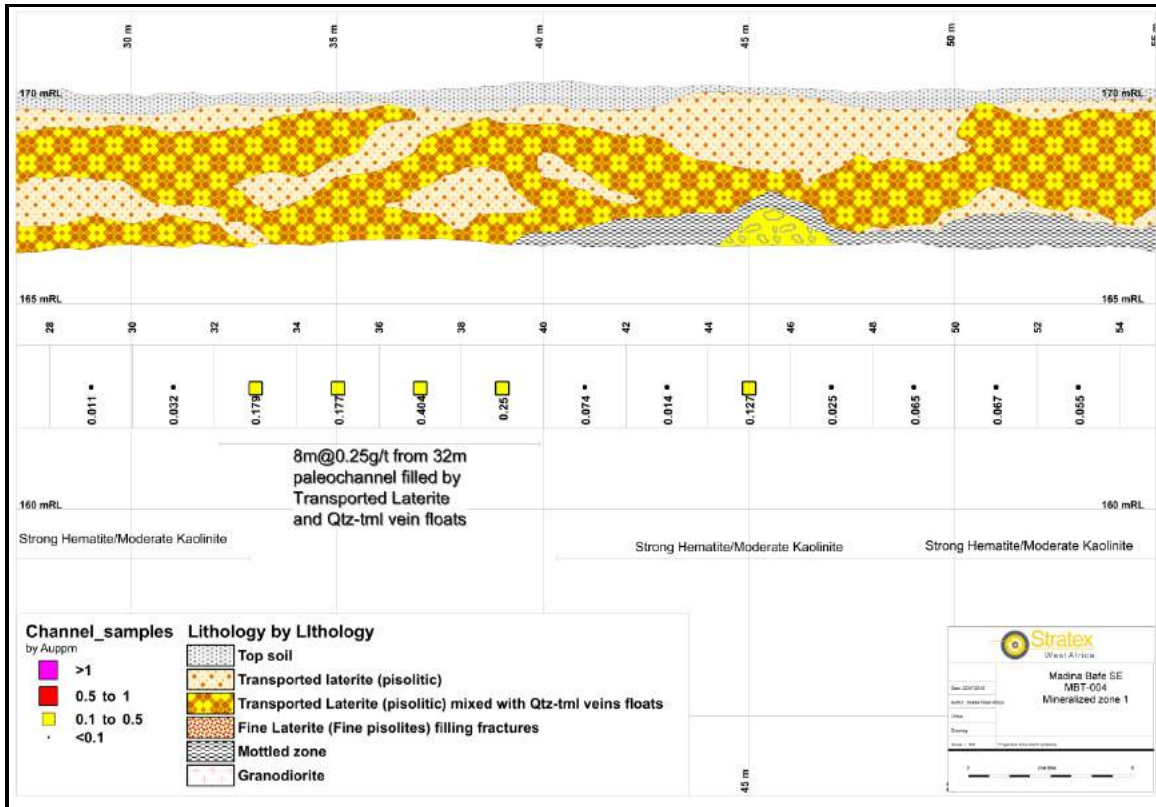


Figure 29 : MBT-004 : première zone minéralisée

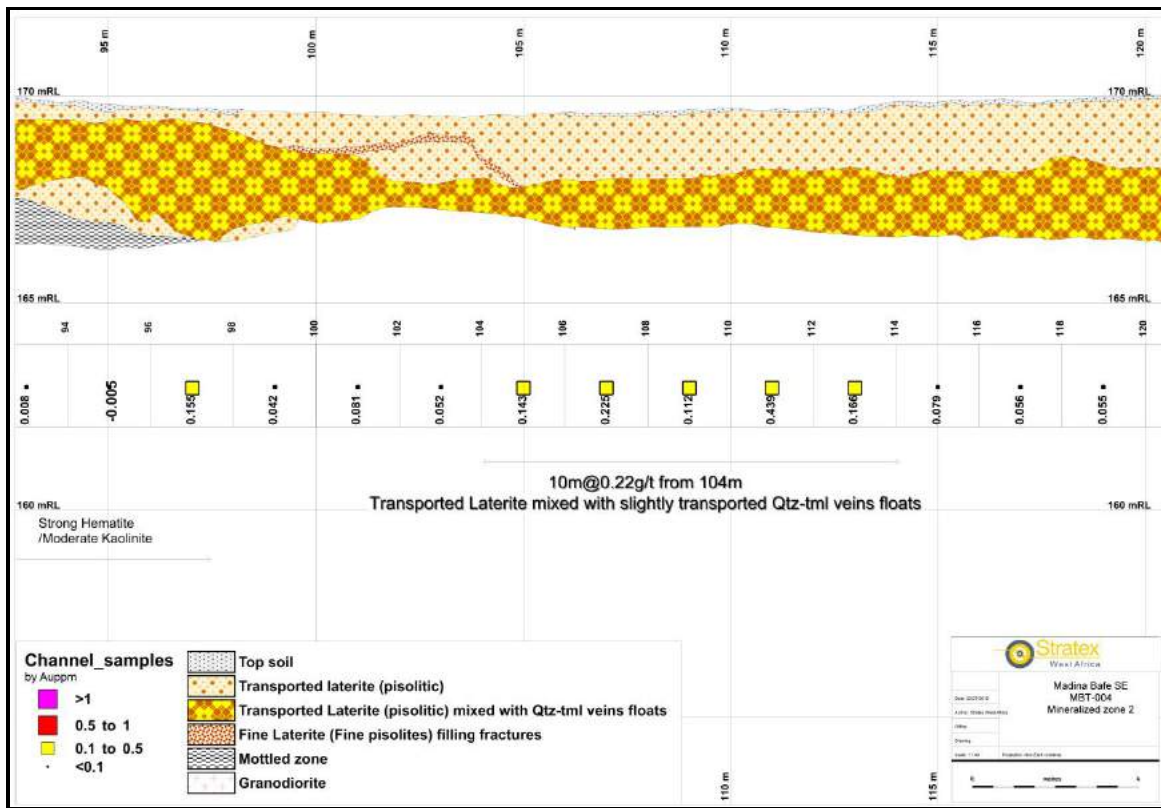


Figure 30 : MBT-004 : Deuxième zone minéralisée



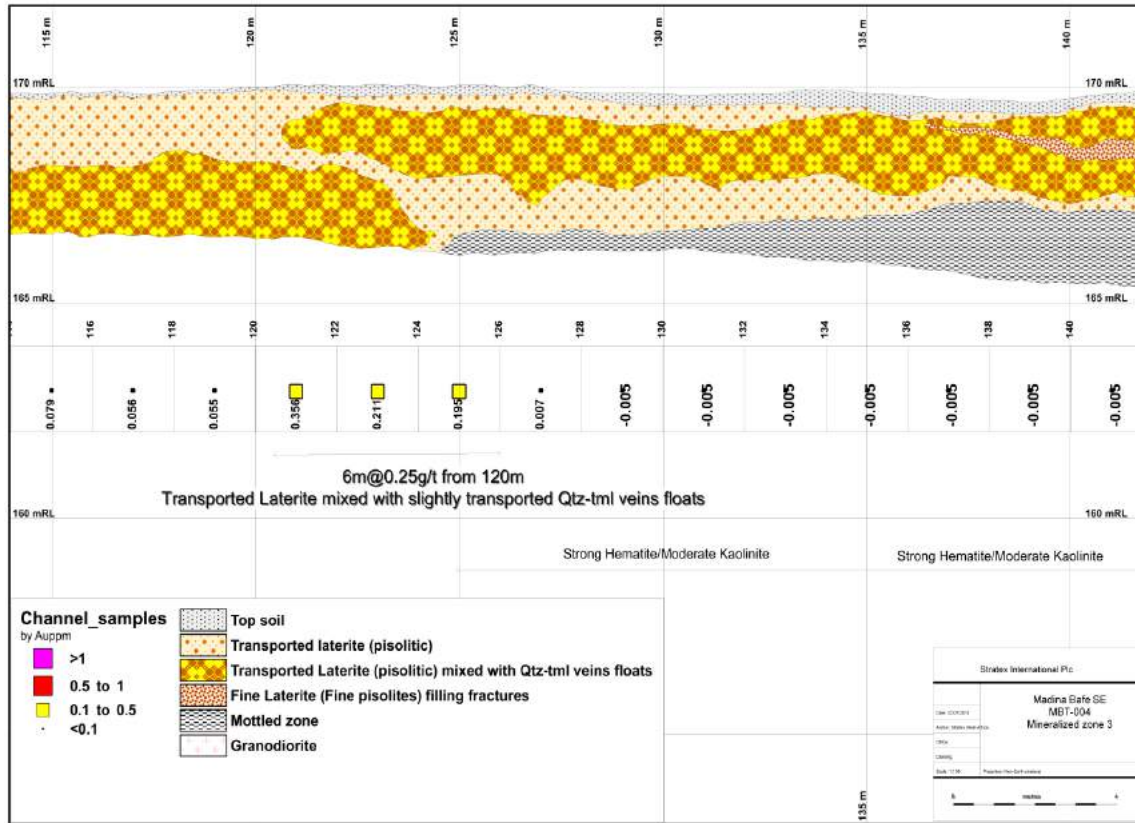


Figure 31 : MBT-004 : Troisième zone minéralisée zone minéralisée

- **MBT-005**

La cartographie de cette tranchée a révélé la présence des roches volcano-sédimentaires formées de « siltstones », de tufs, de grauwackes et de « shales » recoupées par des unités intrusives représentées par des granodiorites et de granites. Tous ces ensembles lithologiques sont traversés dans certains endroits par des réseaux de veines de quartz-tourmaline. Ils sont aussi localement, affectés par une schistosité est une altération en silice, en kaolinite et en albite.

La minéralisation est associée aux veines de quartz-tourmaline qui s'établissent de façon préférentielle au niveau des zone de contact entre les volcano-sédiments et les intrusives. Les meilleures interceptions obtenues en se basant sur une coupure de 0.1g/t et les meilleurs résultats issus de l'échantillonnage sélectif sont présentés sur les **tableaux 14 et 15 et figures 32,33 et 34**:



**Tableau 14: Intercepts obtenus sur la tranchée MBT-005**

TrenchID	From	To	Interval	Average_g_t	Intercept	Comments
MBT-005	89.00	91	2.00	0.16	2m@0.16g/t	
MBT-005	99.00	101	2.00	0.14	2m@0.14g/t	
MBT-005	109.00	111	2.00	0.69	2m@0.69g/t	Volcano-sediments bréchifiés avec du graphite
MBT-005	117.00	121	4.00	1.396	4m@1.40 g/t	Roche felsique silicifiée intersectée par des veines de quartz-tourmaline
MBT-005	173.00	175	2.00	0.1	2m@0.10g/t	
MBT-005	185.00	187	2.00	0.18	2m@0.18g/t	
MBT-005	207.00	210	3.00	0.168	3m@0.17g/	Roche felsique silicifiée intersectée par des veines de quartz-tourmaline
MBT-005	217.00	223	6.00	0.86	6m@0.86g/t	Roche felsique silicifiée intersectée par des veines de quartz-tourmaline
MBT-005	230.00	233	3.00	0.418	3m@0.42m g/t	Roche felsique silicifiée intersectée par des veines de quartz-tourmaline
MBT-005	257.00	258	1.00	1.77	1m@1.77g/t	Roche felsique silicifiée intersectée par des veines de quartz-tourmaline

**Tableau 15 : Meilleurs résultats obtenus sur les échantillons sélectifs de la tranchée 3**

Trench_ID	SampleID	mFrom	Vein width	Au_ppm	Description	Strike	Dip
MBT-005	TMB-0477	7.45	0.1	0.244	Veine de quartz-tourmaline intersectant des volcano-sediments		
MBT-005	TMB-0478	11.5	0.1	0.26	Veine de quartz-tourmaline intersectant des volcano-sediments	250	86
MBT-005	TMB-0481	14	0.05	0.7	Veine de quartz-tourmaline intersectant des volcano-sediments	252	80
MBT-005	TMB-0483	119	0.8	6.354	Veine de quartz-tourmaline intersectant des volcano-sediments	268	50
MBT-005	TMB-0484	208.05	0.05	0.693	Veine de quartz-tourmaline intersectant des volcano-sediments		
MBT-005	TMB-0486	229.4	0.1	0.697	Veine de quartz-tourmaline intersectant des volcano-sediments		
MBT-005	TMB-0487	230.2	0.1	6.658	Veine de quartz-tourmaline intersectant des volcano-sediments		
MBT-005	TMB-0489	254.2	0.1	22.24	Veine de quartz-tourmaline intersectant des volcano-sediments	70	80



Photo 7a et 7b- Vue de la tranchée MBT-005; 7c tranchée MBT-005A après recouvrement

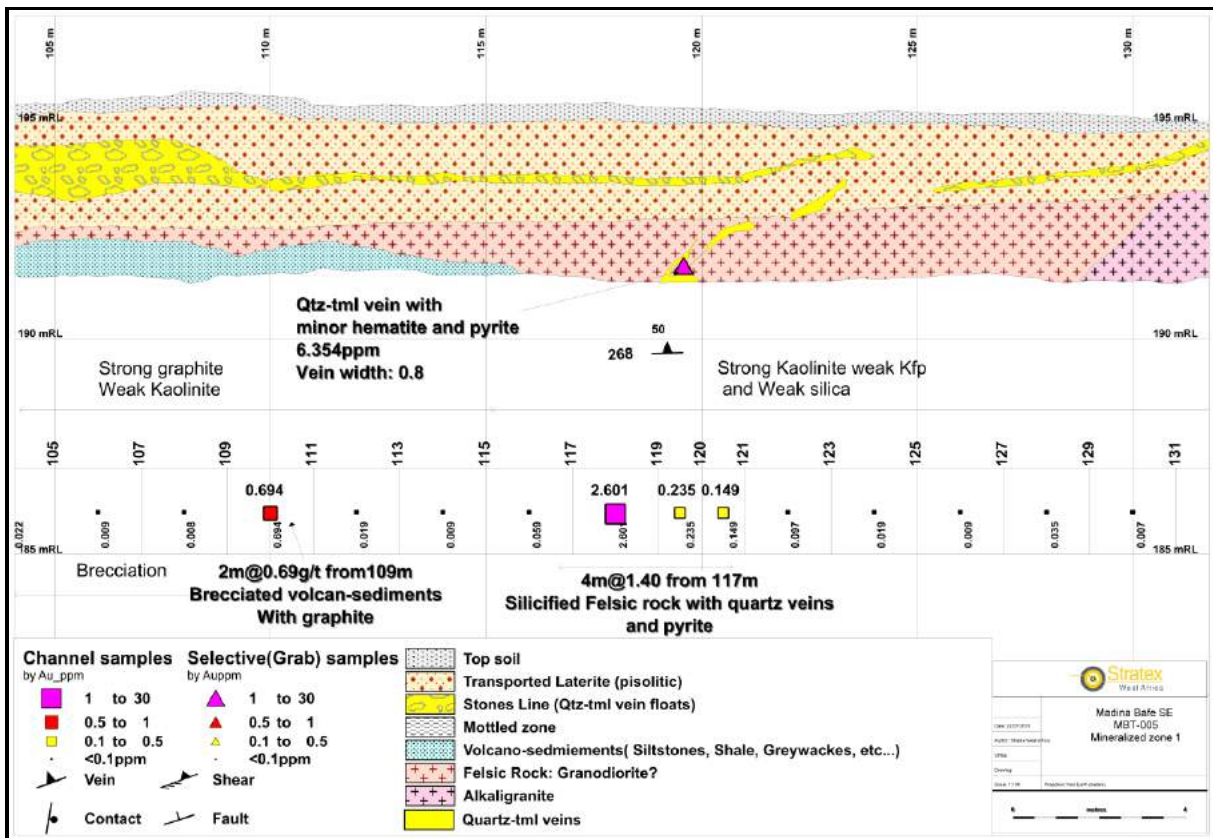


Figure 32 : MBT-005 : première zone minéralisée

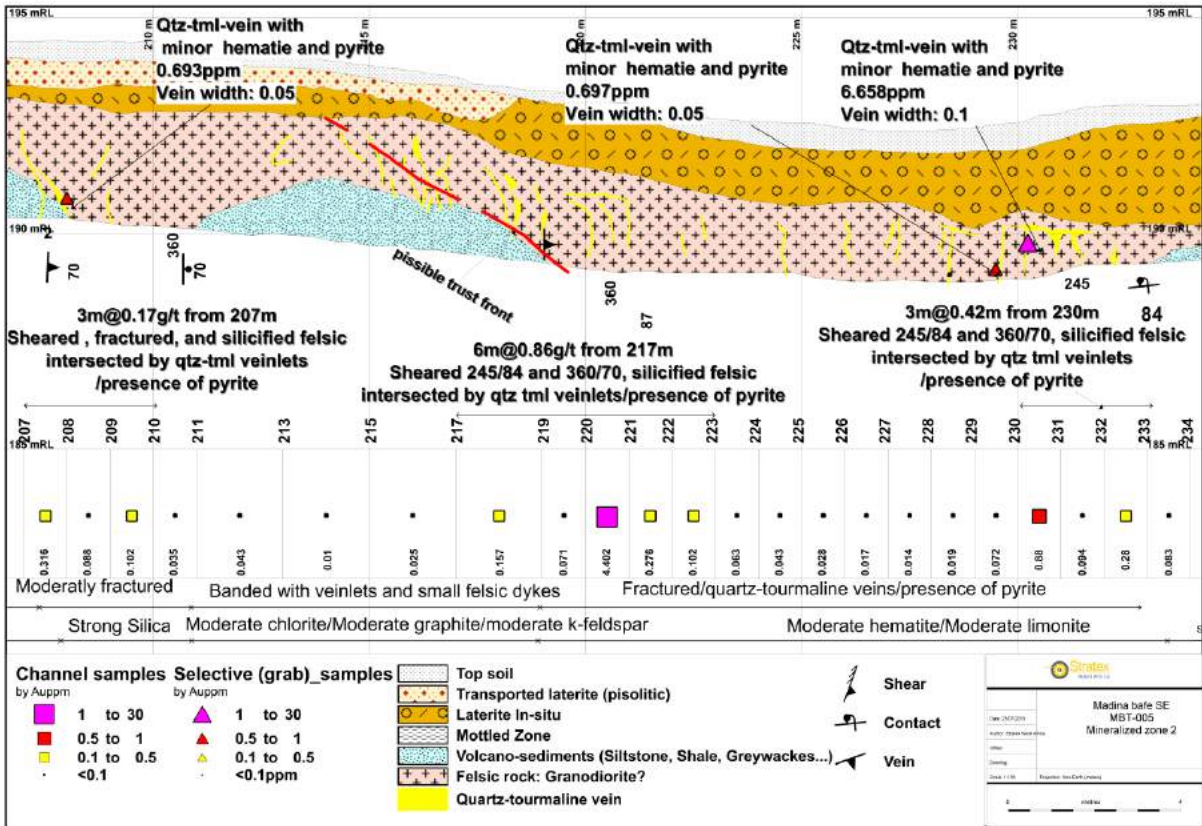


Figure 33 : MBT-005 : seconde zone minéralisée

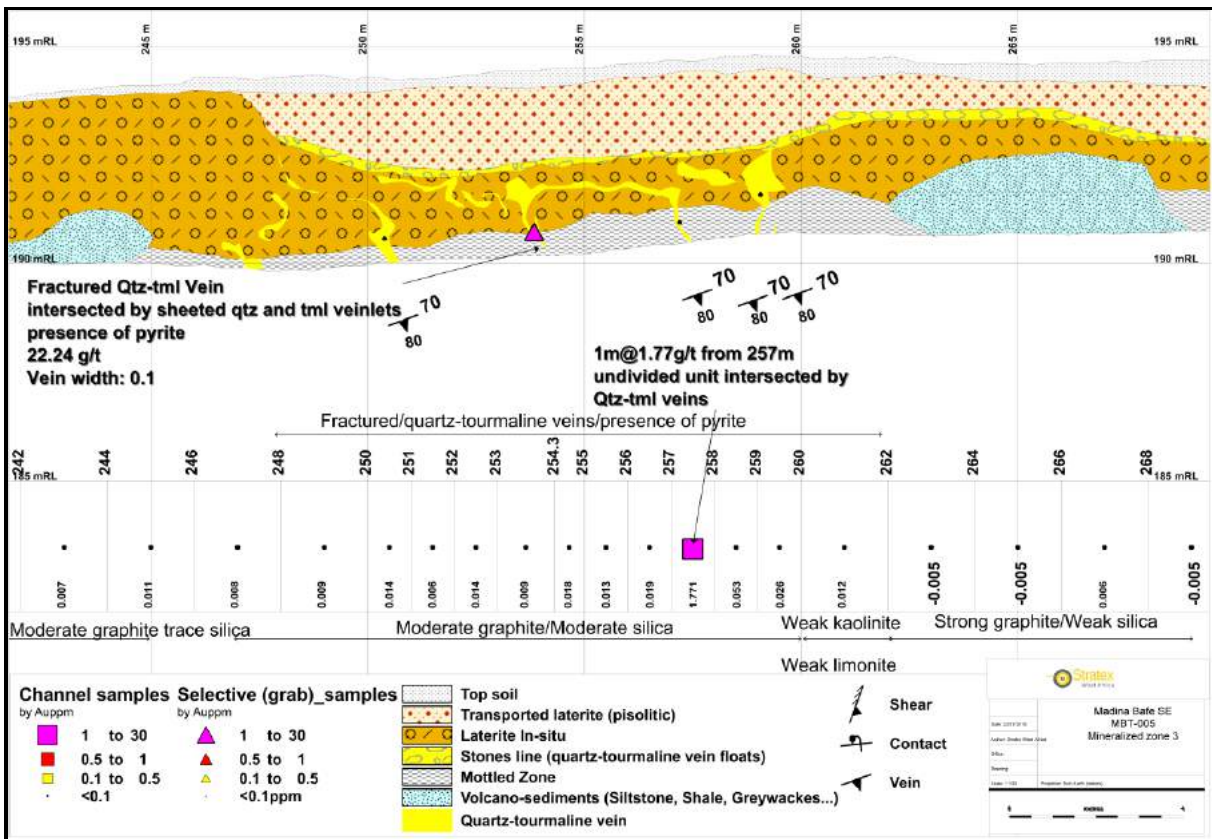


Figure 34 : MBT-004 : troisième zone minéralisée



• **MBT-006**

Elle est localisée plus au sud de la zone. Dans cette tranchée, on remarque un très grand contraste lithologique. On y retrouve différents types d'intrusives avec un granite alcalin qui est nettement plus représenté. Il recoupe une autre roche felsique définie comme étant une granodiorite et une roche mafique à intermédiaire (diorite ou gabbro). Les zones de contact entre les différentes unités sont exploitées par des veines de quartz-tourmaline à pendages sub-verticales de direction préférentielle N 70. Dans certains endroits, on note la présence d'une altération chloritique, biotitique et siliceuse et une forte brechification affectant le granite. La granodiorite et la diorite sont aussi affectées par une altération sericitique et dans une moindre mesure par une chloritisation et une silicification.

La minéralisation dans cette tranchée, contrairement aux précédentes n'est pas associée avec les veines de quartz ; elle est disséminée dans la roche encaissante. Seul un échantillon sélectif a donné une valeur significative. Les interceptions calculées en se basant sur une coupure de 0.1g/t sont les suivantes (**tableau 16 et figures 35 et 36**).

**Tableau 16 : Intercepts obtenus sur la tranchée MBT-006**

TrenchID	From	To	Interval	Average_g_t	Intercept	Comments
MBT-006	59.30	64	4.70	0.162	4.7m@0.16g/t	Diorite altérée en chlorite et epidote
MBT-006	71.00	73	2.00	0.151	2m@0.15g/t	Contact entre diorite et granite exploité par des veines de quartz-tourmaline
MBT-006	75.00	76	1.00	0.11	1m@0.11g/t	Granite faiblement shearé avec des veinules de quartz
MBT-006	78.00	82	4.00	0.144666	4m@0.10g/t	Granite faiblement shearé avec des veinules de quartz
MBT-006	86.00	88	2.00	0.11	2m@0.11g/t	Granite faiblement shearé avec des veinules de quartz
MBT-006	91.00	93	2.00	0.1075	2m@0.11g/t	Granite faiblement shearé avec des veinules de quartz



**Photo 8 a : vue de la tranchée MBT-006; 8b : Veine de Quartz tourmaline dans MBT-006; 8c : MBT-006 après recouvrement**



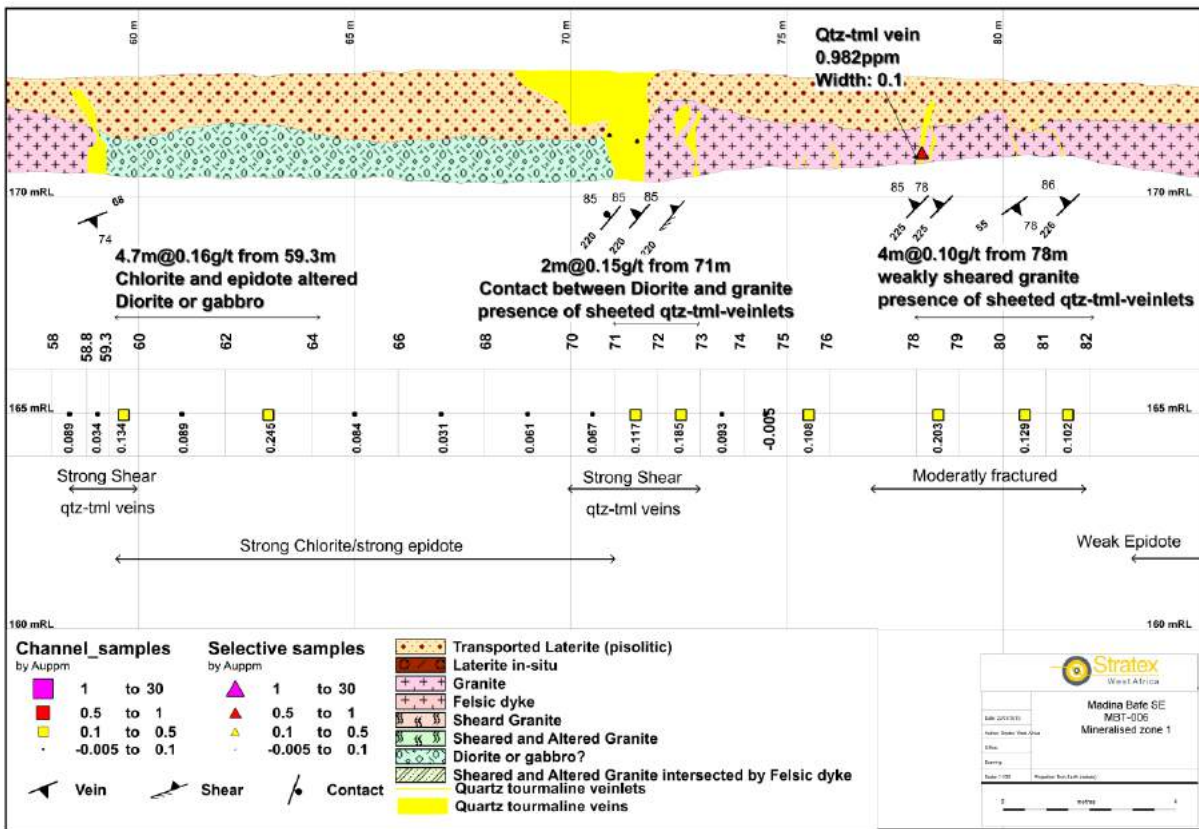


Figure 35 : MBT-005 : première zone minéralisée

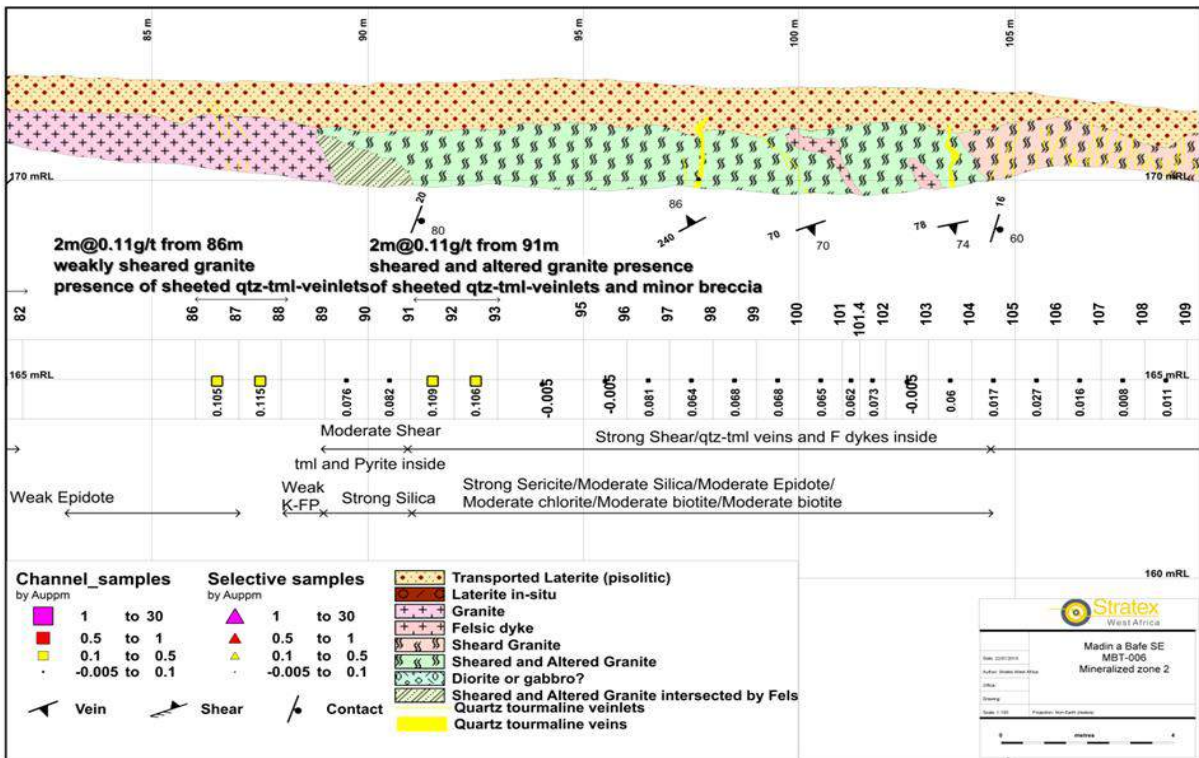


Figure 36 : MBT-005 : seconde zone minéralisée

### 3.1.2.2 Madina Bafe West

Dans cette partie du prospect 3 tranchées étaient planifiées, cependant avec l'hivernage qui s'approchait et les pannes récurrentes de la machine à excaver seule la moitié de la première tranchée a pu être creusée. Elle se situe à 40m au sud de la ligne de RC 10 au niveau du trou MBRC-117 qui avait intercepté une 15m à 6g/t. La tranchée est nommée MBT-007, elle est longue de 101m avec une profondeur moyenne de 6m (**figure 37**).

Le levé géologique réalisé sur la tranchée indique la présence d'une latérite très épaisse environ 5m d'épaisseur reposant sur la « mottled zone ». Une fine couche de saprolite est visible dans certains endroits ; elle semblerait provenir de l'altération météoritique d'une roche felsique probablement une granodiorite. Quelques rares veines de taille décimétrique sont visibles au milieu de la tranchée. Elles sont de direction N-S avec un pendage sub-vertical.

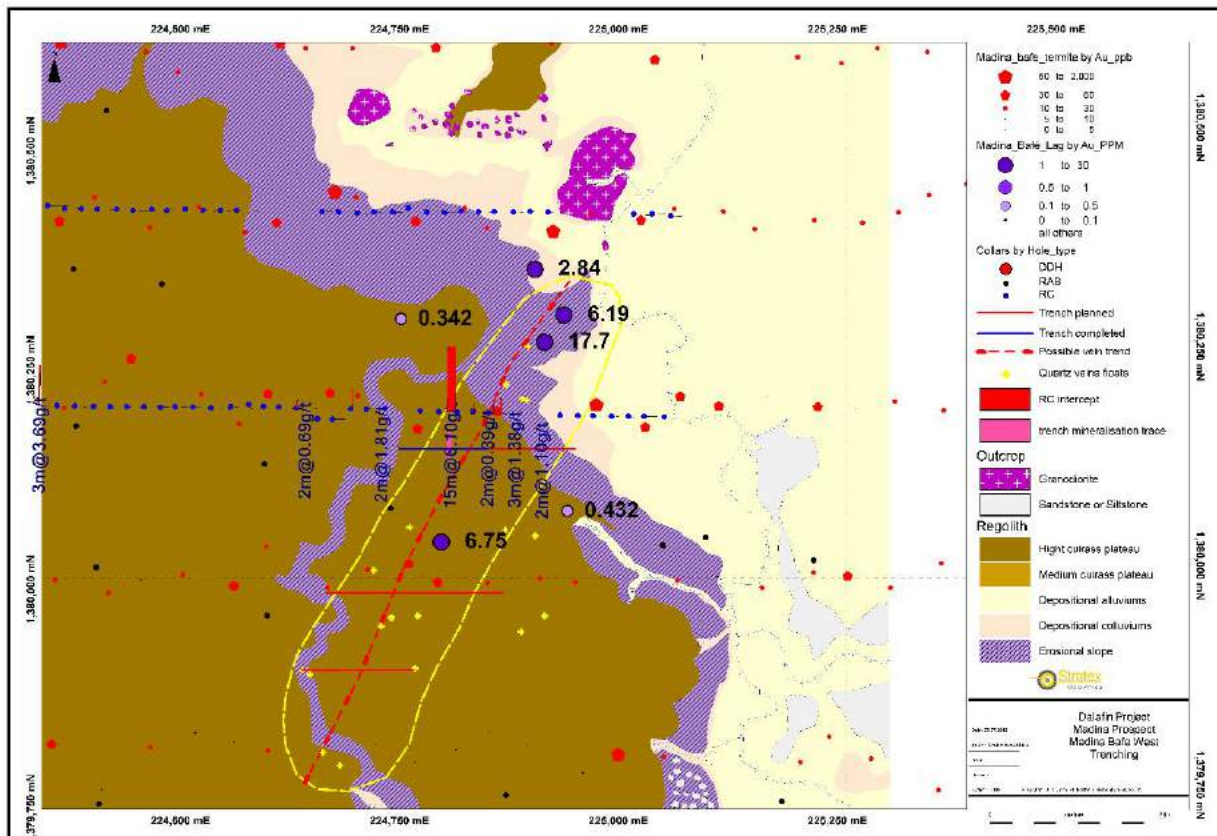


Figure 37 : Localisation des tranchées de Madine bafe W : en rouge tranchées planifiées en bleu tranchées exécutées.



L'échantillonnage est effectué en procédant au rainurage à la base de la tranchée sur des intervalles de 1 ou 2m selon la présence ou absence de veines ou altération. Des échantillons sélectifs sont aussi prélevés sur les veines. L'ensemble a été analysé selon la méthode « fire assay » avec une limite de détection de 5ppb. Les résultats obtenus ne montrent pas la présence de fortes anomalies, mais révèlent la présence d'une zone faiblement minéralisée comprise entre 42 et 68m (**figure 38**).

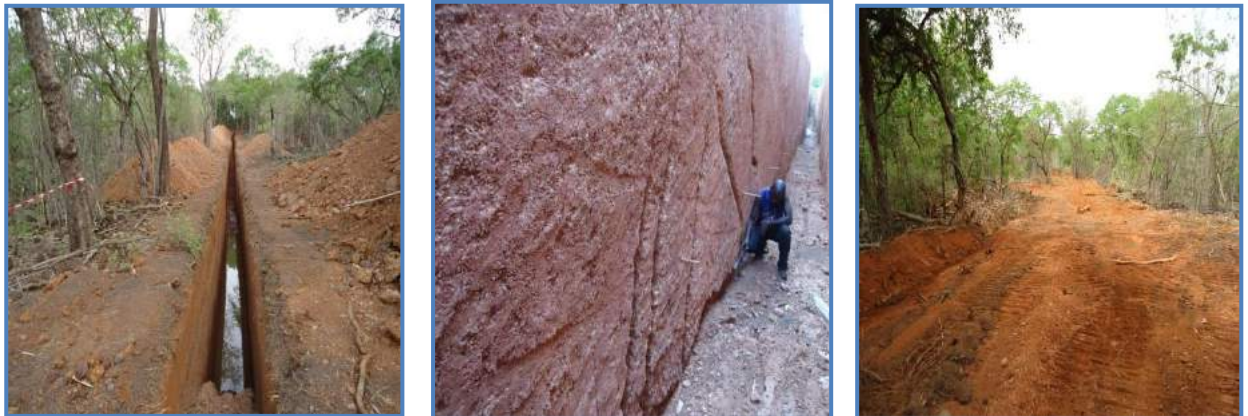


Photo 9 : a : Vue de la tranchée MBT-007; b : zone de veines dans MBT-007; c : MBT-007 après recouvrement.

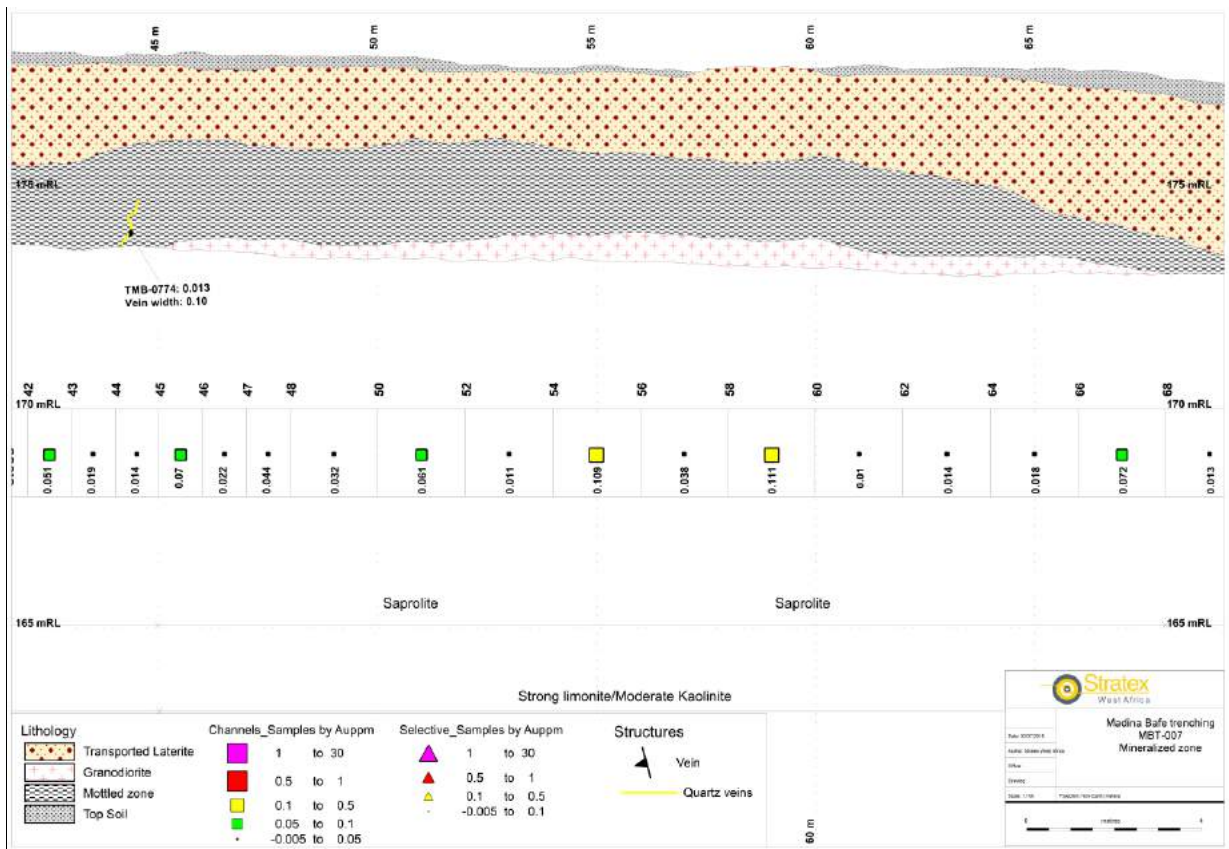


Figure 38 : Tranchée MBT-006 : zone minéralisée.

### 3.1.2.3 Conclusions sur le programme de tranchées à Madina bafe.

Les tranchées réalisées à Madina bafe SE ont permis de prouver la continuité au moins sur une distance de 1.5m de la structure initialement interceptée par les différents sondages réalisés. Celle-ci est de direction NE-SW et se caractérise par la présence de veines en feuillets composées de quartz et de tourmaline. Vue sur l'image aeromagnetique, la structure est recoupée à sa limite nord, par un dyke de dolerite tandis qu'au sud elle est décalée par une faille d'âge postérieur. D'autres travaux sont prévus pour mieux tester la structure avant de procéder aux sondages qui évalueront de façon définitive la potentialité de la zone (figure 39).

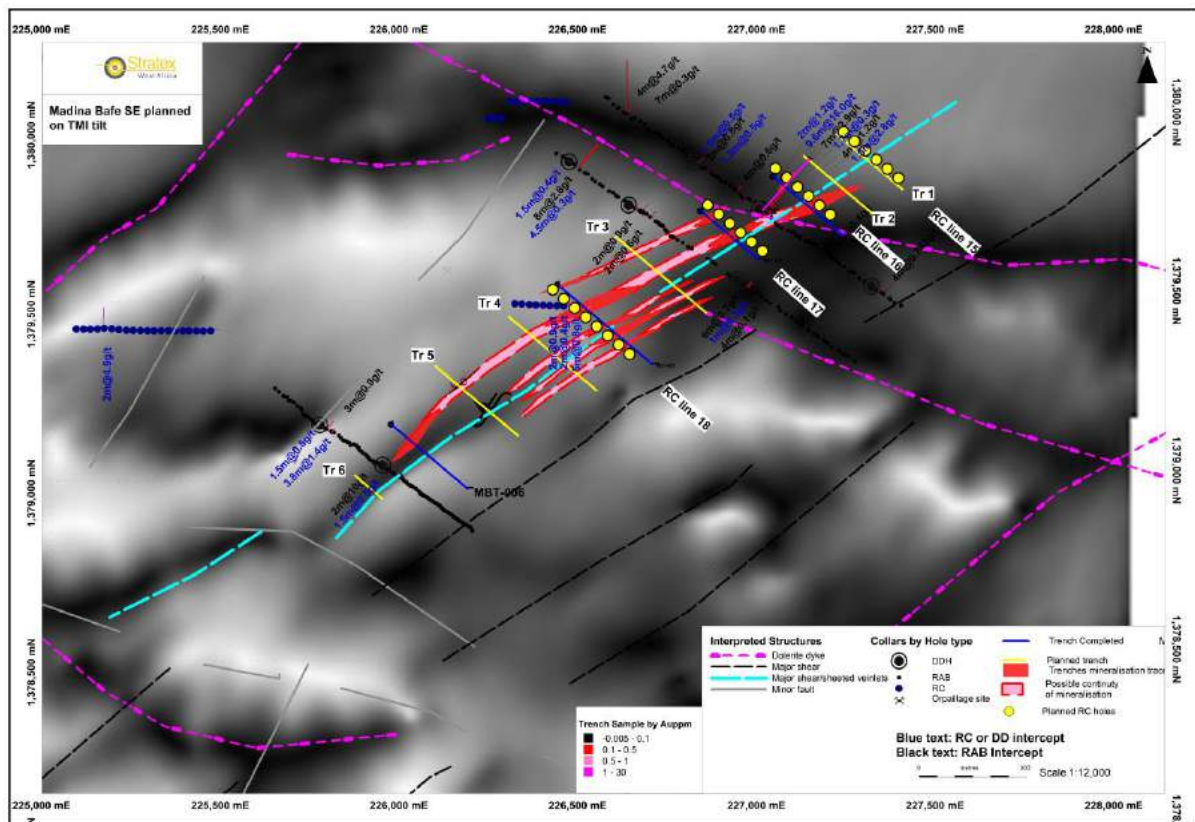


Figure 39 : Carte interprétative de la zone de Madina bafe SE montrant les travaux futurs planifiés

### 3.2 Faré

Pour suivre une anomalie initialement mise en évidence par la géochimie régionale, un programme d'échantillonnage et une cartographie de la régolithe sont initiés à l'est du prospect de Faré (figure 40). A la date de la rédaction du présent rapport 703 échantillons sur 1617 planifiés sont prélevés, cependant ne sont pas analysés.

La cartographie montre que la zone est dominée par des plateaux latéritiques séparés par des plaines alluviales. Quelques affleurements de grauwwackes et de volcano-sédiments fins sont rencontrés. Les premiers sont altérés et shistosés selon une direction N 30 avec un pendage de 70 degrés.



Les volcano-sédiments sont représentés par des siltites graphiteux shistosés N40 et plissés. Des veines de quartz blanc avec de la pyrite disséminés sont rencontrées dans certains endroits. Elles contiennent de l'hématite à faible quantité.

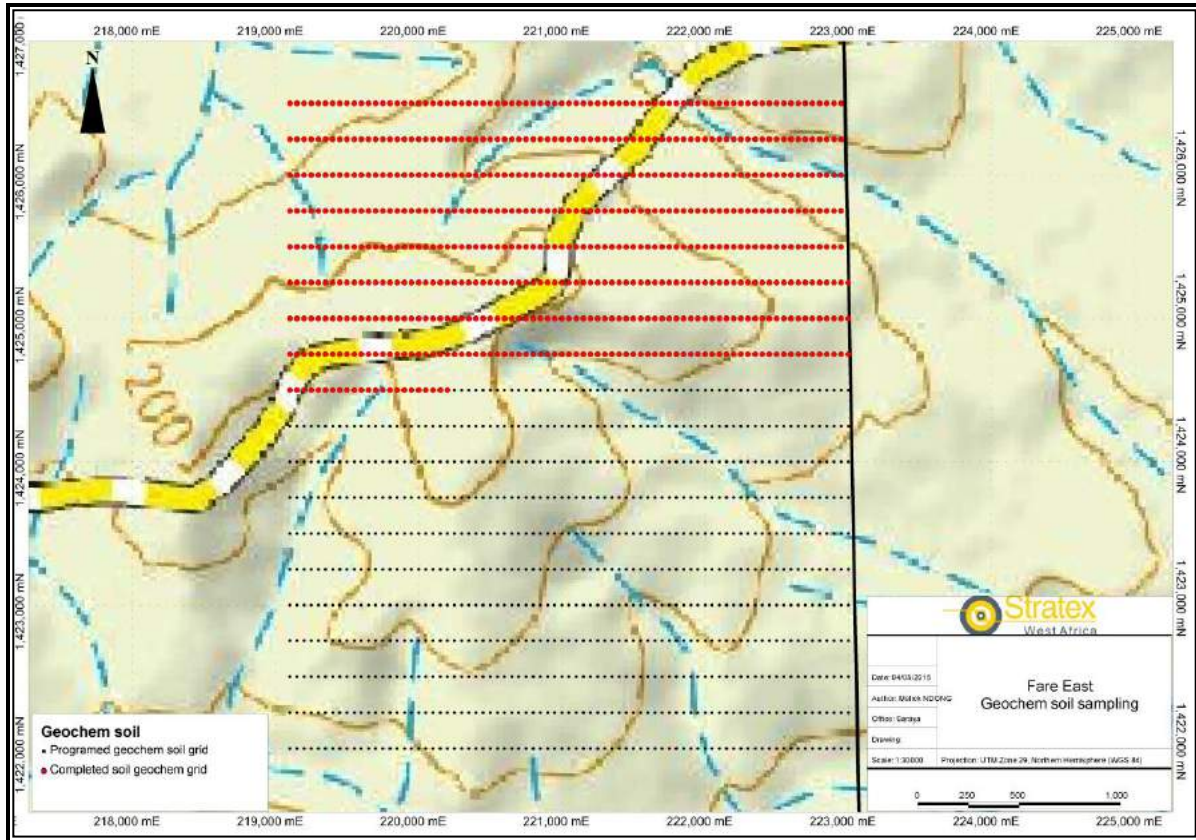


Figure 40 : Grille de géochimie planifiée l'est de faré : en rouge points déjà échantillonnés en noir points restants.

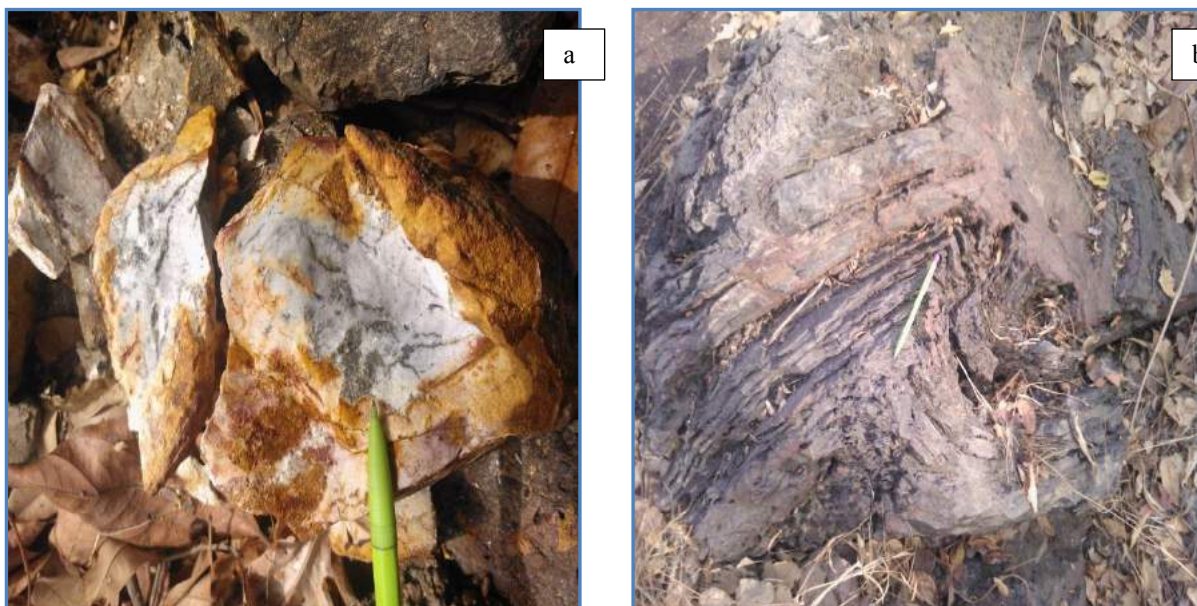


Photo 10 a: Veine de quartz avec pyrite; 10b plis et schistosité observés dans les shales graphiteux à l'est de Faré.

## 6 Les travaux réalisés en 2016

Pour suivre les minéralisations mises en évidence par les précédentes campagnes et pour tester de nouvelles zones à fortes anomalies un programme de géochimie sol et de cartographie a été initiée en 2016 dans le permis de Dalafin sur deux prospects Fare et Baytilaye.

### 6.1 Fare

Une grille de géochimie sol de 250X50 a été exécutée à Fare dans les 4 polygones prédéfinis (Se reporter au Tableau 17 et Figure 41) pour suivre l'extension de l'anomalie de faré initialement mise en évidence. Ce programme a débuté 25 Janvier 2016 et s'est achevé en Février 2016. Au total 1136 échantillons sont prélevés et envoyés au laboratoire pour analyse selon la méthode « aqua regia » avec une limite de détection de 2ppb.

**Tableau 17 : Details geochimie sol a Fare**

Polygon_id	Polygon Area (km2)	Numb of samples points	QAQC samples	Collected Feb 2016	Collected Feb 2015	Total samples for all the programme	Comments
1	1.89	357	29	386		<b>1839</b>	
2	2.65	130	10	140			
3	1.29	99	8	107			
4	15.40	466	37	503	703		
<b>Total</b>				<b>1136</b>	<b>703</b>		

L'échantillonnage géochimique de surface a permis de délimiter des anomalies aurifères, les structures aurifères et donc des cibles.

- l'anomalie sol du Polygone 3 est la plus importante elle s'étend sur 730 m de long et se localise au sud-ouest de Fare sud et est orienté NNE. Selon signal de la géochimie, cadre litho structural et la géophysique cette l'anomalie identifiée est une extension de l'anomalie faré sud. Cette structure coïncidant avec la zone à faible mag 1VD est comparable à celles observées au Fare Sud où le forage a déjà donné de très bonnes intersections (voir la figure 41).

-Polygone 4 présente quelques points anomaux de sol de tailles différentes.



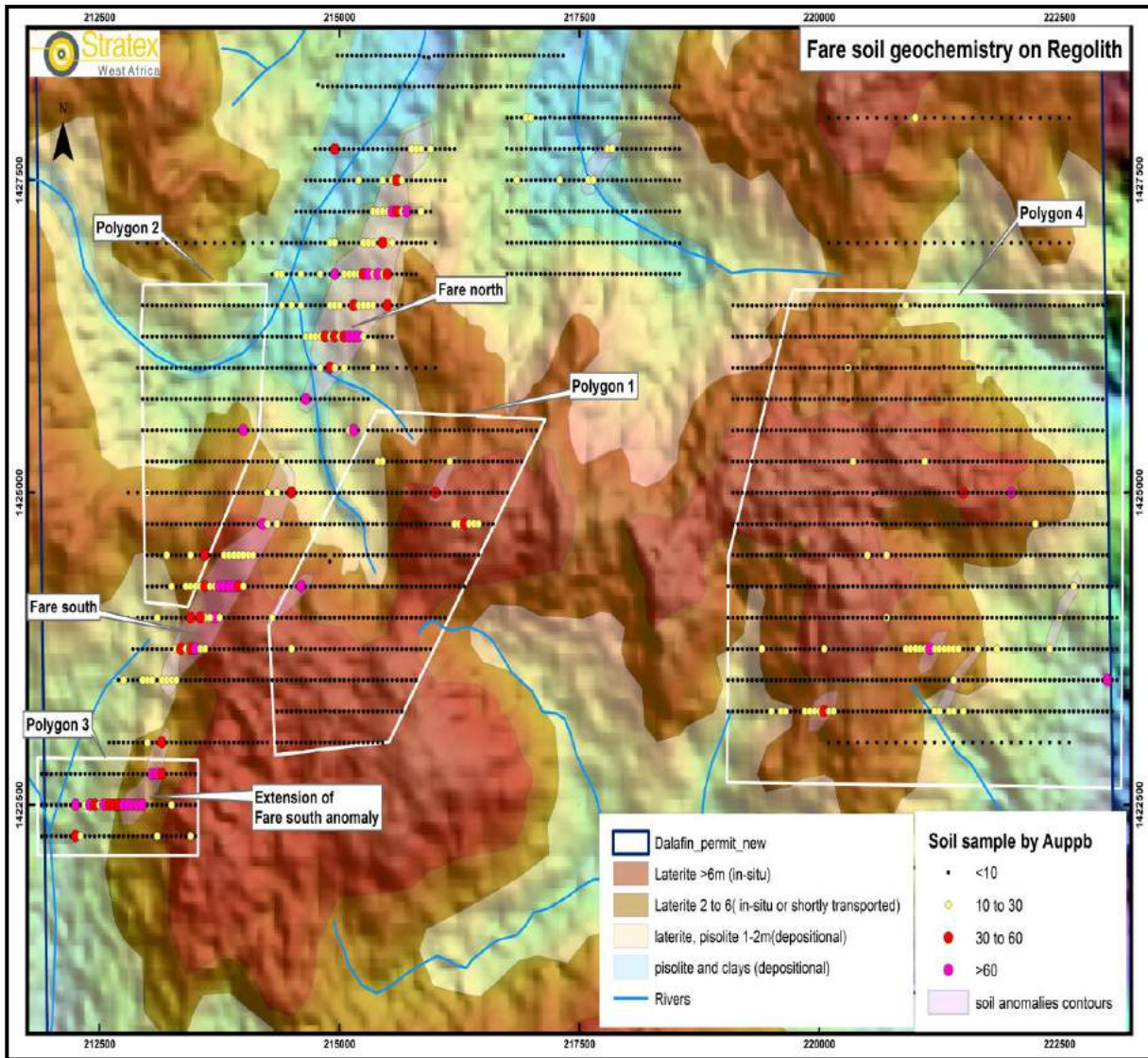


Figure 41 : Grille de géochimie planifiée a Fare

## 6.2 Baytilaye

Une cartographie litho-structurale a été réalisée au début de l'année 2016 sur deux cibles (Baytilaye Est et Baytilaye West) dans le prospect de Baytilaye (voir la figure 42). avec pour objectif d'indiquer les différents facies et les unités de régolite, les éléments structuraux et les différents types d'altérations afin de mieux comprendre le contexte de la minéralisation. Parallèlement, un échantillonnage d'affleurements et « lag » a été conduit pour aider à mieux comprendre l'origine et la structure de la minéralisation. Au total 137 échantillons « rock » et 19 échantillons « lag » ont été prélevés et sont analysés selon la méthode « fire-assay » au laboratoire bureau Veritas Abidjan. Les résultats ont montrés de fortes teneurs en or et les QAQC étaient acceptables dans l'ensemble.



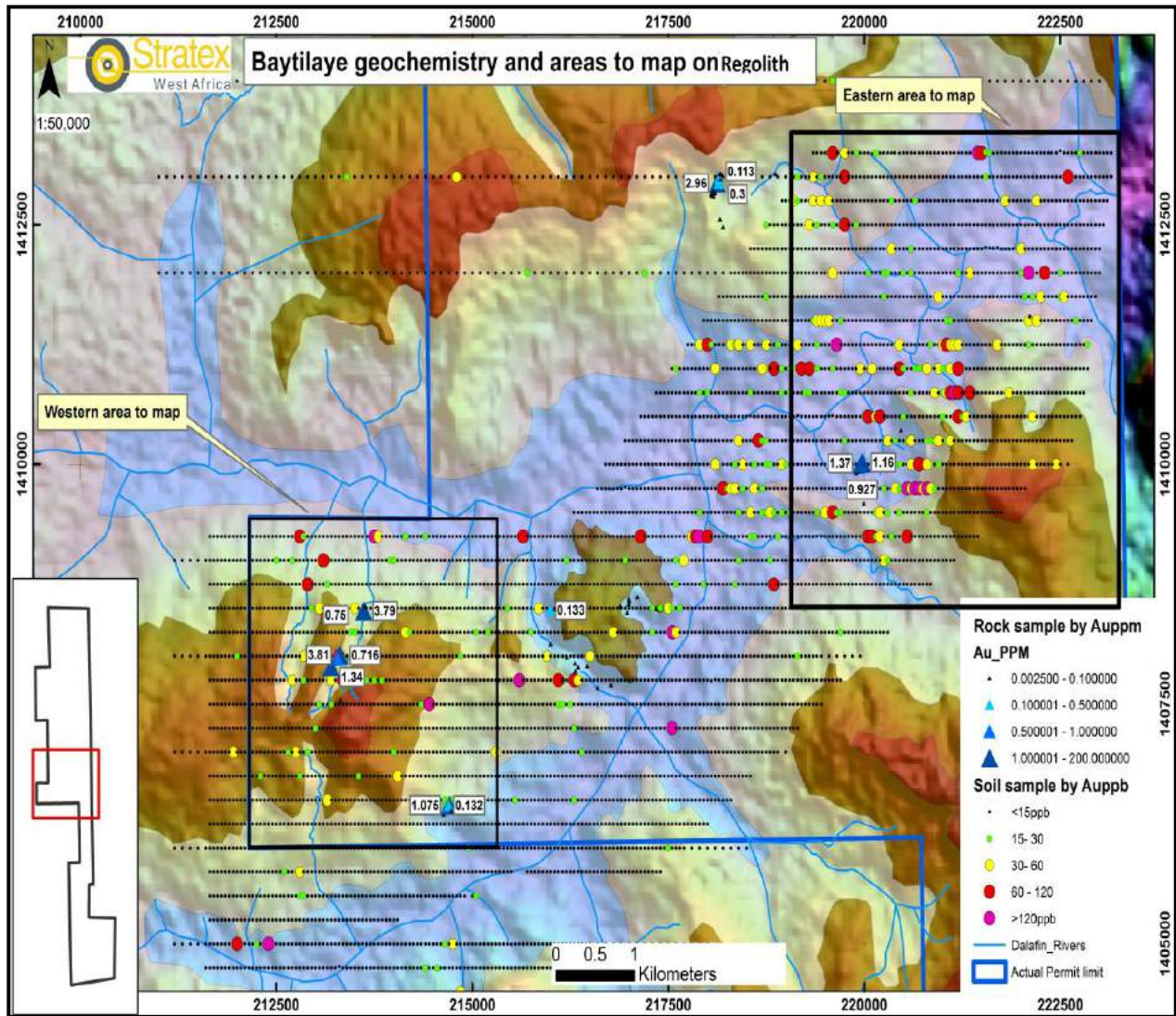


Figure 42 : Carte de localisation des zones à cartographier a Baytilaye

### 6.2.1 Baytilaye Est

A Baytilaye Est, de très hauts plateaux latéritiques dominant les terrains suivis par des colluvions qui occupent les pieds de collines et des alluvions qui recouvrent les plaines alluviales. La zone est représentée par des affleurements en régime érosionnel. Il s'agit principalement de granites et de granodiorites et Des volcano-sédiments constitués de siltstones et de shales sont aussi rencontrés. Une importante quantité de débris de quartz est observée dans la zone. Ils semblent provenir du démentiellement d'une ou plusieurs veines parallèles de direction NNE. Baytilaye est surtout marquée par une forte densité de cours d'eau. Elles sont marquées par des schistes et veines de quartz avec tourmaline, hématite, limonite, silice, chlorite, carbonate et sulfures.

Les échantillons ont donnés quelques résultats positifs (voir Tableau 18). Les roches minéralisées sont principalement des veines de quartz-tourmaline qui se produisent dans les couloirs de cisaillement. Le plus important de ceux-ci sont les veines de quartz laiteux cisillés avec de la pyrite oriente NNE situé à l'ouest de la zone où 3 échantillons ont retourné test > 1g / t (tableau 2, figure 5).



**Tableau 19 : tableau récapitulatif des meilleures interceptions de Baytilaye Est**

Baytilaye East Rock samples best results					
Sample ID	Au ppm	Orig East	Orig North	Sample Description	Comments
BLRX-0039	0.20	220,157	1,409,705	Milky quartz vein with needles of tourmaline, and pyrite	New sampling March 2016
BLRX-0042	1.61	219,949	1,410,342	Brecciated Milky quartz vein with sulphides	New sampling March 2016
BLRX-0052	0.15	219,928	1,409,931	White quartz vein with hematite strongly oxidised	New sampling March 2016
BLRX-0064	0.29	220,674	1,409,855	Strongly oxidised with kaolinite and veins	New sampling March 2016
BLRX-0066	0.23	220,602	1,409,852	Sheared siltstone with quartz-tml vein weak kaolinite	New sampling March 2016
BLRX-0005	0.12	219937	1409981	Milky-grey quartz with Fe-Ox filling fracture as well as minor MnO. Vein trending NE-SW. Minor localised limonite staining).	Historic samples
BLRX-0006	1.37	219966	1410013	Milky-grey quartz with Fe-Ox filling fracture as well as minor MnO. Vein trending NE-SW. Minor localised limonite staining).	Historic samples
BLRX-0007	1.16	219974	1410021	Milky-grey quartz with Fe-Ox filling fracture as well as minor MnO. Vein trending NE-SW. Minor localised limonite staining).	Historic samples

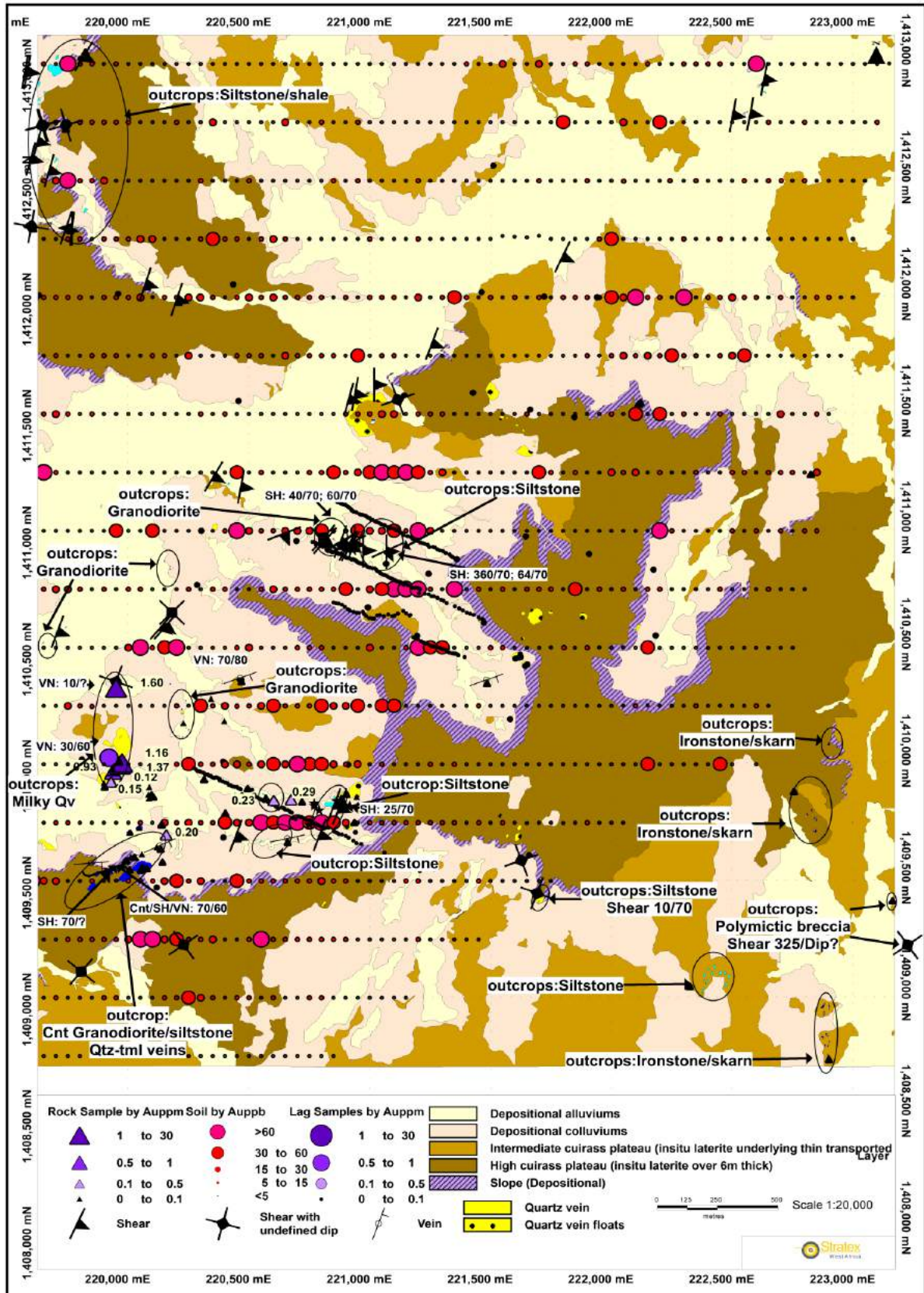


Figure 43 : Carte montrant la régolithe et les échantillons rock et « lag » et leurs résultats dans la zone de Baytilaye Est

## 6.2.2 Baytilaye Ouest

La cartographie régolite est principalement constituée de latérite avec des affleurements sur de petites collines et dans des zones de dépression. Les faciès lithologiques rencontrés sont granites et de granodiorites et des volcano-sédiments constitués de siltstones et de shales et des veines de quartz-tourmaline. Ces affleurement constituent de petites butes à l'intérieur de colluvions. Cette zone est très escarpée par les nombreux marigots qui sont déversés dans le secteur par gravité donc provenant principalement des escarpements du plateau latéritique.

Les échantillons ont donnés quelques résultats positifs (voir Tableau 21).

**Tableau 20 : tableau récapitulant les meilleures interceptions de Baytilaye Ouest**

Baytilaye West Rock samples Best results					comments
SampleID	Au ppm	Orig North	Orig East	Sample_Description	
BLRX-0106	0.103	1,407,309	212,968	Sheared quartz Veins with strong tml+ hematite+box work+pyrite	New sampling
BLRX-0110	0.127	1,407,334	212,980	Sheared quartz Veins with strong tml+ hematite+box work+pyrite	New sampling
BLRX-0111	1.234	1,407,238	212,938	Sheared quartz Veins with strong tml+ hematite+box work+pyrite	New sampling
BLRX-0123	1.374	1,406,521	214,698	Quartz-tourmaline vein/ presence of box of pyrite and protolite of siltstone	New sampling
BLRX-0155	0.185	1,408,076	212,638	Strongly sheared sediments with quartz-tourmaline veins/ presence of Sulphides	New sampling
BLRX-0156	0.49	1,407,374	213,000	Strongly sheared sediments with quartz-tourmaline veins/ presence of sulphides	New sampling
BLRX-0157	0.354	1,407,431	212,020	Strongly sheared sediments with quartz-tourmaline veins/ presence of sulphides	New sampling
BLRX-0158	0.458	1,407,205	212,919	Strongly sheared sediments with quartz-tourmaline veins/ presence of Sulphides	New sampling
BLRX-0164	0.18	1,407,482	213,025	Strongly sheared sediments with quartz-tourmaline veins/ presence of Sulphides	New sampling
BLRX-0165	0.921	1,407,532	213,043	Strongly sheared sediments with quartz-tourmaline veins/ presence of sulphides	New sampling
BLR-014	3.81	213310	1408014	Strongly sheared sediments with quartz-tourmaline veins/ presence of Sulphides	Historic samples
BLR-012	3.790	213614	1408472	Smoky Quartz Vein sheared N 30	Historic samples
BLR-016	1.34	213197	1407893	Strongly sheared sediments with quartz-tourmaline veins/ presence of Sulphides	Historic samples
BLR-037	1.075	214707	1406444	Strongly sheared sandstones with quartz-tourmaline veins/ presence of Sulphides	Historic samples
BLR-009	0.750	213623	1408483	Smoky Quartz Vein sheared N 30	Historic samples
BLR-015		213282	1407974	Strongly sheared sediments with quartz-tourmaline veins/ presence of Sulphides	Historic samples



Une compilation des données antérieures avec la cartographie a été effectuée afin de pouvoir mieux comprendre le prospect. Les données acquies ont été compilées dans la base GIS de stratex. Par ailleurs l'interprétation des images obtenues à partir de la géophysique a permis de mieux identifier les structures potentiellement minéralisées et de confirmer les hypothèses émises lors de la cartographie.

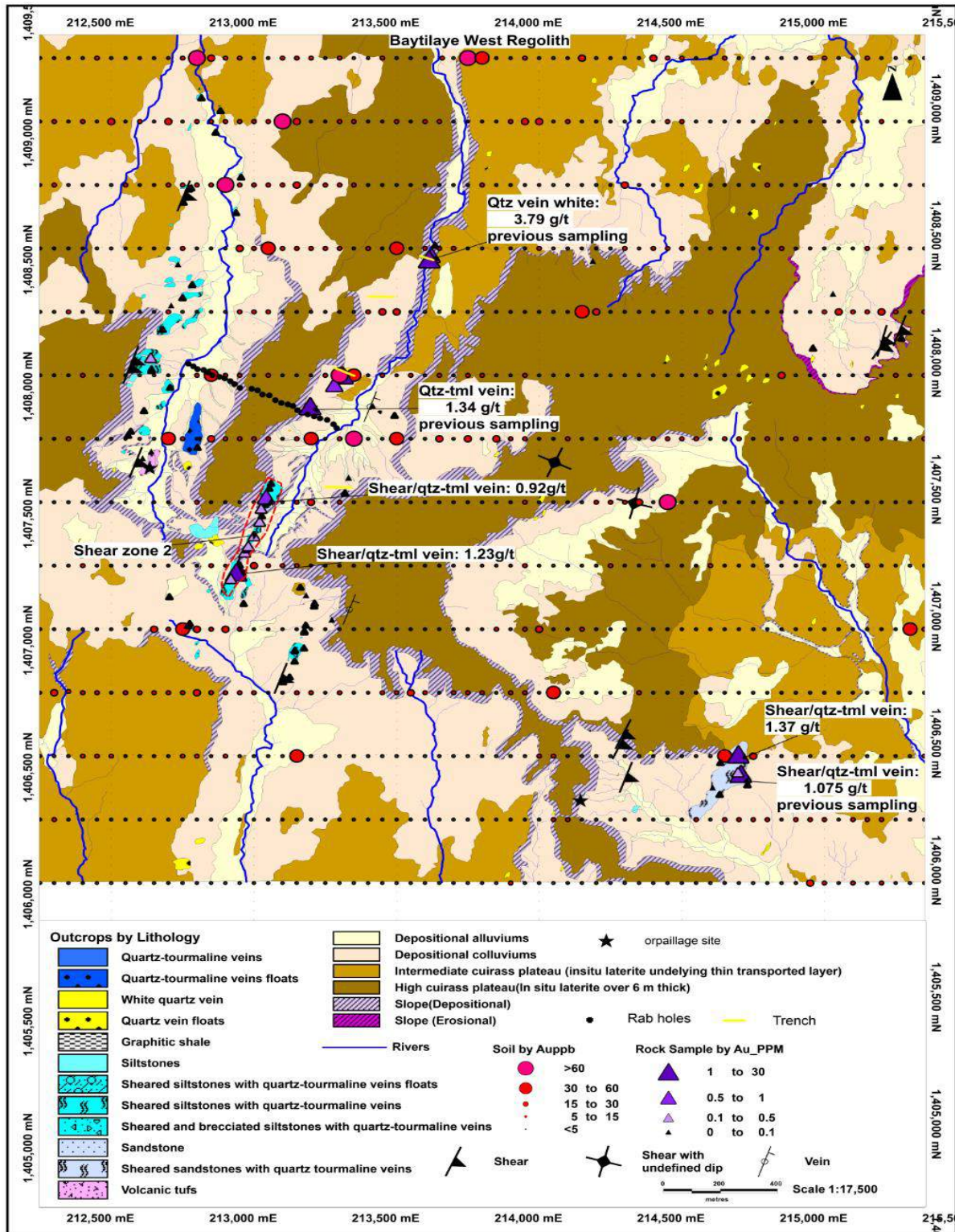


Figure 44 : Carte montrant la régolithe et les échantillons rock et « lag » et leurs résultats dans la zone de Baytilaye Ouest

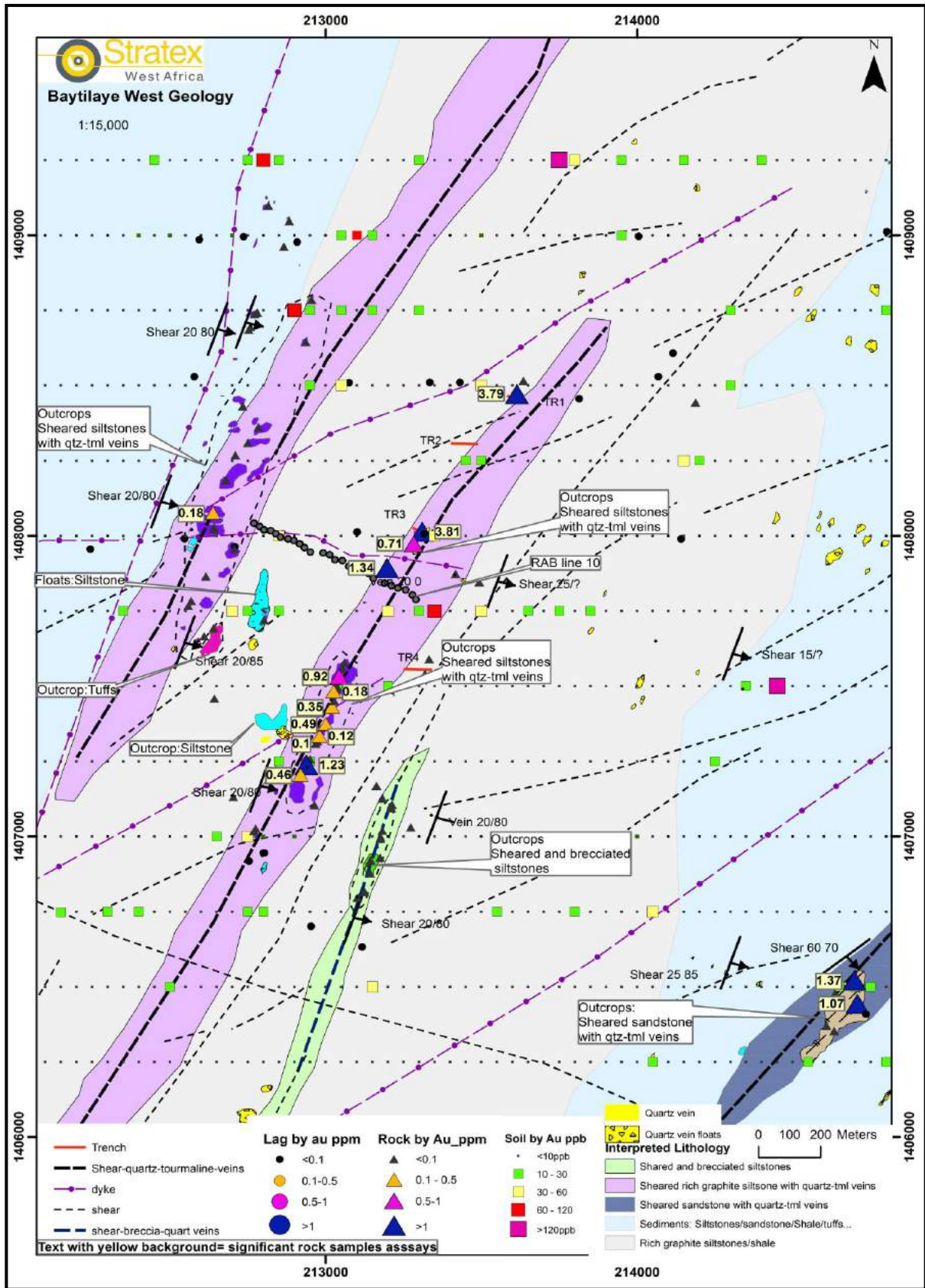


Figure 45 : Géologie de Baytilaye ouest



## 7 Programmes.

L'ensemble des résultats obtenus par la géochimie et la cartographie associée à l'interprétation des images de la géophysique, ont permis de projeter différents travaux pour le permis . Il s'agit :

- Poursuite l'échantillonnage sol dans les prospects de Baytilaye et Fare Quelques nouvelles zones d'intérêt ont été ciblées pour la suite des activités d'exploration dans le permis (Voir le tableau 19 et la figure 46 pour plus de détails)

**Tableau 21 : Détails du programme d'échantillonnage a Fare**

Polygon_id	Polygon Area (km2)	Priority	Numb of samples points	QAQC samples	Total P1	Total P2	Grand Total	Comments
5	7.40	P1	598	42	640		640	Test the possible continuity to the SW of Fare south anomaly
6	15.14	P2	1210	85		1295	1295	Targeting NNE structures, rhological contrast, mag activity
7	1.79	P1	109	8	117		117	Target the possible extension of Fare noth soil
8	4.25	P1	312	22	334		334	Target possible extension of soil anomalies at the edge of previous infill sampling block
<b>Total</b>					<b>1090</b>	<b>1295</b>	<b>2385</b>	



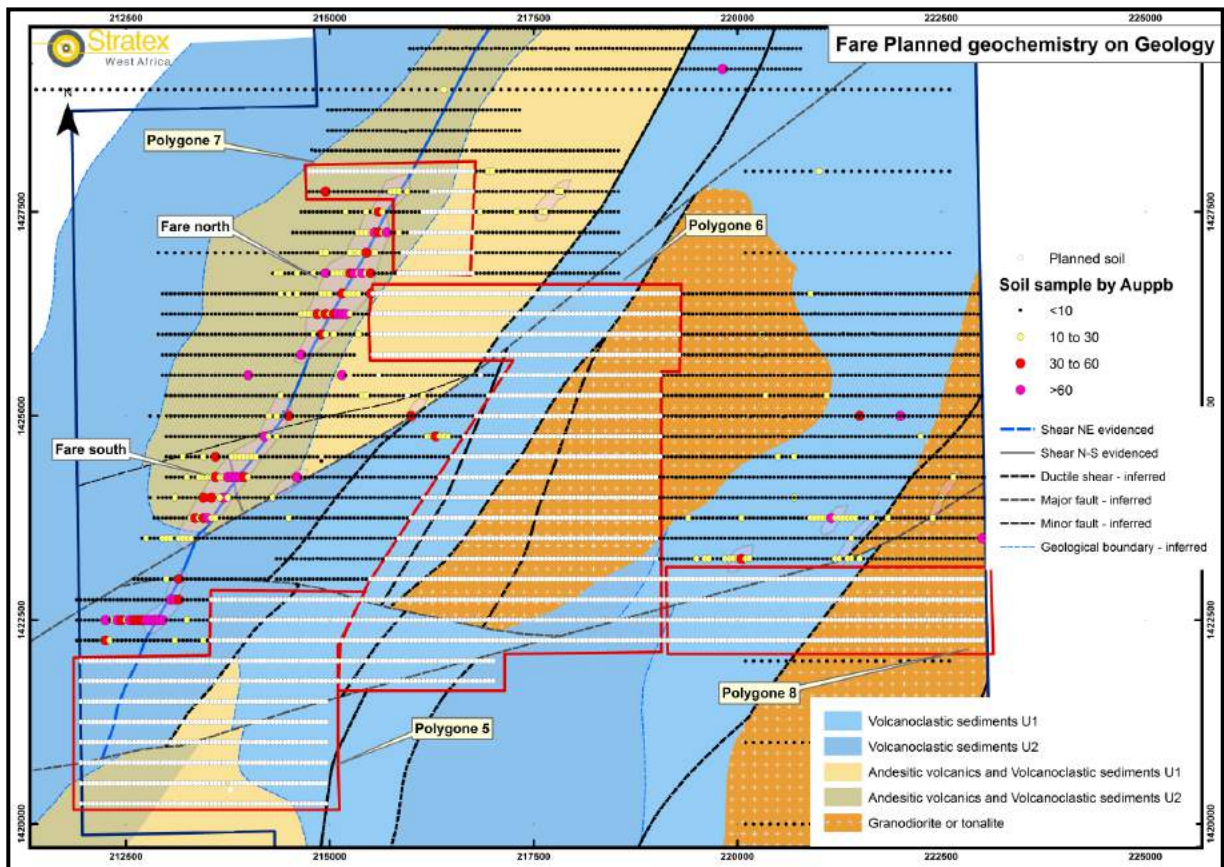


Figure 46 : Programme de géochimie sol sur Faré

- Programme de sondage RC suivant les anomalies Sol à faré et Baytilaye RC soit 2160m de avec des trous de profondeur moyenne de 40m sera réalisé à Fare. L'objectif était de suivre les anomalies révélées par la géochimie de surface en vue de définir de nouvelles pour des investigations plus approfondies. Les trous seront forés avec azimuth de 295 avec une inclinaison de 50 degrés. Se reporter Figure47 pour les détails.

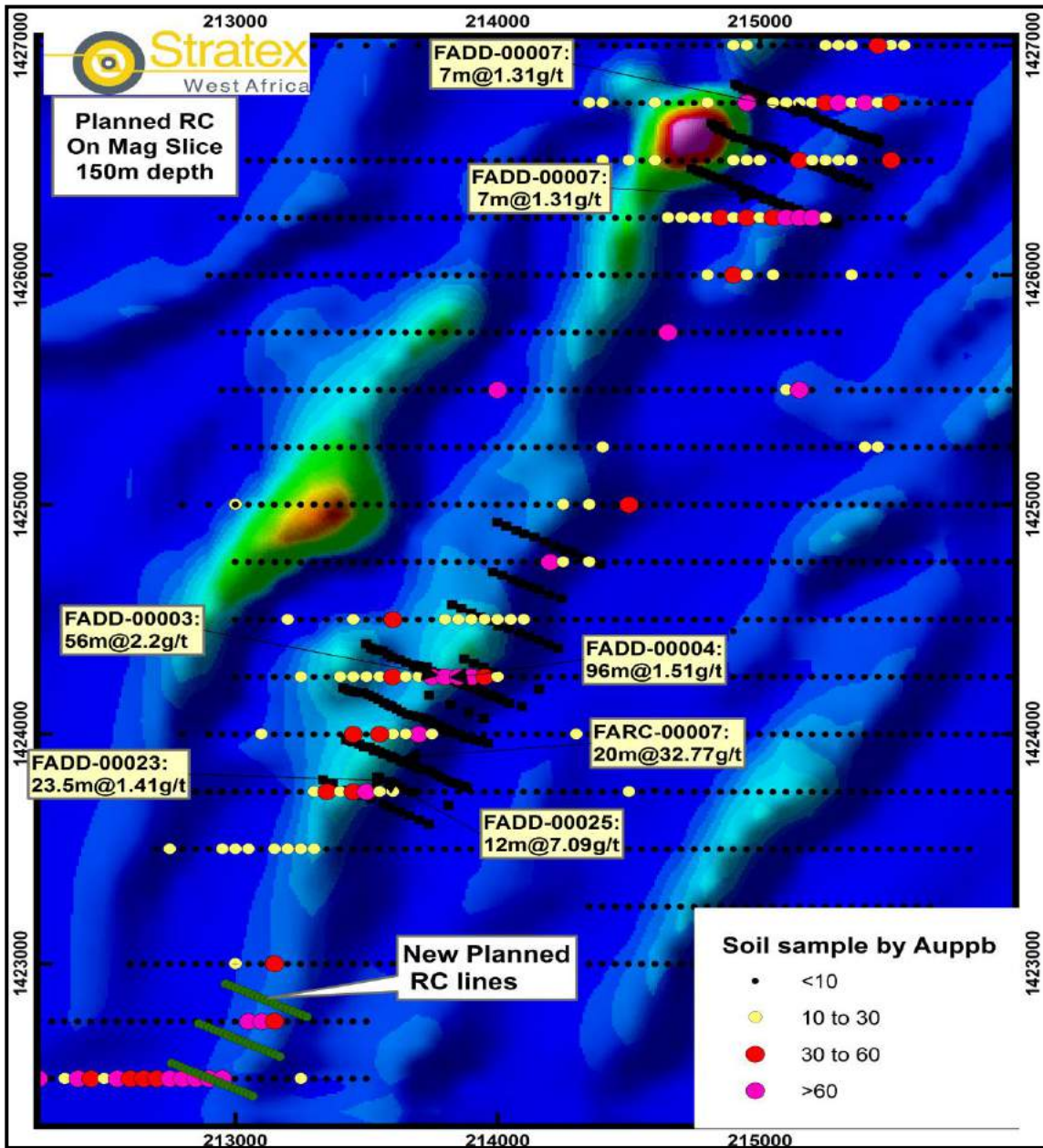


Figure 47 : Programme RC prévu sur l'extension sud de Fare



- Programme de sondage RC suivant les anomalies Soil à Baytilaye
- Programme de tranchées seront creusées à Baytilaye. avec comme objectif d'exposer les facies sous-jacentes à la régolithe épaisse précédemment cartographiée afin d'en déterminer l'attitude des structures minéralisées les traversant pour une meilleure planification ultérieure des sondages.

Tableau 22 : Détails des programmes prévus à Baytilaye

Baytilaye Proposed Planned Exploration work								
Prospect	Trenches		Trenches meterage		RC holes		RC meterage	
	Priority 1	Priority 2	Priority1	Priority2	Priority1	Priority2	Priority1	Priority2
Baytilaye West	3	1	420	140	58	60	2320	2400
Baytilaye East	2	0	450	0	94	78	3760	3120
Total	5	1	870	140	152	138	6080	5520

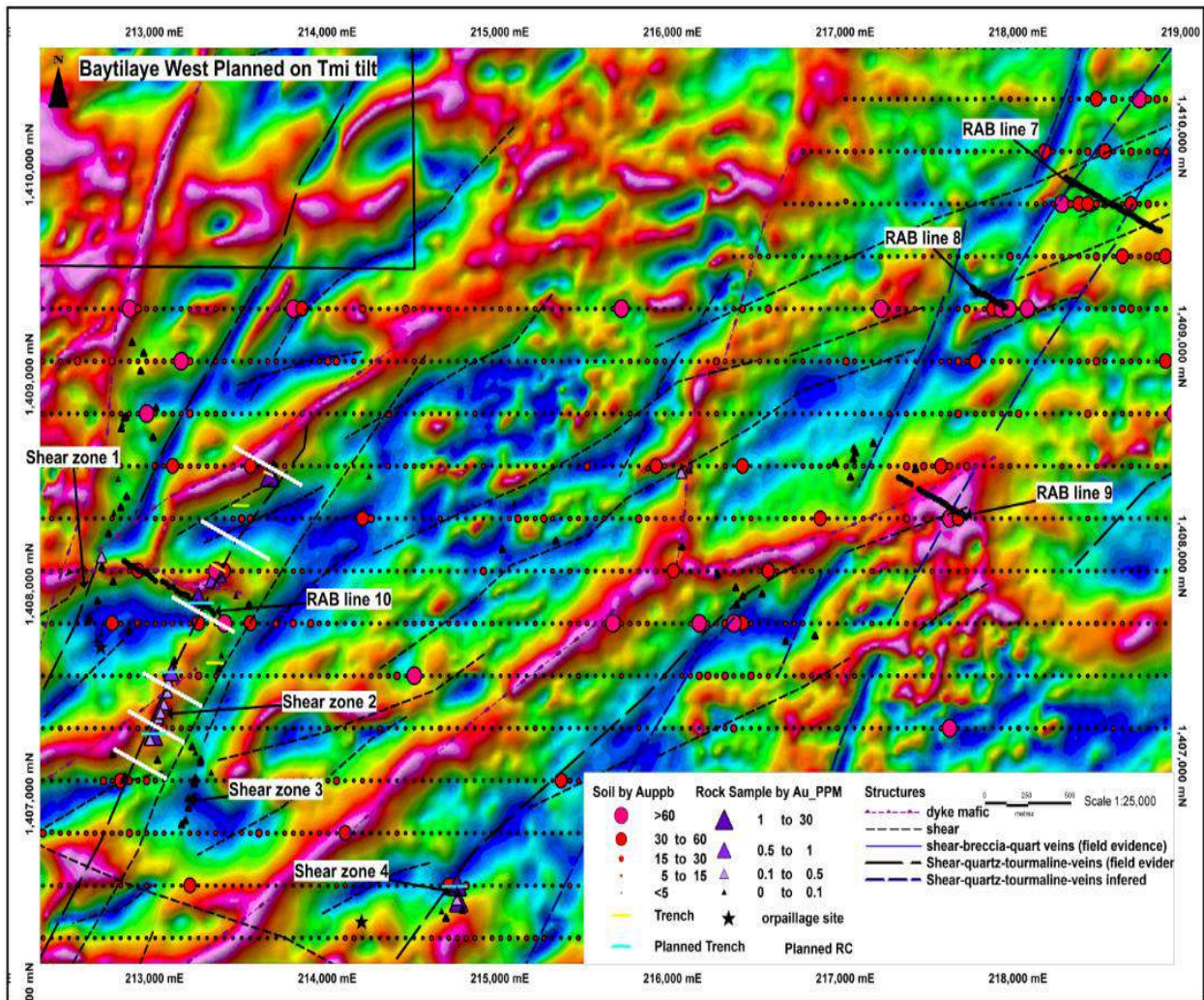


Figure 48 : Programme prévu à Baytilaye ouest sur TMI tilt



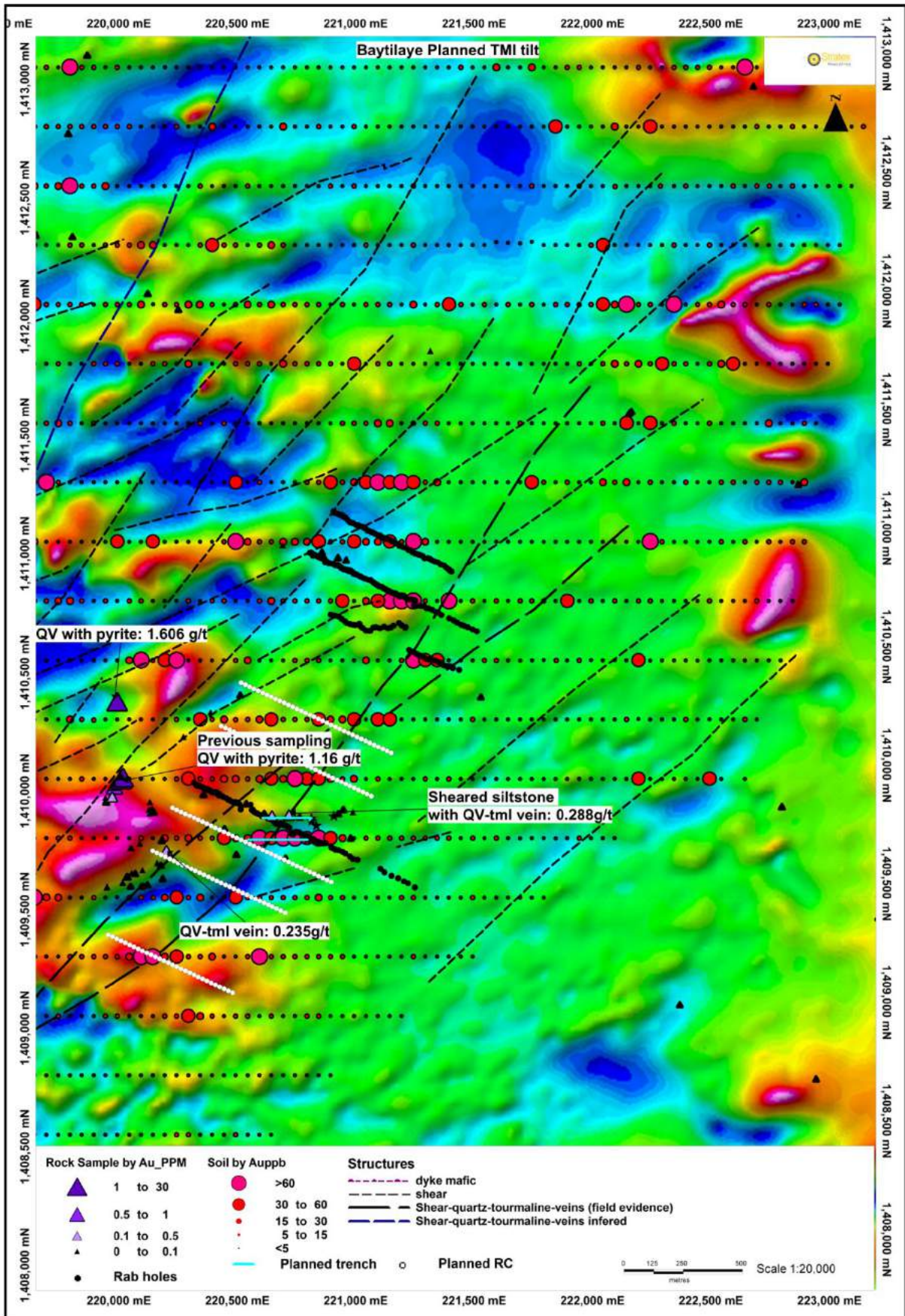


Figure 49 : Programme prévu a Baytilaye Est sur TMI tilt

## 8 Dépenses réalisées 2013- 2016

Les dépenses réalisées entre Janvier 2013 et Aout 2015 s'élèvent au montant cumulé de **5.796.675 \$ USD**.

## 9 Budget prévisionnel 2016-2019

DEPENSES PREVISIONNELLES (2016-2019)			
Descriptions	Détail	Total (\$) USD	%
Sondages Miniers	5000 m	1 200 000	40%
Tranchées	2000 m	200 000	7%
Cartographie	échelle 1:4000	75 000	2%
Frais d'analyse d'échantillons		400 000	13%
Administration et gestion		700 000	23%
Personnel		300 000	10%
Environnement		150 000	5%
<b>Total Budget Prévisionnel (2016-2019)</b>		<b>3 025 000</b>	<b>100%</b>

## 10 Conclusions et Perspectives

Les travaux effectués en 2015 et 2016 nous ont permis de mieux définir les cibles identifiés par les travaux précédents et de prioriser les cibles les plus prometteuses.

Nous planifions donc des travaux de forage, d'échantillonnage et de de tranchée allant dans le sens de trouver les extensions de la minéralisation a Faré sud et a Baytilaye.

La JV EMC/Stratex mettra en place les fonds nécessaires pour mener à bien ces travaux.

Les travaux effectués en **2015 et 2016** nous ont permis de mieux définir les cibles identifiés par les travaux précédents et de prioriser les cibles les plus prometteuses.

Nous planifions donc des travaux de forage allant dans le sens de trouver les extensions de la minéralisation a **Faré sud** et a **Madina Bafe** avec l'objectif de déclarer une ressource le plus tôt possible.

# **ENERGY AND MINING CORPORATION-SA**

## **ETATS FINANCIERS ARRETES AU 31 DECEMBRE 2015**

*Mai 2016*



**Dakar, le 18 Avril 2016**

**Energy And Mining Corporation- SA  
Sacré Cœur III N° 9231  
DAKAR**

**Monsieur le Président Directeur Général,**

Nous avons le plaisir de vous présenter les états financiers de la société EMC- SA au 31 décembre 2015.

Le bilan, le compte de résultat et le TAFIRE y afférents ont été élaborés sur la base des informations dûment justifiées qui nous ont été communiquées par le service comptable.

Nous vous en souhaitons bonne réception, et vous prions d'agréer, Monsieur le Président Directeur Général, l'expression de nos sentiments distingués.

**Le Gérant**

**Mbaye THIAW**

# **SOMMAIRE**

# **Page**

---

<b>I - NOTE SUR LES PRINCIPES COMPTABLES</b>	<b>4</b>
<b>II - ÉTATS FINANCIERS</b>	<b>6</b>
- Bilan	
- Compte de résultat	
- TAFIRE	
<b>III - DÉTAIL DES COMPTES</b>	<b>19</b>
1 - Détail des comptes d'actif	
2 - Détail des comptes du passif	
3 - Détail des comptes de charges	
4 - Détail des comptes de produits	
<b>IV – ANNEXE</b>	<b>27</b>
1 – Détermination résultat fiscal	

## **I - NOTE SUR LES PRINCIPES COMPTABLES**

Les états financiers de la Société Anonyme Energy and Mining Corporation au 31 décembre 2015 ont été élaborés dans une hypothèse de continuité de l'exploitation, en conformité avec les règles, normes et usages en vigueur.

Les principes directeurs ayant guidé leur établissement se présentent ainsi qu'il suit.

### **1) ACTIF IMMOBILISE :**

Il est constitué de biens acquis pour servir durablement et sous la même forme dans l'Etude.

Ces biens sont comptabilisés à leur coût d'acquisition.

La dépréciation physique des biens immobilisés est constatée en comptabilité au travers d'amortissements déterminés selon la méthode linéaire, sur leur durée de vie estimée.

- Charges immobilisées	20%
- Logiciels	25 %
- Bâtiments :	5 %
- Mobilier de bureau	10 %
- Matériel de bureau	15 à 25 %
- Agencements et aménagements de bureau	15 à 25 %
- Matériel de transport	25 %

Les dépôts et cautionnements sont constitués de sommes déposées auprès de tiers en garantie d'engagements à honorer (paiements à effectuer, services à rendre, ...)

### **2) ACTIF CIRCULANT**

Les comptes de cette rubrique enregistrent les opérations concernant les relations avec les tiers, les opérations ayant un caractère financier, et par extension, les écritures de régularisation des charges et des produits.

Le solde des comptes clients résulte des facturations effectives et des règlements enregistrés.

Le compte "charges constatées d'avance" est utilisé pour répartir les charges dans le temps, de manière à rattacher à chaque exercice déterminé toutes les charges le concernant effectivement, et ceux-là seulement.



Les comptes de trésorerie sont mouvementés sur la base des chèques et autres titres de paiement émis, ainsi que des avis de crédit reçus des banques.

### **3) – COMPTE DE TRESORERIE**

Ces comptes enregistrent les mouvements financiers de l'entreprise, caractérisés par leur liquidité immédiate. Il s'agit essentiellement des mouvements en espèces, chèques, des opérations réalisées avec les institutions financières.

Les soldes débiteurs et les soldes créditeurs des comptes doivent apparaître respectivement à l'actif et au passif du bilan sans qu'il soit possible d'opérer des compensations entre les différents mouvements.

### **4) – RESSOURCES DURABLES**

Les comptes de ressources durables sont constitués par des moyens de financement dont dispose l'entreprise de façon permanente ou durable.

Il s'agit dans le cas d'espèce, du capital social, des réserves, du résultat et des provisions financières liées au départ à la retraite du personnel.

### **5) – PASSIF CIRCULANT**

Il comprend les dettes dues aux fournisseurs, aux organismes sociaux et à l'Etat ainsi que les provisions à court terme.

La diminution des dettes se traduit pour l'entreprise à une sortie de ressources représentatives d'avantages économiques alors que les provisions disparaissent par le billet d'une reprise.

# ÉTATS FINANCIERS

## BILAN

ACTIF	Exercice N			N - 1
	Brut	Amort. /Prov.	Net	Net
<b>ACTIF IMMOBILISE (1)</b>				
<b>Charges immobilisées</b>				
Frais d'établissement et charges à répartir	0		0	0
Primes de remboursement des obligations	0		0	0
<b>Immobilisations incorporelles</b>				
Frais de recherche et de développement	0	0	0	0
Brevets, licences, logiciels	4 537 526	4 537 525	1	1
Fonds commercial	0	0	0	0
Autres immobilisations incorporelles	0	0	0	0
<b>Immobilisations corporelles</b>				
Terrains	0	0	0	0
Bâtiments	0	0	0	0
Installations et agencements	47 248 877	9 591 647	37 657 230	42 442 118
Matériel	76 368 038	47 978 603	28 389 435	25 736 537
Matériel de transport	147 713 698	133 870 836	13 842 862	32 708 275
<b>Avances et acomptes versés sur Immobilisations</b>	0	0	0	0
<b>Immobilisations financières</b>				
Titres de participation	0	0	0	0
Autres immobilisations financières	4 948 540	0	4 948 540	4 130 715
( <sup>1</sup> ) dont H.A.O. :				
Brut :				
Net :				
<b>TOTAL ACTIF IMMOBILISE (1)</b>	<b>280 816 679</b>	<b>195 978 611</b>	<b>84 838 068</b>	<b>105 017 646</b>



ACTIF	Exercice N			N - 1
	Brut	Amort. /Prov.	Net	Net
<b>Report Total Actif immobilisé</b>	<b>280 816 679</b>	<b>195 978 611</b>	<b>84 838 068</b>	<b>105 017 646</b>
<b>ACTIF CIRCULANT</b>				
<b>Actif circulant H.A.O.</b>	0	0	0	0
<b>Stocks</b>				
Marchandises	0	0	0	0
Matières premières et autres approvisionnements	0	0	0	0
En-cours	0	0	0	0
Produits fabriqués	0	0	0	0
<b>Créances et emplois assimilés</b>				
Fournisseurs, avances versées	0	0	0	0
Clients	469 077 409	0	469 077 409	139 948 651
Autres créances	118 129 623	0	118 129 623	202 369 474
<b>TOTAL ACTIF CIRCULANT (II)</b>	<b>587 207 032</b>	<b>0</b>	<b>587 207 032</b>	<b>342 318 125</b>
<b>TRESORERIE – ACTIF</b>				
Titres de placement	0	0	0	0
Valeurs à encaisser	0	0	0	0
Banques, chèques postaux, caisse	14 284 883	0	14 284 883	9 461 920
<b>TOTAL TRESORERIE ACTIF (III)</b>	<b>14 284 883</b>	<b>0</b>	<b>14 284 883</b>	<b>9 461 920</b>
Ecarts de conversion - Actif (IV) (perte probable de change)	0		0	0
<b>TOTAL GENERAL (I + II + III + IV)</b>	<b>882 302 594</b>	<b>195 978 611</b>	<b>686 329 983</b>	<b>456 797 691</b>

<b>PASSIF</b> (avant répartition)	<b>N</b>	<b>N - 1</b>
<b>CAPITAUX PROPRES ET RESSOURCES ASSIMILEES</b>		
<b>Capital</b>	250 000 000	250 000 000
Actionnaires capital non appelé	-	0
<b>Primes et Réserves</b>		
Primes d'apport, d'émission, de fusion	0	0
Ecart de réévaluation	0	0
Réserves indisponibles	0	0
Réserves libres	0	0
Report à nouveau (+ ou -)	-39 875 140	-50 859 214
<b>Résultat net de l'exercice</b> (bénéfice + ou perte -)	32 030 898	10 984 074
<b>Autres capitaux propres</b>		
Subventions d'investissement	0	0
Provisions réglementées et fonds assimilés	0	0
<b>TOTAL CAPITAUX PROPRES (I)</b>	<b>242 155 758</b>	<b>210 124 860</b>
<b>DETTES FINANCIERES ET RESSOURCES ASSIMILEES (1)</b>		
Emprunts	0	0
Dettes de crédit-bail et contrats assimilés	0	0
Dettes financières diverses	0	0
Provisions financières pour risques et charges	15 690 272	11 966 017
(1) dont H.A.O. :		
<b>TOTAL DETTES FINANCIERES (II)</b>	<b>15 690 272</b>	<b>11 966 017</b>
<b>TOTAL RESSOURCES STABLES (I + II)</b>	<b>257 846 030</b>	<b>222 090 877</b>

<b>PASSIF</b> (avant répartition)	<b>N</b>	<b>N - 1</b>
<b>Report Total ressources stables</b>	<b>257 846 030</b>	<b>222 090 877</b>
<b>PASSIF CIRCULANT</b>		
Dettes circulantes H.A.O. et ressources assimilées	0	0
Clients, avances reçues	0	0
Fournisseurs d'exploitation	5 978 891	4 433 420
Dettes fiscales	46 806 183	118 496 139
Dettes sociales	16 755 085	8 980 906
Autres dettes	299 377 917	23 080 224
Risques provisionnés	0	0
<b>TOTAL PASSIF CIRCULANT (III)</b>	<b>368 918 076</b>	<b>154 990 689</b>
<b>TRESORERIE – PASSIF</b>		
Banques, crédits d'escompte	0	0
Banques, crédits de trésorerie	0	0
Banques, découverts	59 565 877	79 716 125
<b>TOTAL TRESORERIE PASSIF (IV)</b>	<b>56 565 877</b>	<b>79 716 125</b>
<b>Ecart de conversion - Passif (V)</b> (gain probable de change)	0	0
<b>TOTAL GENERAL (I + II + III + IV + V)</b>	<b>686 329 983</b>	<b>456 797 691</b>

**COMPTE RESULTAT**

<b>CHARGES (1ère partie)</b>	<b>N</b>	<b>N - 1</b>
<b>ACTIVITE D'EXPLOITATION</b>		
Achats de marchandises	0	0
- Variation de stocks (- ou +)	0	0
<i>(Marge brute sur marchandises voir TB)</i>		
Achats de matières premières et fournitures liées	0	0
- Variation de stocks (- ou +)	0	0
<i>(Marge brute sur matières voir TG)</i>		
Autres achats	25 648 499	32 473 956
- Variation de stocks (- ou +)	0	0
Transports	1 411 516	1 579 130
Services extérieurs	92 617 737	94 260 721
Impôts et taxes	662 710	118 777 478
Autres charges	40 898 376	45 584 629
<i>(Valeur ajoutée voir TN)</i>		
Charges de personnel (1)	233 702 773	211 500 217
(1) dont personnel extérieur	21 612 707	26 881 578
<i>(Excédent brut d'exploitation voir TQ)</i>		
Dotations aux amortissements et aux provisions	33 945 290	36 343 899
<b>TOTAL DES CHARGES D'EXPLOITATION</b>	<b>428 916 901</b>	<b>540 520 030</b>
<i>(Résultat d'exploitation voir TX)</i>		



<b>CHARGES (2ème partie)</b>	<b>N</b>	<b>N - 1</b>
<b>Report des charges d'exploitation</b>	<b>428 916 901</b>	<b>540 520 030</b>
<b>ACTIVITE FINANCIERE</b>		
Frais financiers	6 422 958	3 847 866
Pertes de change	0	0
Dotations aux amortissements et aux provisions	0	0
<b>Total des charges financières</b>	<b>6 422 958</b>	<b>3 847 866</b>
<i>(Résultat financier voir UG)</i>		
<b>Total des charges des activités ordinaires</b>	<b>435 339 859</b>	<b>544 367 896</b>
<i>(Résultat des activités ordinaires voir UI)</i>		
<b>HORS ACTIVITES ORDINAIRES (H.A.O.)</b>		
Valeurs comptables des cessions d'immobilisations	0	0
Charges H.A.O.	0	0
Dotations H.A.O.	0	0
<b>Total charges H.A.O.</b>	<b>0</b>	<b>0</b>
<i>(Résultat H.A.O. voir UP)</i>		
Participation des travailleurs	0	0
Impôts sur le résultat	0	0
<b>Total participation et impôts</b>	<b>0</b>	<b>0</b>
<b>TOTAL GENERAL DES CHARGES</b>	<b>435 339 859</b>	<b>544 367 896</b>
<i>(Résultat net voir UZ)</i>		

<b>PRODUITS (1ère partie)</b>	<b>N</b>	<b>N - 1</b>
<b>ACTIVITE D'EXPLOITATION</b>		
Ventes de marchandises	0	0
MARGE BRUTE SUR MARCHANDISES	0	0
Ventes de produits fabriqués	0	0
Travaux, services vendus	134 098 275	140 000 000
Production stockée (ou déstockage) (+ ou -)	0	0
Production immobilisée	0	0
MARGE BRUTE SUR MATIERES	134 098 275	140 000 000
Produits accessoires	0	0
CHIFFRE D'AFFAIRES	134 098 275	140 000 000
(1) dont à l'exportation	0	0
Subventions d'exploitation	0	0
Autres produits	333 272 482	415 351 970
VALEUR AJOUTEE	306 131 919	262 676 056
EXCEDENT BRUT D'EXPLOITATION	72 429 146	51 175 839
Reprises de provisions	0	0
Transferts de charges	0	0
<b>TOTAL DES PRODUITS D'EXPLOITATION</b>	<b>467 370 757</b>	<b>555 351 970</b>
RESULTAT D'EXPLOITATION	38 453 856	14 831 940
Bénéfice (+) ; Perte (-)		

<b>PRODUITS (2ème partie)</b>	<b>N</b>	<b>N - 1</b>
<b>Report des produits d'exploitation</b>	<b>467 370 757</b>	<b>555 351 970</b>
<b>ACTIVITE FINANCIERE</b>		
Revenus financiers	0	0
Gains de change	0	0
Reprises de provisions	0	0
Transferts de charges	0	0
<b>Total des produits financiers</b>	<b>0</b>	<b>0</b>
<b>RESULTAT FINANCIER (+ ou -)</b> <input type="text" value="-6 422 958"/> <input type="text" value="-3 847 866"/>		
<b>Total des produits des activités ordinaires</b>	<b>467 370 757</b>	<b>555 351 970</b>
<b>RESULTAT DES ACTIVITES ORDINAIRES (¹)</b>		
(+ ou -) <input type="text" value="32 030 898"/> <input type="text" value="10 984 074"/>		
(¹) dont impôt correspondant : _____		
<b>HORS ACTIVITES ORDINAIRES (H.A.O.)</b>		
Produits des cessions d'immobilisations	0	0
Produits H.A.O.	0	0
Reprises H.A.O.	0	0
Transferts de charges	0	0
<b>Total des produits H.A.O.</b>	<b>0</b>	<b>0</b>
<b>RESULTAT H.A.O. (+ ou -)</b> <input type="text" value="0"/> <input type="text" value="0"/>		
<b>TOTAL GENERAL DES PRODUITS</b>	<b>467 370 757</b>	<b>555 351 970</b>
<b>RESULTAT NET</b> <input type="text" value="32 030 898"/> <input type="text" value="10 984 074"/> Bénéfice (+) ; Perte (-)		

**TABLEAU FINANCIER DES RESSOURCES ET DES EMPLOIS (TAFIRE)**

**1ère PARTIE : DETERMINATION DES SOLDES FINANCIERS DE L'EXERCICE**

**• CAPACITE D'AUTOFINANCEMENT GLOBALE (C.A.F.G.)**

CAFG = EBE

- Charges décaissables restantes} à l'exception des cessions
- + Produits encaissables restants} d'actif immobilisé

Frais financiers	6 422 958	<b>E.B.E.</b>	72 429 149
		transferts de charges d'exploitation	0
Pertes de change	0	Revenus financiers	0
Charges H.A.O.	0	Transferts de charges financières	0
Participation	0	Gains de change	0
Impôts sur le résultat	0	Produits H.A.O.	0
		Transferts de charges H.A.O.	0
<b>Total (I)</b>	<b>6 422 958</b>		<b>Total (II)</b> <b>72 429 146</b>

CAFG : Total (II) - Total (I) = = 66 006 188 **XA** (N - 1) : 47 327 973

**• AUTOFINANCEMENT (A.F.)**

AF = CAFG - Distributions de dividendes dans l'exercice (1)

AF = 66 006 188 0 = 66 006 188 **XB** (N - 1) : 47 327 973

**• VARIATION DU BESOIN DE FINANCEMENT D'EXPLOITATION (B.F.E)**

Var. BFE = Var. Stocks (2) + Var. Créances (2) + var. Dettes circulantes (2)

Variation des stocks : N - (N-1)	Emplois augmentation (+)		Ressources diminution (-)
Marchandises		ou	
Matières premières		ou	
En-cours		ou	
Produits fabriqués		ou	
Variation nette globale des stocks		ou	

(1) Dividendes mis en paiement au cours de l'exercice y compris les acomptes sur dividendes

(2) A l'exclusion des éléments H.A.O.

Variation des créances : N - (N-1)	Emplois augmentation (+)		Ressources diminution (-)
Fournisseurs, avances versées		ou	
Clients	329 128 758	ou	
Autres créances		ou	84 239 851
Ecart de conversion - Actif (1)		ou	
<b>(B) Variation globale nette des créances</b>	<b>244 888 907</b>	ou	
Variation des dettes circulantes : N - (N-1)	Emplois diminution (-)		Ressources augmentation (+)
Clients, avances reçues		ou	
Fournisseurs d'exploitation		ou	1 545 471
Dettes fiscales	71 689 956	ou	
Dettes sociales		ou	7 774 179
Autres dettes		ou	276 297 693
Risques provisionnés		ou	
Ecart de conversion - Passif (1)		ou	
<b>(C) Variation globale nette des dettes circulantes</b>		ou	<b>213 927 387</b>

**VARIATION DU B.F.E = (A) + (B) + (C)** **XC** **30 961 520** ou

**• EXCEDENT DE TRESORERIE D'EXPLOITATION (E.T.E.)**

ETE = EBE - Variation BFE - Production immobilisée

	Exercice N	N - 1
Excédent Brut d'exploitation	72 429 149	51 175 839
- Variation du BFE (- si emploi ; + si ressources) (- ou +)	-30 961 5204	-63 747 664
- Production immobilisée	0	0
<b>EXCEDENT DE TRESORERIE D'EXPLOITATION</b>	<b>41 467 626</b>	<b>-12 571 825</b>

(1) En cours d'adoption



	Exercice N		N - 1
	Emplois	Ressources	(E - ; R +)
<b>I - INVESTISSEMENTS ET DESINVESTISSEMENTS</b>			
Charges immobilisées (augmentations dans l'exercice)	0		0
<b>Croissance interne</b>			
Acquisitions/Cessions d'immobilisations incorporelles	0	0	0
Acquisitions/Cessions d'immobilisations corporelles	9 253 632	0	58 958 210
<b>Croissance externe</b>			
Acquisitions/Cessions d'immobilisations financières	2 066 329	1 248 504	1 213 185
<b>INVESTISSEMENT TOTAL</b>	<b>10 071 457</b>		<b>60 171 395</b>
<b>II - VARIATION DU BESOIN DE FINANCEMENT D'EXPLOITATION (cf. Supra : Var. B.F.E)</b>	30 961 520	ou	63 747 664
<b>A - EMPLOIS ECONOMIQUES A FINANCER (FF + FG)</b>	<b>41 032 977</b>		<b>123 919 059</b>
<b>III - EMPLOIS/RESSOURCES (B.F. ; H.A.O.)</b>		ou	
<b>IV - EMPLOIS FINANCIERS CONTRAINTS (1)</b> Remboursements (selon échéancier) des emprunts et dettes financières			
(1) A l'exclusion des remboursements anticipés portés en VII			
<b>B - EMPLOIS TOTAUX A FINANCER</b>	<b>41 032 977</b>		<b>123 919 059</b>

	Exercice N		N - 1
	Emplois	Ressources	(E - ; R +)
<b>V - FINANCEMENT INTERNE</b>			
Dividendes (emplois) / C.A.F.G. (Ressources)	0	66 006 188	-47 327 973
<b>VI - FINANCEMENT PAR LES CAPITAUX PROPRES</b>			
Augmentations de capital par apports nouveaux			
Subventions d'investissement			
Prélèvements sur le Capital (y compris retraits de l'exploitant)	0		
<b>VII - FINANCEMENT PAR DE NOUVEAUX EMPRUNTS</b>			
Emprunts (²)		0	
Autres dettes financières (²)		0	
(²) Remboursements anticipés inscrits séparément en emplois			
<b>C - RESSOURCES NETTES DE FINANCEMENT</b>		<b>66 006 188</b>	<b>-47 327 973</b>
<b>D - EXCEDENT OU INSUFFISANCE DE RESSOURCES DE FINANCEMENT (C - B)</b>		<b>ou 24 973 211</b>	<b>76 591 086</b>
<b>VIII - VARIATION DE LA TRESORERIE</b>			
<b>Trésorerie nette</b>			
à la clôture de l'exercice + ou -	-45 280 994		-70 254 205
à l'ouverture de l'exercice + ou -	-70 254 205		6 336 881
<b>Variation Trésorerie :</b> (+ si Emploi) ; - si Ressources)	<b>24 973 211</b>	<b>ou</b>	<b>-76 591 086</b>
Contrôle : D = VIII avec signe opposé			

Nota : I, IV, V, VI, VII : en termes de flux ; II, III, VIII :  
différences "bilancielle"

CONTROLE (à partir des masses des bilans N et N - 1)	Emplois		Ressources
Variation du Fonds de roulement (F.d.R) : FdR (N) - FdR (N - 1)		ou	55 934 731
Variation du B.F. global (B.F.G.) : BFG (N) - BFG (N - 1)	30 961 520	ou	
Variation de la trésorerie (T) : T (N) - T (N - 1)	24 973 211	ou	
<b>TOTAL</b>	<b>55 934 731</b>	<b>=</b>	<b>55 934 731</b>

# DÉTAIL DES COMPTES

## II - DÉTAIL DES COMPTES

### 2.1 - DETAIL DES COMPTES D'ACTIF

#### 2.1.1 Actif immobilisé

Il s'agit des frais de constitution et des frais de fonctionnement antérieurs au démarrage.

#### - Immobilisations corporelles et incorporelles

Désignation	Solde au 31/12/2014	Augmentation	Diminution	Solde au 31/12/2015
Logiciels	4 537 526	0	0	4 537 526
Installations et agenc	47 248 877	0	0	47 248 877
Matériels	67 114 406	9 253 632	0	76 368 038
Matériel de transport	147 713 698	0	0	147 713 698
<b>Totaux</b>	<b>266 614 607</b>	<b>9 253 632</b>	<b>0</b>	<b>275 868 239</b>
Amort Logiciels	4 537 525	0	0	4 537 525
Amort install et agenc	4 806 759	4 784 888	0	9 591 647
Amort matériel	41 377 869	6 600 734	0	47 978 603
Amort mat transport	115 005 423	18 865 413	0	133 870 836
<b>Totaux</b>	<b>165 727 306</b>	<b>30 251 035</b>	<b>0</b>	<b>195 978 611</b>
<b>Net</b>	<b>100 887 301</b>			<b>79 889 628</b>

- Immobilisations financières : **4 948 540**

Les immobilisations financières sont constituées de dépôts et cautionnements versés et des prêts au personnel. Le détail en est le suivant :

. Caution versée à la SENELEC	442 798
. Caution versée à la SDE	89 434
. Caution versée pour Loyer	2 030 000
. Caution versée à la SONATEL	521 627
. Prêt au personnel	1 864 681
	<b>4 948 540</b>



## 2.1.2 - Actif circulant

**587 207 032**

Le solde de cette rubrique se décompose comme suit :

**\* Autres créances** **118 129 623**

Le détail du poste « autres créances » est le suivant :

. Personnel Avance et Acompte	907 156
. Cotisation IPM	3 147 369
. Compte Courant G. Fall	12 500 000
. Compte Courant R. Scharar	518 170
. Stratex International	90 254 290
. ORYX PETROLEUM	5 147 252
. Débiteurs divers	<u>5 655 386</u>
	118 129 623

**\* Clients** **469 077 409**

Le détail du poste « clients » est le suivant :

. HALLIBURTON	20 272 500
. STRATEX	353 403 367
. ORYX	95 401 542
	<u>469 077 409</u>

## 2.1.3 - Trésorerie Actif

**14 284 883**

Il s'agit du solde disponible au niveau de la banque et de l'encaisse physique.

. ECOBANK	11 753 413
. CAISSE	<u>2 531 470</u>
	14 284 883

## **2.2 - DÉTAIL DES COMPTES DU PASSIF**

### **2.2.1 - Capitaux propres 242 155 758**

La rubrique « capitaux propres », est constituée des soldes des comptes suivants :

. Capital Appelé Versé	250 000 000
. RAN	- 39 875 140
. Résultat de la Période	<u>32 030 898</u>
	242 155 758

### **2.2.2 – Dettes financières 15 690 272**

Il s'agit de la provision des indemnités pour pension légale de retraite dues au personnel permanent de la société à la clôture de l'exercice.

### **2.2.3 - Passif circulant 368 918 076**

Le passif circulant est composé des postes suivants :

. Fournisseurs d'exploitation	5 978 891
. Dettes fiscales	46 806 183
. Dettes sociales	16 755 085
. Autres dettes	<u>299 377 917</u>
	368 918 076

Le détail du poste « Fournisseurs » est le suivant : **5.978.891**

. SONATEL	443 400
. SENELEC	356 613
. ATS NICOLA FAYE	4 222 600
. APPRO SYSTEME/GTS	35 000
. DEEC	- 1 000 000
. CFAO Motors	- 366 112
. Divers fourniss.	390 000
. Fourn Fact non parvenues	<u>1 897 390</u>
	5 978 891

Le détail du poste « Dettes fiscales » est le suivant : **46.806.183**

. Imp et taxes recouvrables sur Ass	11 270 848
. BRS	9 839 267
. Etat-IR à la source	2 153 484
. TRIMF	94 500
. DETTES FISCALES ANTERIEURES	<u>23 448 084</u>
	46 806 183

Le détail du poste « Dettes sociales » est le suivant : **16.755.085**

. Rémunération dues	1 434 187
. Dettes provisionnées congés	7 400 427
. Sécurité Sociale	601 024
. IPM	736 318
. IPRES RG	5 081 176
. IPRES RC	<u>1 501 953</u>
	16 755 085

Le détail du poste « Autres dettes » est le suivant : **299.377.917**

. Compte courant O. Ndiaye	24 827 237
. Compte courant Benton	3 763 003
. SILVREX	265 277 693
. Crédoeurs sur cession véhicule	<u>5 509 984</u>
	299 377 917

#### **2.2.4 – Trésorerie passif**

Il s'agit du découvert figurant dans les livres de la BSIC et de la SGBS.

**59.565.877**

. SGBS	40 037 451
. BSIC	<u>19 528 426</u>
	59 565 877

## **2.3 - DÉTAIL DES COMPTES DE CHARGES**

Les soldes des principaux comptes de charges sont les suivants :

<b>ACHATS MATIERES &amp; FOURNITURES</b>		<b>25 648 499</b>
Produits d'entretien	743 805	
Autres achats	574 725	
Fournitures non stockables Electricité	4 691 838	
Fournitures non stockables Autres énergies	7 097 840	
Fournitures non stockables eau	198 790	
Fournitures de bureau non stockables	1 305 250	
Achats de petit matériel et outillage	4 547 483	
Achats d'études et prestations de service	5 768 768	
Achats de travaux, matériels et équipements	720 000	
<b>TRANSPORT</b>		<b>1 411 516</b>
Transports sur achats	41 840	
Transports de plis	208 000	
Transports administratifs	1 161 676	
<b>SERVICES EXTERIEURS</b>		<b>92 617 737</b>
Locations de matériels et outillages	50 000	
Locations et charges locatives diverses	5 165 262	
Entretien réparations des biens immobiliers	5 026 572	
Entretien et réparations des biens mobiliers	14 910 588	
Autres primes d'assurances	4 264 945	
Documentation générale	152 500	
Annonces, insertions	1 045 940	
Frais de téléphone	5 159 500	
Frais de télex	2 819 600	
Autres frais de télécommunications	2 187 324	
Autres frais bancaires	1 913 055	
Commissions et courtages sur ventes	930 000	
Frais de mission	13 460 000	
Honoraires	10 542 105	
Divers frais	22 569 443	
Réceptions	2 420 903	
<b>IMPOTS ET TAXES</b>		<b>662 710</b>
Droits de timbre	43 487	
Autres amendes pénales et fiscales	522 365	
Autres impôts et taxes	96 858	
Dons	950 000	



<b>CHARGES DE PERSONNEL</b>		<b>233 702 773</b>
Appointements, salaires et commissions	134 585 725	
Primes et gratifications	44 289 442	
Congés payés	6 359 817	
Indemnités de maladie versées aux travailleurs	8 400 000	
Autres rémunérations directes	7 099 240	
Charges sociales sur rémunération du personnel national	11 355 842	
Personnel intérimaire	21 612 707	
<b>CHARGES FINANCIERES</b>		<b>6 422 958</b>
Intérêts bancaires et sur opérations de trésorerie et d'escompte	6 422 958	
<b>DOTATION AUX AMORT ET PROV</b>		<b>33 975 290</b>
Dotat. aux Amortissements	30 251 035	
Dotat. aux Prov. d'exploitation pour risques et charges	3 724 255	
<b>TOTAL CHARGES</b>		<b>435 339 859</b>

<b>AUTRES CHARGES</b>		<b>40 898 376</b>
Pertes sur clients	9	
Jetons de présence et autres rémunérations d'administrateurs	35 448 367	
Appui institutionnel	4 500 000	

## **2.4 - DÉTAIL DES COMPTES DE PRODUITS**

Les produits de l'exercice sont essentiellement constitués des honoraires facturés au cours de l'exercice.

- Services vendus	134 098 275
- Prime d'assurance reçue	3 582 912
- Produits divers	<u>329 689 570</u>
	467 370 757

# ANNEXE

Désignation de l'entreprise : ENERGY & MINING CORPORATION

Adresse de l'entreprise : SACRE CŒUR III VILLA 9231

Numéro d'identification: 27044602R3

**DETERMINATION DU RESULTAT FISCAL**

**AU TITRE DE L'EXERCICE 2015**

**RESULTAT COMPTABLE :** 32 030 898

**REINTEGRATIONS :** 16 056 446

Provision indemnités congés 2015	6 359 817
Provision indemnités retraite 2015	3 724 255
Pénalités	522 374
Dons	5 450 000

**DEDUCTIONS :** 48 087 344

Provision indemnités congés 2014	11 966 017
Provision indemnités retraite 2014	1 040 610
Reliquat amort réputés différés 2009	16 144 814
Amortissements réputés différés 2011	18 935 903

**RESULTAT FISCAL :** 0

**Pour mémoire :**

Amortissements réputés différés 2012 25 096 511

Reliquat amortissements réputés différés 2011 6 236 248

(25 172 151 - 18 935 903)



**Budget 2016**

COMPTES	POSTES BUDGETAIRES	Budget 2015	Réalisé		Budget 2016
			FCFA	%	
<b>1/Charges d'Exploitation</b>					
605 200	Electricité	3 500 000	4 691 838	134	3 500 000
605 300	Carburant	5 000 000	7 296 630	146	5 000 000
605 400	Entretien Généraux des locaux	1 500 000	1 155 799	77	1 000 000
605 500	Consommables informatiques	2 000 000	1 318 530	66	1 500 000
605 501	Fournitures de Bureau	2 000 000	1 305 250	65	1 500 000
605 600	Matériels Outillages & Rep	1 500 000	4 547 483	303	1 000 000
605 800	Travaux & Aménagements	1 500 000	5 768 768	385	1 000 000
618 100	Voyage & Déplacements	25 000 000	22 487 943	90	18 000 000
622 200	Loyers (Bureaux, véhicules etc.)	12 000 000	20 125 850	168	10 000 000
624 200	Entretien Véhicules	6 000 000	3 870 773	65	3 000 000
625 200	Assurance véhicules	6 000 000	4 264 945	71	4 000 000
625 800	Assurances Maladies & Autres	7 000 000	1 800 000	26	1 500 000
628 100	Téléphones	9 000 000	10 166 524	113	6 000 000
634 800	Honoraires	12 000 000	10 735 000	89	8 000 000
637 100	Indemnités diverses	40 000 000	23 225 417	58	20 000 000
638 301	Restauration & Réceptions	2 500 000	2 420 903	97	1 500 000
638 400	Frais de Missions	20 000 000	13 460 000	67	10 000 000
666 000	Salaires & Rémunérations	90 000 000	149 387 006	166	65 000 000
666 100	Cotisation sociales	8 000 000	19 682 210	246	10 000 000
670 000	Frais financiers	3 000 000	9 266 013	309	2 000 000
658 000	Dotation Appui Institutionnel	5 000 000	4 500 000	90	4 500 000
645 000	Impôts & Taxes Directe	85 000 000	83 611 942	98	27 500 000
681 000	Dotation aux Amortissements	35 000 000	30 251 035	86	30 000 000
<b>TOTAL DES CHARGES D'EXPLOITATION</b>		<b>382 500 000</b>	<b>435 339 859</b>		<b>235 500 000</b>
<b>2/ Equipements &amp; Mobiliers</b>					
244 100	Matériel de Bureau	2 000 000	-		1 000 000
244 200	Mobilier de Bureau	1 500 000	-		1 000 000
244 400	Matériel Informatiques	1 500 000	-		1 000 000
245 000	Matériel de Transport	-	-		-
<b>TOTAL EQUIPEMENTS &amp; Mobiliers</b>		<b>5 000 000</b>	<b>-</b>		<b>3 000 000</b>
<b>SOUS TOTAL/ 1</b>		<b>387 500 000</b>	<b>435 339 859</b>		<b>238 500 000</b>
<b>5/ Recettes</b>					
461 200	Apports Associés	42 188 535	11 092 981		11 092 981
706 200	Partenaire Stratex				
	Base Contrat de Service (STRATEX)	300 000 000	353 403 367		180 000 000
	Prestation Diverses	80 000 000	95 401 542		100 000 000
<b>SOUS TOTAL/ 2</b>		<b>422 188 535</b>	<b>459 897 890</b>		<b>291 092 981</b>
<b>TOTAL GENERAL (2 - 1) (E.T.E)</b>		<b>34 688 535</b>	<b>24 558 031</b>		<b>52 592 981</b>

## ❖ Commentaires sur le budget 2016

### ➤ Généralités sur le budget 2016

- L'objectif visé par le budget de l'année 2016 est de réduire les charges de façon significative compte tenue de la baisse envisagée des activités de recherche sur le permis **DALAFIN**.

En effet l'environnement économique international difficile pour le secteur minier, marqué par la crise financière, n'autorise pas d'espérer des prévisions d'investissements importants venant du partenaire technique et Financier Stratex West Africa.

- Par ailleurs nous comptons développer le secteur des services et de la représentation pour ainsi diversifier nos activités et nos ressources.
  - **Le montant des recettes prévisionnelles est FCFA 291.092.981 et se décompose par :**
    - ✓ Le solde des apports associés pour un montant de **FCFA 11.092.981**
    - ✓ Les encaissements prévus sur les prestations de service fournis à STRATEX dans le cadre des opérations du permis **DALAFIN** pour un montant de **FCFA 180.000.000**, Ce ralentissement des opérations de recherche sur le permis **DALAFIN** est consécutif à l'environnement économique difficile pour le secteur Minier
    - ✓ Les prestations diverses attendues pourraient atteindre le montant de **FCFA 100.000.000** et nous espérons bien les réaliser avec les activités de représentation et de services.
  - **Le montant des charges prévisionnelles est de FCFA 238.500.000 (Deux Cent Trente Huit Millions Cinq Cent Mille Francs)**
    - ✓ Les charges d'exploitation prévues s'élèvent à **FCFA 235.500.000**
    - ✓ Les Equipements et Mobiliers s'élèvent à **FCFA 3.000.000**.